

# ۴

## مکان ریشه

### اهداف فصل:

- ۱- آشنایی با ایده مکان ریشه.
- ۲- شرایط دامنه و زاویه: دو خاصیت اساسی مکان ریشه.
- ۳- ارایه قواعد ترسیم مکان ریشه برای رسم دقیق تر و سریعتر مکان ریشه.
- ۴- آشنایی با مسیرهای ریشه و رسم آن.

## ۱-۴ مقدمه

همانطور که در فصل سوم نشان داده شد، مشخصه اصلی رفتار حالت - گذراي یک سیستم حلقه - بسته به موقعیت قطبهای حلقه - بسته آن بستگی دارد. اگر سیستم یک بهره متغیر و قابل تنظیم داشته باشد، موقعیت قطبهای حلقه - بسته با تغییر و تنظیم این بهره؛ تغییر خواهد کرد. بنابراین، طراح سیستم کنترل باید از روند تغییرات قطبهای حلقه - بسته با تغییر بهره آن اطلاع داشته باشد. برای پیدا نمودن این روند و یا تعیین قطبهای حلقه - بسته می توان، معادله مشخصه سیستم حلقه - لیکن حل معادله مشخصه برای سیستم های مرتبه سوم و بالاتر، مشکل و نیازمند بکارگیری نرم افزارهای مناسب است. علاوه بر آن، با تغییر بهره باید تمامی محاسبات انجام شده را برای تعیین قطبهای حلقه - بسته دوباره انجام داد.

از نقطه نظر طراحی نیز ممکن است با تغییر بهره سیستم به مشخصه های مطلوب عملکرد رسید، در اینصورت طراحی تنها تغییر بهره به گونه ای است که محل قطبها در مکانهای مطلوب از قبل تعیین شده باشد. اگر با این تغییر بهره نتوانیم به مشخصه های مطلوب عملکرد سیستم حلقه - بسته دست پیدا کنیم، باید از روشهای جبران سازی که در فصل ششم ارایه می شوند، استفاده کنیم.

یک روش بسیار ساده ترسیمی برای تعیین محل ریشه های معادله مشخصه به ازاء تغییرات بهره، توسط و. ر. ایوانز<sup>۱</sup> ارایه شده است. این روش که مکان ریشه<sup>۲</sup> نامیده می شود، به طور وسیعی در مهندسی کنترل کاربرد پیدا کرده است. در این روش، مکان ریشه معادله مشخصه برای کلیه مقادیر یک پارامتر سیستم رسم می شوند. ریشه های متناظر با یک مقدار خاص از این پارامتر را می توان بر روی نمودار حاصله تعیین کرد، در عمل این پارامتر غالباً بهره حلقه - باز سیستم است، لیکن هر پارامتر دیگری از سیستم نیز می تواند باشد. به طور خلاصه می توان گفت که مکان ریشه، نموداری از ریشه های معادله مشخصه یک سیستم حلقه - بسته به صورت تابعی از بهره سیستم حلقه - باز است.

معادله مشخصه یک سیستم حلقه - بسته با عنصر غیر واحد  $(s)H$  در مسیر فیدبک و تابع تبدیل حلقه - باز  $G(s)$ ، معادله  $= 0 + G(s)H(s) = 0$  است. ایده اصلی روش مکان ریشه آن

است که مقادیری از  $\omega_n$  که ریشه معادله مشخصه می‌باشند، این معادله را برأوردہ می‌سازند. در واقع، قطب‌های سیستم حلقه - بسته (مشخص کننده‌های پاسخ حالت - گذرا)، با صفرها و قطب‌های  $G(s)H(s)$  و بهره حلقه - باز ارتباط مستقیم دارند.

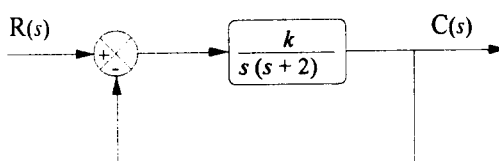
## ۲-۴ رسم ریشه‌های معادله مشخصه

برای درک بهتر روش مکان ریشه، سیستم کنترل حلقه - بسته نشان داده شده در شکل ۱-۴ را در نظر بگیرید. تابع تبدیل سیستم حلقه - بسته عبارتست از

$$\frac{C(s)}{R(s)} = \frac{G(s)}{1+G(s)} \quad (1-2-4)$$

$$= \frac{k}{s^2 + 2s + k} = \frac{\omega_n^2}{s^2 + 2\xi\omega_n s + \omega_n^2}$$

که در آن  $\omega_n = \sqrt{k}$  و  $\xi = 1/\sqrt{k}$ ، نیز بهره ثابت سیستم حلقه - باز است که از ۰ تا  $\infty$  تغییر می‌کند.



شکل ۱-۴ یک سیستم کنترل حلقه - بسته

$$\text{ریشه‌های معادله مشخصه سیستم حلقه - بسته عبارتند از} \\ s_{1,2} = -1 \pm \sqrt{1-k} \quad (2-2-4)$$

با بکارگیری معادله (۲-۲-۴) می‌توان ریشه‌های حلقه - بسته را به ازاء کلیه تغییرات پارامتر بهره  $k$  تعیین کرد. برای  $k < 1$ ، ریشه‌ها عبارتند از  $s_1 = -2$  و  $s_2 = -2$  که همان قطب‌های حلقه - باز سیستم هستند. برای  $k = 1$ ، ریشه‌های سیستم حلقه - بسته هر دو در  $-1$  خواهند بود. بنابراین برای  $k > 1$ ، ریشه‌ها حقیقی و بر روی محور حقیقی منفی به ترتیب بین  $-2$  و  $-1$  و  $0$  تا  $1$  قرار دارند. برای بهره‌های بزرگتر از  $1$ ،  $k > 1$ ، ریشه‌ها مختلط هستند و عبارتند از

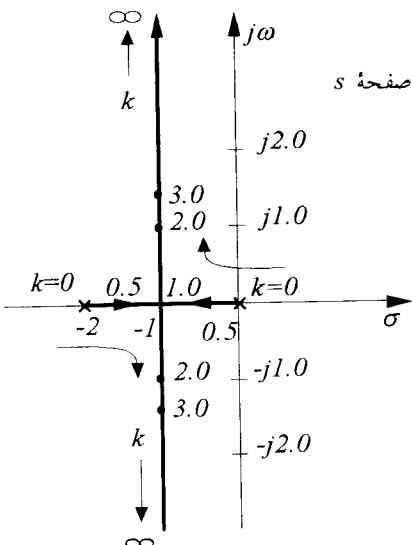
$$s_{1,2} = \sigma \pm j\omega_d = -\xi\omega_n \pm j\omega_n \sqrt{1-\xi^2} = -1 \pm j\sqrt{k-1} \quad (3-2-4)$$

اگر ریشه‌های معادله مشخصه  $0 = +2s + k$  برای مقادیر مختلفی از  $k$  بدست آورده شود، می‌توان آنها را بر حسب  $k$  رسم نمود. جدول ۴-۱، ریشه‌های حلقه - بسته را برای مقادیر مختلفی از بهره حلقه - باز  $k$  نشان می‌دهد. در شکل ۲-۴ نیز این ریشه‌ها بر حسب  $k$  رسم شده‌اند. با رسم یک منحنی بین نقاط تعیین شده، دو شاخه بدست می‌آید که تمامی ریشه‌های معادله مشخصه را به ازاء تغییرات  $k$  بین  $0$  تا  $\infty$  دربرمی‌گیرد. به این منحنیهای بدست آمده نمودار مکان ریشه معادله (۴-۱) می‌گویند. با بدست آوردن این نمودار می‌توان (در صورت امکان) ریشه‌های مطلوب معادله مشخصه را بر روی آن تعیین کرد و بهره‌ای که این ریشه‌ها را بدست می‌دهد محاسبه نمود. با تعیین ریشه‌های مطلوب، پاسخ حالت - گذرا را نیز می‌توان پیش‌بینی کرد. در این مثال ساده که ایده مکان ریشه را بخوبی نمایش می‌دهد، پیدا کردن و رسم ریشه‌های معادله مشخصه به ازاء تغییرات  $k$  بسادگی امکان‌پذیر است. توجه کنید که برای سیستم‌های مرتبه بالاتر تشکیل جدولی مانند ۱-۴ و نموداری مانند شکل ۲-۴، در عمل بسیار مشکل است. لذا در این فصل روش‌های ترسیمی را ارایه خواهیم نمود که کار رسم نمودار مکان ریشه را بسیار ساده می‌کنند. از نرم‌افزارهای موجود کترلی مانند Matlab و CC نیز می‌توان برای رسم دقیق این نمودارها کمک جست.

در این کتاب و در اکثر کاربردهای عملی، مقدار بهره  $k$  مثبت فرض شده است. البته  $k$  می‌تواند مقادیر منفی نیز اختیار کند که در آن صورت معادله (۴-۲-۴) تنها مقادیر حقیقی خواهد داشت. توجه کنید که با انتخاب هر  $k$  منفی، سیستم حلقه - بسته یک ریشه مثبت (ناپایدار) خواهد داشت.

$k$	$s_1$	$s_2$
$0$	$0$	$-2/0$
$0/5$	$-0/293$	$-1/707$
$0/75$	$-0/5$	$-1/5$
$1/0$	$-1/0$	$-1/0$
$2/0$	$-1/0+j1/0$	$-1/0-j1/0$
$3/0$	$-1/0+j1/414$	$-1/0-j1/414$
$5/0$	$-1/0+j7/0$	$-1/0-j7/0$

جدول ۴-۱ ریشه‌های معادله مشخصه  $0 = +2s + k$  برای مقادیر مختلف  $k$



شکل ۴-۴ نمودار کلیه ریشه‌های معادله مشخصه  $= 0$  برای  $k < \infty$ ، مقادیر  $k$  مشخص شده‌اند.

با بدست آوردن مکان ریشه، می‌توان تغییر در عملکرد سیستم را نسبت به تغییر در بهره  $k$  تعیین کرد. برای روشنتر کردن این مطلب به سیستم در نظر گرفته شده در شکل ۱-۴ توجه کنید. همانطور که از معادله (۳-۲-۴) مشخص است، تابع تبدیل حلقه - بسته سیستم برای  $k > 1$  عبارتست از

$$\frac{C(s)}{R(s)} = \frac{k}{(s-\sigma-j\omega_d)(s-\sigma+j\omega_d)} \quad (4-2-4)$$

- با توجه به تعاریف بخش ۴-۳، شکل ۴-۳ نسبت میرایی چند قطب را نشان می‌دهد. با تحلیل مکان ریشه می‌توان نتایج زیر را برای این سیستم به ازاء افزایش بهره آن استنتاج نمود:
۱. افزایش بهره موجب کاهش نسبت میرایی  $\frac{C(s)}{R(s)}$  و در نتیجه افزایش فراجهش پاسخ است.
  ۲. افزایش بهره موجب افزایش فرکانس طبیعی میرانشده  $w$  می‌شود.
  ۳. افزایش بهره موجب افزایش فرکانس طبیعی میراشده  $w$  می‌شود.
  ۴. افزایش بهره تأثیری بر نرخ صفر شدن پاسخ ( $\sigma$ ) نخواهد داشت. (توجه کنید که این مطلب برای سیستم‌های مرتبه بالاتر صادق نیست).

۵. سیستم به ازاء کلیه مقادیر بهره از  $\omega = \infty$  همواره پایدار است.

### ۳-۴ خواص اساسی مکان ریشه

تابع تبدیل حلقه - باز یک سیستم با قطبها  $-p_1, \dots, -p_n$  و صفرهای  $-z_1, \dots, -z_m$  عبارتست

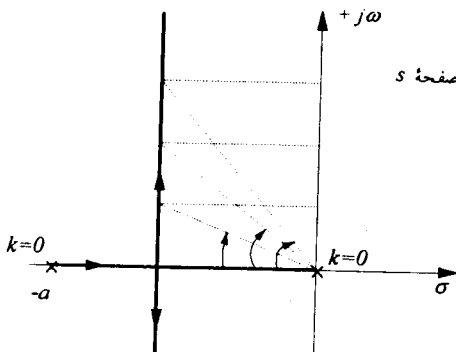
از

$$G(s) = \frac{k(s+z_1)(s+z_2)\dots(s+z_m)}{(s+p_1)(s+p_2)\dots(s+p_n)} \quad (1-3-4)$$

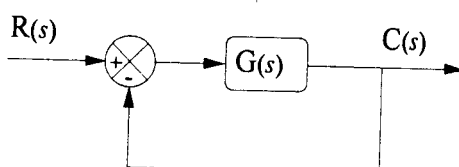
سیستم حلقه - بسته نشان داده شده در شکل ۴-۴ را در نظر بگیرید. بهره  $k$  قابل تنظیم است، قطبها و صفرهای سیستم حلقه - بسته به مقدار  $k$  و همچنین قطبها و صفرهای  $G(s)$  در معادله (۱-۳-۴) بستگی دارد. تابع تبدیل سیستم حلقه - بسته عبارتست از

$$\frac{C(s)}{R(s)} = \frac{G(s)}{1+G(s)} = \frac{A(s)}{B(s)} \quad (2-3-4)$$

که در آن  $A(s)$  و  $B(s)$  به ترتیب چند جمله‌ای صفر و قطب سیستم حلقه - بسته هستند. این چند جمله‌ایها، صفرها و قطبها سیستم را بدست می‌دهند. ریشه‌های چند جمله‌ای قطب،



شکل ۳-۴ مشخصه‌های یک سیستم کنترل مرتبه دوم از نمودار مکان ریشه.



شکل ۴-۴ سیستم فیدبک واحد

در معادله

$$B(s) = 1 + G(s) = 0 \quad (3-3-4)$$

صدق می‌کنند و به ازاء مقادیر  $\omega$  که معادله (۳-۳-۴) را برآورده می‌سازند، داریم

$$G(s) = -1 \quad (4-3-4)$$

مقادیر  $\omega$  که معادله (۴-۳-۴) را برآورده می‌سازند، مکان ریشه سیستم حلقه - بسته هستند. توجه کنید که این معادله به ازاء تمام مقادیر بپره صادق است.

شرط دامنه: از معادله (۴-۳-۴) داریم

$$|G(s)| = 1 \quad (5-3-4)$$

به معادله (۵-۳-۴)، شرط دامنه<sup>۱</sup> گفته می‌شود. اگر تابع تبدیل  $G(s)$  را به صورت زیر بنویسیم

$$G(s) = k G'(s) \quad (6-3-4)$$

که در آن تابع تبدیل  $G'(s)$ ، بپره متغیر  $k$  را شامل نمی‌شود، آنگاه از معادله (۴-۳-۴) داریم

$$G'(s) = -\frac{1}{k} \quad (7-3-4)$$

و یا

$$|G'(s)| = \frac{1}{|k|} \quad -\infty < k < \infty \quad (8-3-4)$$

معادله (۸-۳-۴) صورت دیگری از شرط دامنه است. همچنین از معادله (۱-۳-۴)، شرط دامنه می‌دهد

$$\frac{\prod_{i=1}^m |s+z_i|}{\prod_{j=1}^n |s+p_j|} = \frac{1}{|k|} \quad -\infty < k < \infty \quad (9-3-4)$$

شرط زاویه: با توجه به ماهیت مختلط  $G(s)$ ، معادله (۴-۳-۴) برای  $\omega \geq 0$  می‌دهد

$$\angle G(s) = \pm 180^\circ (2k+1) \quad (10-3-4)$$

که در آن  $k = 0, 1, 2, \dots$  و برای  $\omega > 0$ ، داریم

$$\angle G(s) = \pm 36^\circ k \quad (11-3-4)$$

که در آن  $k=0, 1, 2, \dots$ . همچنین از معادله (۴-۳-۱)، داریم

$$\angle G(s) = \sum_{i=1}^m \angle(s+z_i) - \sum_{j=1}^n \angle(s+p_j)$$

$$= \begin{cases} \pm(2k+1)\pi & k \geq 0 \\ \pm 2k\pi & k < 0 \end{cases} \quad (12-3-4)$$

بنابراین برای هر نقطه‌ای در صفحه  $\Delta$  که بر روی مکان ریشه یک سیستم قرار دارد، مجموع زوایا از صفرها به آن نقطه منتهای مجموع زوایا از قطبها به آن نقطه، باید معادله (۱۲-۳-۴) را برآورده سازد که شرط زاویه  $^1$  نامیده می‌شود.

در عمل شرایط بدست آمده در معادله‌های (۵-۳-۴) یا (۸-۳-۴) یا (۹-۳-۴)، (۱۰-۳-۴) و یا (۱۱-۳-۴) یا (۱۲-۳-۴)، هر کدام نقش خاصی را در ترسیم کامل مکان ریشه ایفاء می‌کنند. شرط زاویه را برای تعیین مکان ریشه در صفحه  $\Delta$  بکار خواهیم بست. شرط دامنه را پس از رسم مکان ریشه، برای تعیین مقادیر بهره  $k$ ، استفاده خواهیم نمود. ترسیم مکان ریشه یک مسئله ترسیمی است که با بکارگیری قواعد ترسیم بدست آمده از شرایط زاویه، حل خواهد شد. اساس و شروع این ساختار ترسیمی نیز از قطبها و صفرهای حلقه - باز سیستم است که از معادله (۱-۳-۴) بدست آمده‌اند.

#### مثال ۱-۳-۴

تابع تبدیل حلقه - باز سیستمی عبارتست از

$$G(s) = \frac{k(s+5)}{s(s+1)(s+\lambda)}$$

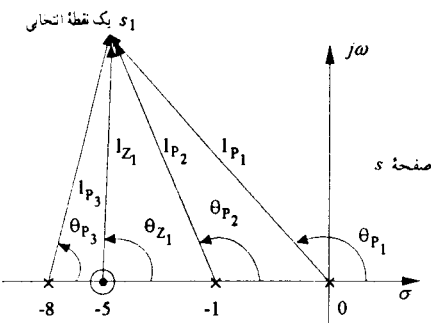
توجه کنید که تابع تبدیل داده شده ممکن است به صورت نوشته شده در معادله (۱-۳-۴) نباشد. در این حالت نخست باید آن را به صورت داده شده با معادله (۱-۳-۴) تبدیل کنیم. به عنوان مثال، ممکن است تابع تبدیل بالا به صورت زیر باشد

$$G(s) = -\frac{k(1+0/2s)}{s(1+s)(1+0/125s)}$$

که باید آن را به صورت معادله (۴-۳-۱) تبدیل کرد. قطبها و صفرهای این تابع تبدیل به ترتیب با علامتهای  $\times$  و  $\odot$  در شکل ۵-۴ در صفحه  $\sigma$  نشان داده شده‌اند. اگر یک نقطه مانند  $s_1$  را در صفحه  $\sigma$  انتخاب کنیم، برای اینکه این نقطه بر روی مکان ریشه این سیستم قرار گیرد، باید در دو شرط زاویه و دامنه صدق کند. اگر همانطور که در شکل ۵-۴ نشان داده شده است، زوایای قطبها به نقطه انتخابی و صفرها به این نقطه را به ترتیب با  $\theta_{p_1}, \theta_{p_2}, \theta_{p_3}$  و  $\theta_{z_1}$  نشان دهیم (توجه کنید که براساس قرارداد، زوایا در جهت خلاف عقریه ساعت، مثبت در نظر گرفته می‌شوند) و فاصله این نقطه از قطبها و صفرها را به ترتیب با  $|l_{p_1}|, |l_{p_2}|, |l_{p_3}|$  و  $|l_{z_1}|$  نشان دهیم، از شرایط زاویه داریم

$$\theta_{z_1} - \theta_{p_1} - \theta_{p_2} - \theta_{p_3} = \begin{cases} \pm(1+2k)\pi & k \geq 0 \\ \pm 2k\pi & k < 0 \end{cases}$$

که در آن  $k=0, 1, 2, \dots$ . این شرط باید توسط کلیه نقاط صفحه  $\sigma$  که بر مکان ریشه قرار گرفته‌اند، برآورده گردد. با این شرط می‌توان این نقاط را تعیین کرد. همچنین اگر نقطه‌ای این شرط را برآورده سازد، بر روی مکان ریشه قرار خواهد داشت و از شرط دامنه، می‌توان مقدار بهره  $k$  در آن نقطه را تعیین نمود. برای شرط دامنه داریم



شکل ۵-۴ تشکیلات قطب - صفر برای تابع تبدیل مثال ۴-۳-۱.

$$|k| = \frac{|s_1| |s_1 + 1| |s_1 + 8|}{|s_1 + 5|} = \frac{l_p l_{p_1} l_{p_2} l_{p_3}}{l_{z_1}}$$

همانطور که از مثال ۴-۳-۱ مشاهده می‌شود، مراحل اصلی ترسیم کامل مکان ریشه عبارتند از:

۱. تعیین کلیه نقاطی در صفحه  $\sigma$  که شرط زاویه را برآورده می‌سازند.
۲. تعیین مقادیر  $k$  در نقاط مختلف بر روی مکان ریشه با استفاده از شرط دامنه.

بديهی است که روش سعی و خطأ در تعیین نقاطی در صفحه که شرط زاویه را برآورده می‌سازند، برای يک سیستم ساده کاری دشوار و برای سیستم‌های مرتبه بالاتر عملًا غیرممکن می‌شود. پیشنهاد دهنده روش مکان ریشه (ایوانز)، برای ترسیم مکان ریشه وسیله‌ای به نام اسپاپرول<sup>۱</sup> را طراحی کرده است که توسط آن جمع و تغیریق کردن زوایای بودارها را تا حدی سریعتر انجام می‌داد. اگر چه این وسیله به ترسیم مکان ریشه سرعت بخشد، لیکن با وجود آن نیز ترسیم کامل مکان ریشه کاری وقت‌گیر و طولانی است. به این دلیل دسته‌ای از قواعد با استفاده از شرایط زاویه و دامنه ارایه گردیده‌اند که با بکارگیری آنها رسم مکان ریشه بسیار سر راست و ساده است. امروزه با بکارگیری کامپیوترهای دیجیتال و نوشت‌ترمافزارهای مناسب براساس این قواعد، می‌توان با سرعت زیادی مکان ریشه سیستم‌های بسیار پیچیده را سریعاً بدست آورده و طرح‌های مختلفی را براساس روش مکان ریشه بسادگی انجام داد.

#### ۴-۴ قواعد ترسیم مکان ریشه

در این بخش قواعدی را ارایه خواهیم کرد که با بکارگیری آنها می‌توان، مکان ریشه سیستم را به طور کامل ترسیم نمود. این قواعد براساس رابطه بین قطبها و صفرهای (۳) G و صفرهای معادله مشخصه (قطبهای سیستم حلقه - بسته) (s+۱)G- است، بنا نهاده شده‌اند.

**قاعده ۱: تعداد شاخه‌های مکان ریشه**

یک شاخه<sup>۲</sup> مکان ریشه، مکان یک ریشه به ازاء تغییرات  $n$  بین  $-\infty$  و  $\infty$  است. درجه معادله مشخصه داده شده با معادله (۳-۴) برابر  $n$  است و ندا  $n$  ریشه دارد. بنابراین تعداد شاخه‌های مکان ریشه یک سیستم برابر با درجه چند جمله‌ای مشخصه آن (تعداد قطبها حلقه - باز) سیستم است.

##### مثال ۱-۴-۴

تعداد شاخه‌های مکان ریشه معادله مشخصه داده شده در زیر

$$s(s+1)(s+3)(s+4)+k(s+1)(s+3)=0$$

چهار است، زیرا معادله درجه چهارم است. معادله چهار ریشه دارد و لذا چهار شاخه مکان ریشه وجود خواهد داشت.

قاعده ۲: مکان ریشه بر روی محور حقیقی

به مکان قطبها و صفرها در شکل ۶-۴ توجه کنید. یک نقطه انتخابی مانند  $s_1$  را بر روی

محور حقیقی در نظر بگیرید. نکات زیر از شکل ۶-۴ بسادگی مشاهده می‌شوند:

(الف). جمع زوایای بدست آمده از قطبها و یا صفرهای مختلط برابر  $360^\circ$  است. به

عبارت دیگر

$$\theta_{p_5} + \theta_{p_4} = 360^\circ$$

و لذا قطبها و یا صفرهای مختلط  $G(s)$  بر توزیع مکان ریشه بر روی محور حقیقی تأثیر نخواهد گذاشت.

(ب). تنها آن دسته از قطبها و یا صفرهای حقیقی  $G(s)$  که در سمت راست قرار

دارند، به مجموع زوایا سهمی خواهند افزود و در واقع سهم زاویه قطبها

و یا صفرهای حقیقی که در سمت جب  $\sigma$  قرار دارند، برابر صفر است. به عبارت

دیگر

$$\theta_{p_5} = \theta_{z_1} = \theta_{p_4} = \theta_{p_3} = \theta_{z_2} = 0, \quad \theta_{p_0} = 180^\circ$$

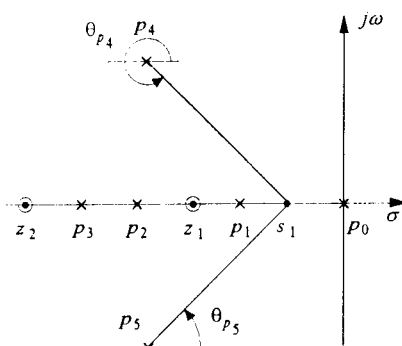
و لذا با جایگزینی در معادله (۱۲-۳-۴) داریم

$$180^\circ + 0 + 360^\circ = 3 \times 180^\circ$$

که نشان می‌دهد،  $\sigma$  بر روی مکان ریشه قرار دارد.

در حالت کلی می‌توان نتیجه گرفت که اگر تعداد قطبها و صفرهای حقیقی در سمت راست

نقطه انتخابی فرد باشند، آن نقطه بر روی مکان ریشه قرار دارد و در غیر اینصورت جزئی نز



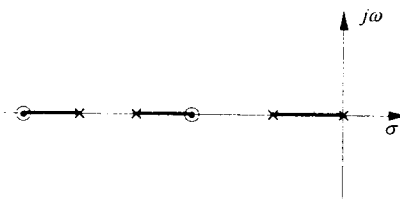
شکل ۶-۴ زوایای قطبها و صفرها به نقطه انتخابی  $\sigma$

مکان ریشه نمی‌باشد. مکان ریشه برای قطبها و صفرهای شکل ۴-۶ بر روی محور حقیقی، در شکل ۷-۴ نشان داده شده است.

قاعده ۳: نقاط شروع و پایانی مکان ریشه از معادله (۴-۳-۸) داریم

$$|G'(s)| = \frac{1}{|k|}$$

با به سمت صفر میل دادن بهره  $k$ ،  $|G'(s)|$  به سمت بینهایت میل خواهد کرد و لذا  $s$  به سمت قطبها (یا  $G(s)$ ) میل می‌کند. بنابراین  $k=0$ ، یا شروع مکان ریشه، قطبها (یا  $G(s)$ ) است. همچنین با به سمت بینهایت میل دادن بهره  $k$ ،  $|G'(s)|$  به سمت صفر میل خواهد کرد و لذا  $s$  به سمت صفرهای (یا  $G(s)$ ) میل می‌کند. بنابراین  $k=\pm\infty$ ، یا نقاط پایانی مکان ریشه، صفرهای (یا  $G(s)$ ) است.



شکل ۷-۴ مکان ریشه بر روی محور حقیقی.

#### مثال ۴-۴

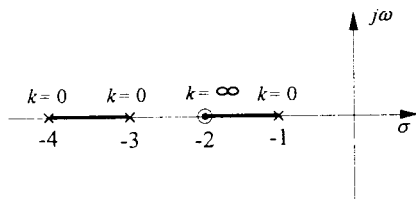
تابع تبدیل زیر را در نظر بگیرید:

$$G(s) = \frac{k(s+2)}{(s+1)(s+3)(s+4)}$$

معادله مشخصه سیستم حلقه - بسته عبارتست از  $(s+1)(s+3)(s+4)+k(s+2)=0$ .

برای  $k=0$ ، ریشه‌های معادله عبارتند از  $s=-1$ ،  $s=-3$  و  $s=-4$ . این سه ریشه، قطبها سیستم حلقه - باز می‌باشند. همچنین برای  $\infty$ ، معادله مشخصه حلقه - بسته را می‌توان با  $k(s+2)$  تقریب زد. ریشه این معادله  $s=-2$  است که صفر تابع تبدیل حلقه - باز است. باید توجه داشت که برای سیستمی با تابع تبدیل گویا، تعداد قطبها و صفرهای آن با در نظر گرفتن

قطبهای و صفرها در بین نهایت برابر هستند. بنابراین مکان ریشه این سیستم به ازاء  $k = \infty$ ، به نقاط  $-2$ ،  $\infty$  و  $\infty$  ختم خواهد شد. شکل ۸-۴ نکات شروع و یکی از نقاط پایانی مکان ریشه این سیستم را نشان می‌دهد.



شکل ۸-۴ نقاط متناظر با  $k = 0$  و  $k = \infty$  مکان ریشه سیستم مثال ۸-۴-۴.

قاعده ۴: مجانبهای مکان ریشه برای  $s \rightarrow \infty$

ترسیم مکان ریشه با مشخص نمودن رفتار مکان ریشه به ازاء  $s \rightarrow \infty$  یا به عبارت دیگر مشخص نمودن مجانبها<sup>۱</sup> که توسط شاخه‌های مختلف برای  $s \rightarrow \infty$  دنبال می‌شوند، بسیار ساده‌تر می‌شود. داریم

$$\lim_{s \rightarrow \infty} G(s) = \lim_{s \rightarrow \infty} \frac{k(s+z_1)(s+z_m)}{(s+p_1)(s+p_2)\dots(s+p_n)}$$

$$= \frac{k}{s^{n-m}} = +\infty \quad (1-4-4)$$

از معادله (۱-۴-۴) در حد  $s \rightarrow \infty$  بدست می‌آوریم

$$-k = s^{n-m} \quad (2-4-4)$$

از آنجاییکه شرایط زاویه و دامنه باید برای  $s \rightarrow \infty$  نیز برآورده گردند، داریم

$$|k| = |s^{n-m}| \quad (3-4-4)$$

$$\angle -k = \angle s^{n-m} = (1+2k)180^\circ \quad (4-4-4)$$

از معادله (۴-۴-۴) داریم

$$(n-m)\angle s = (1+2k)180^\circ \quad (5-4-4)$$

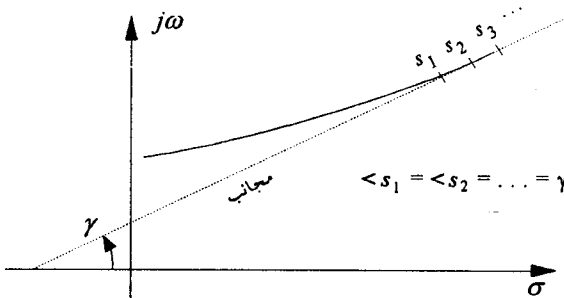
و لذا معادله (۵-۴-۴) می دهد که برای  $\omega \rightarrow \infty$ ، زاویه شاخه عبارتست از

$$\angle s = \frac{(1+2k)180^\circ}{n-m} \quad (6-4-4)$$

بنابراین در حالت کلی تعداد  $n-m$  مجانب در مکان ریشه وجود دارد که زوایای آنها با محور حقیقی از معادله زیر بدست می آیند:

$$\gamma = \frac{(1+2k)180^\circ}{[G(s)] - [G(s)]_{\text{نعداد فضبهای محدود}}} \quad (k=0, 1, 2, \dots) \quad (7-4-4)$$

با استفاده از معادله (۷-۴-۴)، همانطور که در شکل ۹-۴ مشاهده می شود، تمامی مقادیر  $\gamma$  در حد  $\omega \rightarrow \infty$  بر روی مکان ریشه زوایای یکسان خواهند داشت.



شکل ۹-۴ شرط مجانبی برای مقادیر بزرگ  $\omega$

قاعده ۵: نقطه تلاقی مجانبها با محور حقیقی  
محال تلاقی مجانبها مکان ریشه، بر روی محور حقیقی قرار دارد و نقطه تلاقی آنها از رابطه زیر بدست می آید:

$$\sigma_0 = \frac{\sum [G(s)]_{\text{قطبهای محدود}} - \sum [G(s)]_{\text{صفرهای محدود}}}{n-m} \quad (8-4-4)$$

از آنجائیکه قطبها و صفرهای  $G(s)$  حقیقی یا مختلط مزدوج هستند، قسمتهای موهومی در معادله (۸-۴-۴) همواره یکدیگرند را حذف خواهند کرد. لذا عبارات معادله (۸-۴-۴) را می توان با قسمتهای حقیقی قطبها محدود  $G(s)$  و قسمتهای حقیقی صفرهای محدود  $G(s)$  جایگزین کرد.

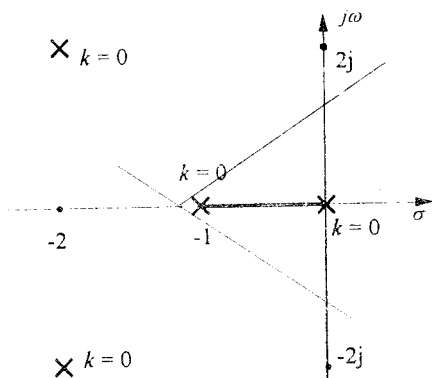
## مثال ۳-۴-۴

تابع تبدیل زیر را در نظر بگیرید

$$G(s) = \frac{k}{s(s+1)(s^2 + 4s + 8)} \quad (k > 0)$$

معادله مشخصه سیستم حلقه - بسته عبارتست از  
 $s(s+1)(s^2 + 4s + 8) + k = 0$

تشکیلات قطب - صفر ( $G(s)$ ) در شکل ۳-۴-۴ نشان داده شده است. از پنج قاعده بالا می‌توان اطلاعات زیر را در رابطه با مکان ریشه سیستم بدست آوردن:



شکل ۳-۴-۴ اطلاعات مکان ریشه برای مثال ۳-۴-۴

۱. تعداد شاخه‌های مکان ریشه برابر با  $n=4$  است.
۲. نقاط شروع مکان ریشه از قطبهای حلقه باز، متناظر با  $k=0$  و نقاط پایانی متناظر با  $k=\infty$  در چهار صفر در جی نهایت قرار دارند (این تابع تبدیل صفر محدود ندارد).
۳. تنها گستره بین  $0^\circ$  و  $180^\circ$  محور حقیقی جزء مکان ریشه است. توجه کنید که تعداد قطبها در سمت راست این گستره یک است.
۴. مکان ریشه چهار مجانب خواهد داشت. زوایای این مجانبهای عبارتند از

$$\gamma = \frac{(1+2k)180^\circ}{4} \quad k=0, 1, 2, 3$$

ولذا

$$\gamma = 45^\circ, 135^\circ, 225^\circ, 315^\circ$$

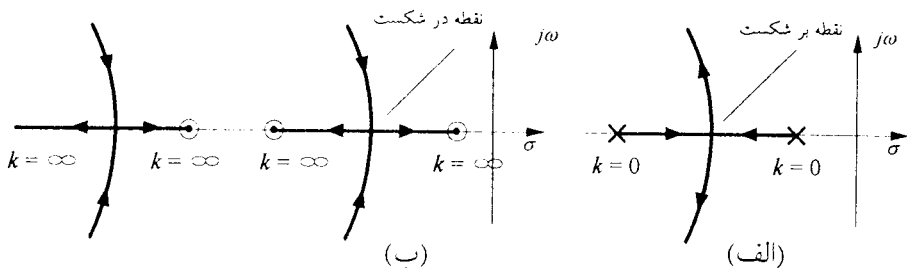
۵. نقطه تلاقی این مجانبها بر روی محور حقیقی به صورت زیر است

$$\sigma = -\frac{\omega}{4}$$

#### قاعده ۶: نقاط شکستگی بر روی مکان ریشه

شاخه‌های مکان ریشه از قطب‌های حلقه - باز متناظر با  $k = \infty$  شروع می‌شوند و در صفرهای محدود یا نامحدود حلقه - باز متناظر با  $k = \infty$  خاتمه می‌یابند. حالتی را در نظر بگیرید که مکان ریشه بین دو قطب حقیقی شاخه داشته باشد، همانطور که در شکل ۱۱-۴ (الف) نشان داده شده است. بدینهی است که باید نقطه‌ای بین دو قطب بر روی محور حقیقی وجود داشته باشد که شاخه‌ها از محور حقیقی جدا شده و به محدوده مختلط صفحه  $\mathfrak{d}$  وارد شوند و به سمت صفرهای سیستم حلقه - باز حرکت کنند. همچنین برای دو صفر محدود یا یک صفر محدود و یک صفر نامحدود، همانطور که در شکل ۱۱-۴ (ب) نشان داده شده است، شاخه‌ها از محدوده مختلط صفحه  $\mathfrak{d}$  باید بر نقطه‌ای بر روی محور حقیقی وارد شده و به سمت صفرها حرکت کنند. به این نقاط به ترتیب نقاط در شکست<sup>۱</sup> و نقاط بر شکست<sup>۲</sup> گفته می‌شود.

در حالت کلی، مکان ریشه ممکن است بیش از یک نقطه بر شکست یا در شکست داشته باشد. همچنین این نقاط لزوماً همواره بر روی محور حقیقی قرار ندارند و ممکن است که در ناحیه مختلط صفحه  $\mathfrak{d}$  نیز وجود داشته باشند. از آنجاییکه مکان ریشه، حالت متقاضی نسبت به محور حقیقی دارد (کلیه ریشه‌ها به صورت مختلط مزدوج رخ می‌دهند) این نقاط در محدوده مختلط صفحه  $\mathfrak{d}$  باید به صورت جفت‌های مختلط مزدوج باشند.



شکل ۱۱-۴ نقاط خروج و ورود بر روی محور حقیقی

می‌توان نشان داد که نقاط برشکست یا درشکست بر روی مکان ریشه معادله مشخصه  $1+kG_1(s)=0$ ، باید معادله زیر را برآورده سازند

$$\frac{dG_1(s)}{ds} = 0 \quad (9-4-4)$$

توجه کنید که معادله (9-4-4) یک شرط لازم ولی غیرکافی را برای محاسبه نقاط برشکست یا درشکست بدست می‌دهد. به عبارت دیگر هر کدام از این نقاط باید معادله (9-4-4) را برآورده سازند، لیکن کلیه نقاطی که معادله (9-4-4) را برآورده می‌سازند، لزوماً نقاط برشکست یا درشکست نمی‌باشند. برای آنکه پاسخ معادله (9-4-4) یک نقطه برشکست یا درشکست باشد، باید معادله  $1+kG_1(s)=0$  را نیز برآورده سازد.

شرط شکستگی را به صورت معادل دیگری نیز می‌توان بیان نمود. داریم

$$k = -\frac{1}{G_1(s)} \quad (10-4-4)$$

با مشتقگیری از طرفین معادله (10-4-4) نسبت به  $s$ ، بدست می‌آوریم

$$\frac{dk}{ds} = \frac{dG_1(s)/ds}{[G_1(s)]^2}$$

بنابراین شرط شکستگی را می‌توان به صورت زیر نیز نوشت

$$\frac{dk}{ds} = 0 \quad (11-4-4)$$

مثال ۴-۴

تابع تبدیل حلقه - باز زیر را در نظر بگیرید

$$G(s) = \frac{k}{s(s+1)(s+2)}$$

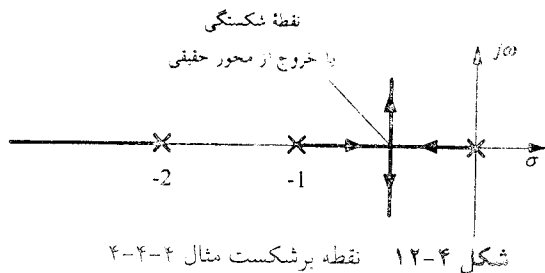
نقاط برشکست یا درشکست برای مکان ریشه را می‌توان با بکارگیری معادله (9-4-4) بدین صورت بدست آورد

$$\frac{d}{ds} \left[ \frac{1}{s(s+1)(s+2)} \right] = -\frac{3s^2 + 6s + 2}{s^2(s+1)^2(s+2)^2} = 0$$

و لذا

$$3s^2 + 6s + 2 = 0$$

ریشه‌های این معادله عبارتند از  $z = -1/6$  و  $z = -4/226$  ولی همانطور که از شکل ۱۲-۴ مشاهده می‌شود، تنها نقطه  $-4/226$  بر روی مکان ریشه قرار دارد و لذا یک نقطه خروج از محور حقیقی است و بین دو قطب قرار گرفته است. نقطه  $-1/6$  بر روی مکان ریشه قرار ندارد. (توجه کنید که اگر مکان ریشه را برای  $z = k$  رسم کنیم، نقطه  $-1/6$  بر روی آن قرار می‌گیرد و یک نقطه در شکست خواهد بود)



شکل ۱۲-۴ نقطه برشکست مثال ۴-۴-۴

قاعده ۷: زاویه خروج از قطب‌های مختلط و زاویه ورود به صفرهای مختلط برای رسم نسبتاً دقیق مکان ریشه، باید موقعیت مکان ریشه را در نزدیکی قطبها و صفرهای مختلط تعیین کنیم. یک نقطه آزمایشی را در محدوده‌ای بسیار کوچک حول قطب محدود، همانطور که در شکل ۱۳-۴ (ب) نشان داده شده است، در نظر بگیرید (این محدود به منظور نمایش زاویه خروج بسیار بزرگتر نشان داده شده است). تحت این شرایط بدینه ایست که زوایایی بدست آمده از سایر قطبها و صفرها بجز  $p_+$  به این نقطه آزمایشی، هر کجای محدوده قرار گرفته شده باشد تقریباً ثابت است. از نظر سایر قطبها و صفرهای خارج از محدوده در نظر گرفته شده، سهم زاویه‌ای آنها به نقطه آزمایشی و قطب  $p_+$  تقریباً یکسان است. با اعمال شرط زاویه به این محدوده کوچک داریم

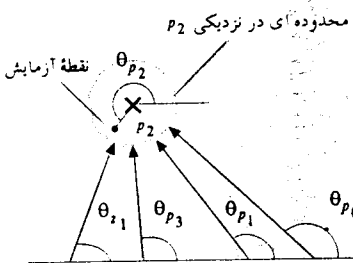
$$\theta_{p_+} + \theta_{p_+} + \theta_{p_+} + \theta_{p_+} - \theta_z = (1+2k)180^\circ$$

و لذا زاویه خروج عبارتست از

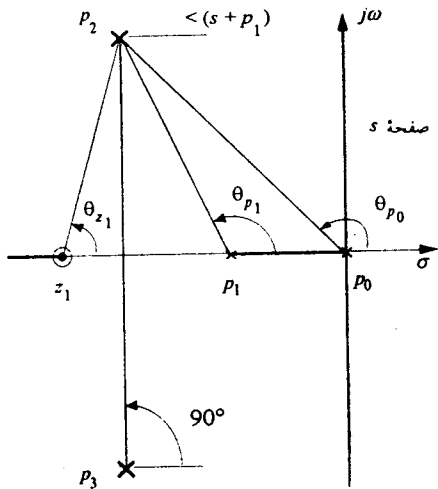
$$\angle(s+p_+) = \theta_{p_+} = (1+2k)180^\circ - (\theta_{p_+} + \theta_{p_+} + 90^\circ - \theta_z)$$

به طور مشابهی، می‌توان زاویه ورود به یک صفر مختلط را نیز تعیین نمود. برای تشکیلات قطب-صفر نشان داده شده در شکل ۱۴-۴، زاویه ورود به صفر  $z$  عبارتست از

$$\angle(s+z) = \theta_z = (\theta_{p_+} + \theta_{p_+} + 90^\circ) - (1+2k)180^\circ$$

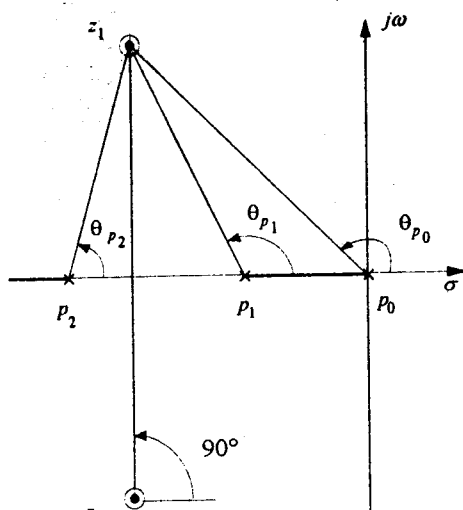


(ب)



(الف)

شکل ۱۳-۴ جهت زاویه در نزدیکی قطب مختلط



شکل ۱۴-۴ شرط زاویه در نزدیکی صفر مختلط

به عبارت دیگر در حالت کلی، زوایای خروج و ورود به قطبها و صفرهای مختلط را می‌توان بدین صورت بدست آورد: زاویه خروج از قطب مختلط برابر است با  $(\text{مجموع زوایای بردارها به قطب مختلط از صفرها}) - (\text{مجموع زوایای بردارها به قطب مختلط از سایر قطبها})$  -  $180^\circ$ .

و همچنین، زاویه ورود به صفر مختلط برابر است با:  
 $180^\circ - [(\text{مجموع زوایای بردارها به صفر مختلط از سایر صفرها}) - (\text{مجموع زوایای بردارها به صفر مختلط از قطبها})]$

به طور مشابهی، می‌توان گفت که زاویه خروج از قطب مختلط عبارتست از

$$180^\circ + \arg(G(s)) \Big|_{s_1}$$

که در آن  $\arg(G(s))$  زاویه فاز تابع تبدیل پس از حذف عبارت مربوط به قطب  $s_1$  است. همچنین، زاویه ورود به صفر مختلط عبارتست از  $-180^\circ - \arg(G(s))$ ، که در آن  $\arg(G(s))$  زاویه فاز تابع تبدیل پس از حذف عبارت مربوط به صفر  $s_1$  است.

#### مثال ۴-۴

تابع تبدیل حلقه - باز سیستمی عبارتست از

$$G(s) = \frac{k(s^2 + 4s + 5)}{(s+1)(s^2 + 2s + 2)}$$

قطبها و صفرهای این سیستم به ترتیب عبارتند از  $-1$ ،  $-2 \pm j$  و  $-j \pm 1$ ، محل این قطبها و صفرها در شکل ۴-۵ نشان داده شده است. با توجه به تقارن مکان حول محور حقیقی، در نظر گرفتن تنها یک قطب و صفر مختلط کفایت می‌کند.  
 با مراجعه به شکل ۴-۵، زاویه خروج مکان ریشه از قطب مختلط  $j + 1$  است و لذا

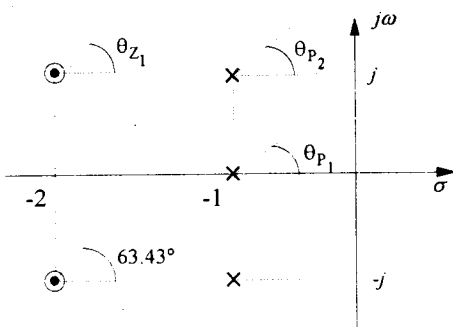
$$\theta_p = 180^\circ - [(90^\circ + 90^\circ) - (0^\circ + 63/42^\circ)] = 63/42^\circ$$

به طور مشابهی،  $\theta_z$  زاویه ورود مکان ریشه به صفر مختلط  $j + 2$  است. و لذا

$$\begin{aligned} \theta_z &= [(180^\circ + 135^\circ + 116/57^\circ) - 90^\circ] - 180^\circ \\ &= 161/57^\circ \end{aligned}$$

زاویه خروج از قطب حقیقی  $-1$ - نیز به صورت بالا بدست می‌آید. داریم

$$\begin{aligned} \theta_p &= 180^\circ - [(-90^\circ + 90^\circ) - (-45^\circ + 45^\circ)] \\ &= 180^\circ \end{aligned}$$



شکل ۱۵-۴ محل قطب و صفر مثال ۴-۴

یعنی همانطور که انتظار می‌رفت، مکان ریشه از قطب در ۱-شروع می‌شود و بر روی محور حقیقی منفی بحرکت درخواهد آمد.

قاعده ۸: نقاط تلاقی مکان ریشه و محور موهومند  
نقاط تلاقی محور موهومند با مکان ریشه، نقطه ورود به محدوده ناپایداری را نشان می‌دهد و می‌توان آن را توسط روش روث و یا هر روشی مشابه دیگر تعیین کرد.

## مثال ۴-۶

معادله مشخصه  $s^3 + 6s^2 + 6s + k = 0$  را در نظر بگیرید. آرایه روث برای این معادله مشخصه عبارتست از

$$\begin{array}{c|cc} s^3 & 1 & 6 \\ s^2 & 6 & k \\ \hline s^1 & 48-k & 6 \end{array}$$

برای  $k=48$ ، ردیف مقابله  $s^3$  صفر می‌شود و ریشه‌ها موهومند می‌باشند. از معادله کمکی  $s^2 + 6s + 48 = 0$ ، محل قطع محور موهومند مکان ریشه را در  $s = -3\sqrt{7}$  تعیین می‌کنیم.  
قاعده ۹: محاسبه  $k$  بر روی مکان ریشه

پس از رسم کامل مکان ریشه، مقدار  $k$  در هر نقطه بر روی مکان را می‌توان از شرط دامنه تعیین کرد. در واقع مقدار  $k$  برابر روی هر نقطه از مکان ریشه از رابطه زیر بدست می‌آید

$$(12-4-4) \quad \frac{\text{حاصل ضرب طول بردارهای رسم شده از قطب‌های } G_1(s) \text{ به نقطه مورد نظر}}{\text{حاصل ضرب طول بردارهای رسم شده از صفرهای } G_1(s) \text{ به نقطه مورد نظر}} = |k|$$

این مقدار را می‌توان به طور ترسیمی یا تحلیلی محاسبه کرد.

#### مثال ۷-۴-۴

معادله مشخصه زیر را در نظر بگیرید

$$s^2 + 2s + 2 + k(s+2) = 0$$

مکان ریشه این معادله در شکل ۱۶-۴ رسم شده است. مقدار بهره  $k$  در هر نقطه انتخابی  $s$  بر روی مکان ریشه را می‌توان همانطور که در شکل ۱۶-۴ نشان داده شده است از رابطه

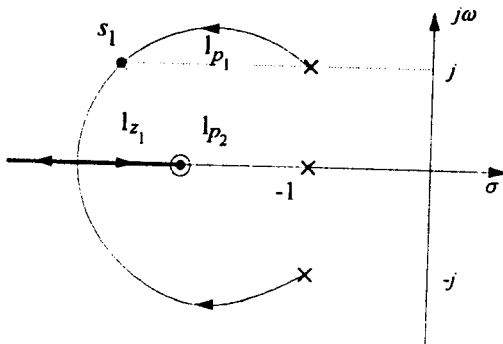
زیر بدست آورد

$$k = \frac{l_p l_{p_1}}{l_z}$$

که در آن  $l_p$  و  $l_z$  به ترتیب طول بردارهای رسم شده از قطب‌های سیستم حلقه - باز در  $\sigma \pm j\omega$  به نقطه  $s$  می‌باشند و  $l_{p_1}$  نیز طول بردار رسم شده از صفر سیستم حلقه - باز در  $-2$  است. قواعد بالا، رسم مکان ریشه را برای سیستم‌های مختلف امکان پذیر می‌سازد. در اینجا این

قواعد را برای مرور سریع خواننده ارایه می‌کنیم:

۱. تعداد شاخه‌های مکان ریشه برابر با تعداد قطب‌های تابع تبدیل حلقه - باز ( $G(s)$ ) است.
۲. برای  $\sigma > k$ ، نقاطی از محور حقیقی بر روی مکان ریشه قرار دارند که، در سمت راست



شکل ۱۶-۴ روش ترسیمی تعیین بهره بر روی مکان ریشه

آنها تعداد فردی از صفرها و قطبها قرار گرفته باشند.

۳. نقاط شروع مکان ریشه ( $k=0$ ) قطب‌های حلقه - باز و نقاط پایانی آن ( $k=+\infty$ ) صفرهای حلقه - باز سیستم می‌باشند.

۴. برای  $\infty \rightarrow$  شاخه‌های مکان ریشه بطرف مجانبهای آن میل خواهند کرد. زوایای مجانبها برابرند با ( $k > 0$ )

$$\gamma = \frac{(1+2k)180^\circ}{\text{تعداد قطبها محدود } G(s) - \text{تعداد صفرها محدود } G(s)} \quad k = 0, 1, 2, \dots$$

۵. نقطه قطع این مجانبها با محور حقیقی از رابطه زیر بدست می‌آید

$$\sigma_p = \frac{(\text{مجموع قسمت حقیقی صفرها}) - (\text{مجموع قسمت حقیقی قطبها})}{(\text{تعداد قطبها محدود } G(s)) - (\text{تعداد صفرها محدود } G(s))}$$

۶. نقاط برشکست و درشکست مکان ریشه از

$$\frac{dk}{ds} = 0$$

بدست می‌آیند.

۷. زاویه خروج از قطب مختلط برابر است با حاصل جمع زوایای کلیه صفرها منتهای حاصل جمع زوایای کلیه قطبها سیستم به قطب مورد نظر و جمع این حاصل جمع با  $(1+2k)180^\circ$ .

زاویه ورود به صفر مختلط برابر است با حاصل جمع زوایای کلیه قطبها منتهای حاصل جمع زوایای کلیه صفرها و تفیریق این حاصل جمع از  $180^\circ$ .

۸. نقاط تلاقی مکان ریشه با محور موهومی را می‌توان از روش روث بدست آورد. ابتدا با صفر قرار دادن ردیف مقابله  $k$  مقدار بهره  $k$  را محاسبه کرده و سپس با استفاده از معادله کمکی (ردیف مقابله  $k$ ) مقدار درا تعیین می‌کنیم.

۹. مقدار بهره  $k$  برای هر نقطه بروی مکان ریشه را می‌توان از شرط دامنه بدست آورد:

$$|k| = \frac{\text{حاصلضرب فاصله نقطه انتخابی تا قطبها}}{\text{حاصلضرب فاصله نقطه انتخابی تا صفرها}} = \frac{G(s)}{G(s)}$$

## مثال ۴-۴

تابع تبدیل حلقه - باز سیستمی عبارتست از

$$G(s) = \frac{k(s+3)}{s(s^2 + 3s + 4)} \quad (k > 0)$$

مکان ریشه سیستم حلقه - بسته را به ازاء تغییرات  $k$  رسم کنید.

معادله مشخصه سیستم حلقه - بسته عبارتست از

$$s^3 + 3s^2 + 4s + k(s+3) = 0$$

سیستم سه قطب دارد و لذا تعداد شاخه‌های مکان ریشه سه است. قطب‌های سیستم حلقه - باز در  $\sigma = 0$ ,  $\omega = 1/5 \pm j1/3$  و صفر آن در  $\sigma = -3$ - قرار دارد. بنابراین نقاط شروع مکان ریشه در  $\sigma = 0$ ,  $\omega = 1/5 \pm j1/3$  و نقطه پایانی آن در  $\sigma = -3$  و دو صفر در بینهایت قرار دارند. با توجه به وجود دو صفر در بینهایت، دو شاخه از شاخه‌های مکان ریشه به سمت معجانب‌های خود میل خواهند کرد. زوایای معجانبها عبارتند از

$$\gamma = \frac{(1+2k)180^\circ}{3-1} = (1+2k)90^\circ \quad k = 0, \pm 1, \pm 2, \dots$$

و لذا

$$\gamma = 90^\circ, 270^\circ$$

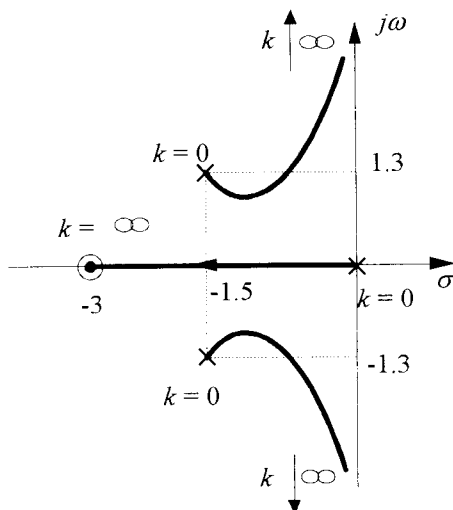
نقطه تلاقی معجانبها و محور حقیقی نیز از رابطه زیر بدست می‌آید

$$\sigma_0 = \frac{-\frac{3}{2} - \frac{3}{2} + 3}{3-1} = 0$$

با توجه به تشکیلات قطب - صفرنشان داده شده در شکل ۴-۱۷ بدینهی است که مکان ریشه، نقطه بشکست و یا درشکستی نخواهد داشت و لذا اعمال قاعده ۶ ضروری به نظر نمی‌رسد. دو قطب مختلط در  $\omega = 1/5 \pm j1/3$ - متناظر با  $k = 1$ , نقاط شروع دو شاخه مکان ریشه هستند که به سمت معجانبها در بینهایت میل خواهند کرد. بنابراین برای رسم دقیقتر مکان ریشه، زاویه خروج از این دو قطب را بدست می‌آوریم. داریم

$$-\omega - (1+2k)180^\circ = \text{زاویه خروج از قطب مختلط } \omega = 1/5 \pm j1/3$$

با جایگزینی برای  $\theta_{p_1} = 41^\circ$  و  $\theta_{z_1} = 139^\circ$ , داریم که زاویه خروج از قطب مختلط تقریباً  $8^\circ$ - است. برای تعیین نقطه احتمالی تلاقی مکان ریشه با محور موهومی، آرایه روش را برای



شکل ۱۷-۴ مکان ریشه مثال ۸-۴-۴

معادله مشخصه حلقه - بسته تشکیل می دهیم:

$$\begin{array}{c|cc} s^3 & 1 & 4+k \\ s^2 & 3 & 3k \\ s^1 & 4 \end{array}$$

و لذا مکان ریشه هیچگاه محور موهومی را قطع نمی کند.

#### مثال ۹-۴-۴

تابع تبدیل حلقه - باز سیستم عبارتست از

$$G(s) = \frac{k}{s(s+1)(s^2 + 4s + 8)} \quad (k > 0)$$

مکان ریشه سیستم حلقه - بسته را به ازاء تغییرات  $k$  رسم کنید.

معادله مشخصه سیستم حلقه - بسته عبارتست از

$$s(s+1)(s^2 + 4s + 8) + k = 0$$

از آنجاییکه سیستم چهار قطب دارد، لذا تعداد شاخه های مکان ریشه نیز ۴ است و از قطبین ای

سیستم، همانطور که در شکل ۱۸-۴ نشان داده شده است، در  $0^\circ$  و  $2\pi^\circ - 2\angle j$ - شروع می‌شوند. با توجه به اینکه چهار صفر در بی‌نهایت داریم، هر چهار شاخه مکان ریشه به سمت چهار مجانب در بی‌نهایت میل خواهند کرد. توجه کنید که در گستره بین  $0^\circ$  و  $180^\circ$  محور حقیقی، یک قطب در سمت راست وجود دارد و لذا مکان ریشه بر روی محور حقیقی تنها در این گستره قرار گرفته است. زوایای مجانبها با محور حقیقی عبارتند از

$$\gamma = \frac{(1+2k)180^\circ}{4} \quad k=0, 1, 2, 3$$

و به عبارت دیگر

$$\gamma = \frac{180^\circ}{4}, \frac{3 \times 180^\circ}{4}, \frac{5 \times 180^\circ}{4}, \frac{7 \times 180^\circ}{4}$$

هم چنین نقطه تلاقی مجانبها با محور حقیقی عبارتست از

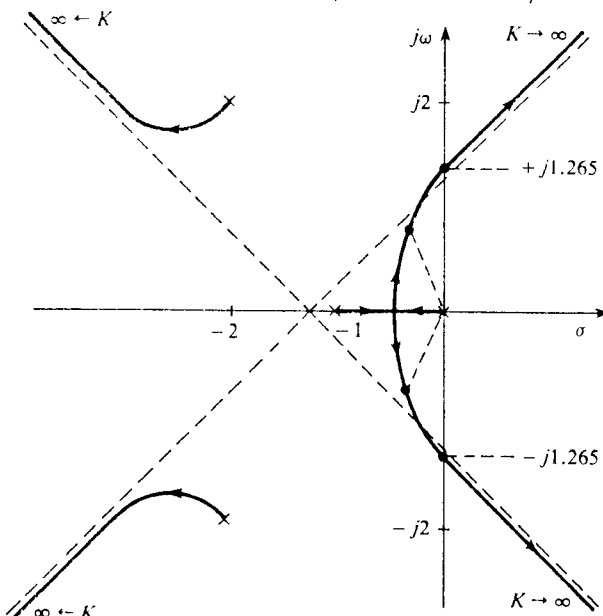
$$\sigma = \frac{\omega_0}{4}$$

زاویه خروج از قطب‌های مختلف بدین صورت تعیین می‌گرددند

$$-\theta_{p_1} - \theta_{p_2} - \theta_{p_3} - (2k+1)180^\circ = -\theta_{p_1} - (2k+1)180^\circ \quad \text{زاویه خروج از قطب مختلف}$$

$$= -135^\circ - 116/5V^\circ - 90^\circ - (2k+1)180^\circ$$

$$= -241/5V^\circ - 180^\circ = -161/5V^\circ$$



شکل ۱۸-۴ مکان ریشه مثال ۴-۲

به طور مشابهی، زاویه خروج از قطب مختلط در  $\alpha = -2^\circ$  بدست می‌آید. از تقارن مکان ریشه داریم که این زاویه  $161/57^\circ$  است. با توجه به تشکیلات قطب - صفر سیستم، یک نقطه برشکست بین دو قطب در  $0^\circ$  و  $-1^\circ$  وجود خواهد داشت. این نقطه بر شکست رابه صورت زیر تعیین می‌کنیم:

$$\frac{dk}{ds} = -(2s^3 + 15s^2 + 24s + 8) = 0$$

ریشه قابل قبول این معادله (ریشه‌ای که بر روی مکان ریشه قرار داشته باشد) عبارتست از  $s = -0/440$ . در اینجا با بکارگیری روش روث، نقطه تلاقی مکان ریشه با محور موهومی را تعیین می‌کنیم:

$s^4$	1	12	$k$
$s^3$	5	8	
$s^2$	$10/4$	$k$	
$s^1$	$8-5k/10/4$		
$s^0$	$k$		

با صفر قرار دادن ردیف مقابله<sup>۱</sup> بهره‌ای که در آن مکان ریشه، محور موهومی راقطع خواهد کرد بدست می‌آوریم. داریم  $0 = 8-5k/10/4$  و لذا در  $k = 16/64$  ریشه‌ها بر روی محور موهومی قرار خواهند گرفت. وقت کنید که در واقع شرایط پایداری این سیستم عبارتند از  $0 < k < 16/64$ . برای تعیین نقاط تلاقی از معادله کمکی استفاده می‌کنیم. داریم

$$10/4s^3 + 16/64 = 0$$

و لذا نقاط قطعه در  $\alpha = 1/265 \pm$  قرار دارند.

از قاعده نهم می‌توان بهره  $k$  را در هر نقطه بر روی مکان ریشه تعیین کرد. در واقع در این حالت داریم که برای هر نقطه انتخابی  $k$  مقدار بهره عبارتست از

$$k = |s_1 + 0| - |s_1 + 1| - |s_1 + 2 - 2j| - |s_1 + 2 + 2j|$$

از شکل ۱۸-۴ مشاهده می‌شود که قطبی‌ای غالب سیستم بر روی شاخه‌های مکان ریشه در سمت راست شکل ۱۸-۴ قرار دارد. دو قطب مختلط سمت را می‌توان به صورت  $w_n^3 + 25w_n^2 + w_n^5$  نوشت. اگر بخواهیم که نسبت میرایی قطبها  $5/0$  و فرکانس طبیعی غیر میرای آنها نیز  $5/695^\circ$  باشد، ریشه‌های سیستم در  $\alpha = 0/60 - 0/3475 \pm$  قرار خواهند گرفت.

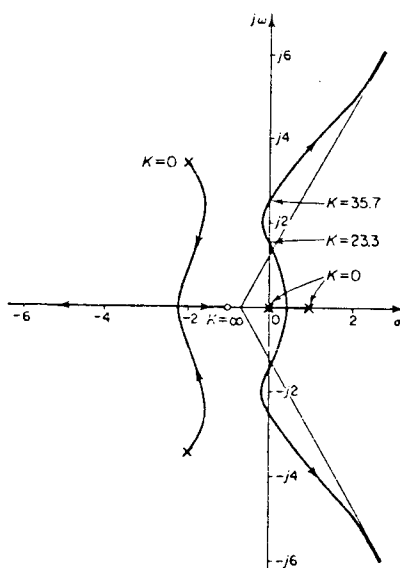
(توجه کنید که ریشه‌های با نسبت میرایی  $5/0^\circ$  بر روی خط‌هایی با زوایای  $\pm 60^\circ$  (یعنی  $\pm \cos^{-1}(5/0)$ ) قرار دارند). مقدار بهره  $k$  را در این دو نقطب می‌توان از رابطه بالا بدست آورده، در واقع  $k = 4/114$  است.

#### مثال ۱۰-۴-۴

تابع تبدیل حلقه - باز سیستمی عبارتست از

$$G(s) = \frac{k(s+1)}{s(s-1)(s^2 + 4s + 16)}$$

مکان ریشه سیستم حلقه - بسته را به ازاء تغییرات پارامتر  $k$  از صفر تا بی‌نهایت رسم کرده و محدوده  $k$  را برای پایداری تعیین نماید. قطب‌های سیستم حلقه - باز عبارتند از  $0 + 2\sqrt{3}j$  و  $0 - 2\sqrt{3}j$ ، همچنین صفرهای سیستم حلقه - باز عبارتند از  $1 + 0$  و  $1 - 0$  و سه صفر در بی‌نهایت. مکان ریشه بر روی محور حقیقی بین  $1 + 0$  و  $1 - 0$  خواهد بود. (به تعداد قطبها و صفرها در سمت راست این گستره‌ها همانطور که در شکل ۱۹-۴ نشان داده است، توجه کنید) از آنجاییکه سه صفر در بی‌نهایت داریم، لذا



شکل ۱۹-۴ مکان ریشه مثال ۱۰-۴-۴

مکان ریشه نیز سه مجانب خواهد داشت. زاویه این مجانبها عبارتند از:

$$\gamma = \frac{(1+2k)180^\circ}{4-1} \quad k=0, 1, 2$$

$$= 60^\circ, 180^\circ, 300^\circ$$

نقطه تلاقی مجانبها و محور حقیقی نیز از رابطه زیر بدست خواهد آمد

$$\sigma = -\frac{(0-1+2+j\sqrt{3}+2-j\sqrt{3})-1}{4-1} = -\frac{2}{3}$$

با توجه به تشکیلات صفر - قطب نشان داده شده در شکل ۴-۱۹، بدینهی است که دو نقطه شکست خواهیم داشت. بین دو قطب در ۰ و ۰ و همچنین بین صفر در -۱ و صفر در بی‌نهایت به ترتیب نقاط برشکست و درشکست قرار گرفته‌اند. برای تعیین نقاط برشکست و درشکست نخست رابطه زیر را می‌نویسیم

$$k = -\frac{s(s-1)(s^2+4s+16)}{s+1}$$

با مشتقگیری  $k$  نسبت به  $s$  بدست می‌آوریم

$$\frac{dk}{ds} = -\frac{3s^4 + 10s^3 + 21s^2 + 24s - 16}{(s+1)^2} \\ = 0$$

ولذا نقاط برشکست و درشکست به ترتیب در  $s=0/46$  و  $s=-2/22$  قرار دارند.

از معیار روث برای تعیین مقادیر بهره  $k$  که به ازاء آنها شاخه‌های مکان ریشه محور موهومی راقطع می‌کنند، استفاده می‌کنیم. معادله مشخصه سیستم حلقه - بسته عبارتست از

$$s^4 + 3s^3 + 12s^2 + (k-16)s + k = 0$$

آرایه روث را تشکیل می‌دهیم

$$s^4 \quad 1 \quad 12 \quad k$$

$$s^3 \quad 3 \quad k-16$$

$$s^2 \quad \frac{52-k}{3} \quad k$$

$$s^1 \quad \frac{-k^2 + 59k - 132}{(52-k)}$$

$$s^0 \quad k$$

از صفر قرار دادن ردیف مقابله داریم

$$\frac{-k^2 + 59k - 832}{(52-k)} = 0$$

که برای  $k=35/7$  و  $k=23/3$  صفر است. معادله کمکی را برای تعیین مقادیر بروی محور

موهومی در هنگام قطع شاخه‌ها، بکار می‌گیریم. ردیف مقابله داریم

$$\frac{52-k}{3} s^2 + k = 0$$

و پاسخهای آن برای  $k=35/7$  و  $k=23/3$  به ترتیب عبارتند از

$$s_1 = \pm j 2/56$$

$$s_2 = \pm j 1/56$$

لذا مکان ریشه چهار بار محور موهومی را قطع می‌کند.

برای تعیین زاویه خروج از قطب مختلط در  $2+j\sqrt{3}$ - داریم

$$\begin{aligned} -z &= 2 + j\sqrt{3} \\ z &= 2\sqrt{3} + j \\ &= 2\sqrt{3}\left(\frac{1}{2} + j\frac{\sqrt{3}}{2}\right) \\ &= 2\sqrt{3}\left(\cos 60^\circ + j\sin 60^\circ\right) \\ &= 2\sqrt{3}\left(\cos 120^\circ + j\sin 120^\circ\right) \\ &= 2\sqrt{3}\left(\cos 180^\circ + j\sin 180^\circ\right) \\ &= 2\sqrt{3}\left(\cos 240^\circ + j\sin 240^\circ\right) \\ &= 2\sqrt{3}\left(\cos 300^\circ + j\sin 300^\circ\right) \\ &= 2\sqrt{3}\left(\cos 330^\circ + j\sin 330^\circ\right) \end{aligned}$$

و زاویه خروج از قطب مختلط در  $2-j\sqrt{3}$ - برابر است با  $54/5^\circ$ .

با توجه به شکل مکان ریشه و یا با بکارگیری نتایج معیار روث، سیستم تنها برای  $k < 35/7$  پایدار است.

#### مثال ۱۱-۴

تابع تبدیل حلقه - باز سیستمی عبارتست از

$$G(s) = \frac{k}{s(s+4)(s^2 + 4s + 20)}$$

مکان ریشه سیستم حلقه - بسته را به ازاء تغییرات بهره  $k$  از  $0$  تا بین نهایت رسم کنید.

معادله مشخصه سیستم حلقه - بسته عبارتست از

$$s(s+4)(s^2 + 4s + 20) + k = 0$$

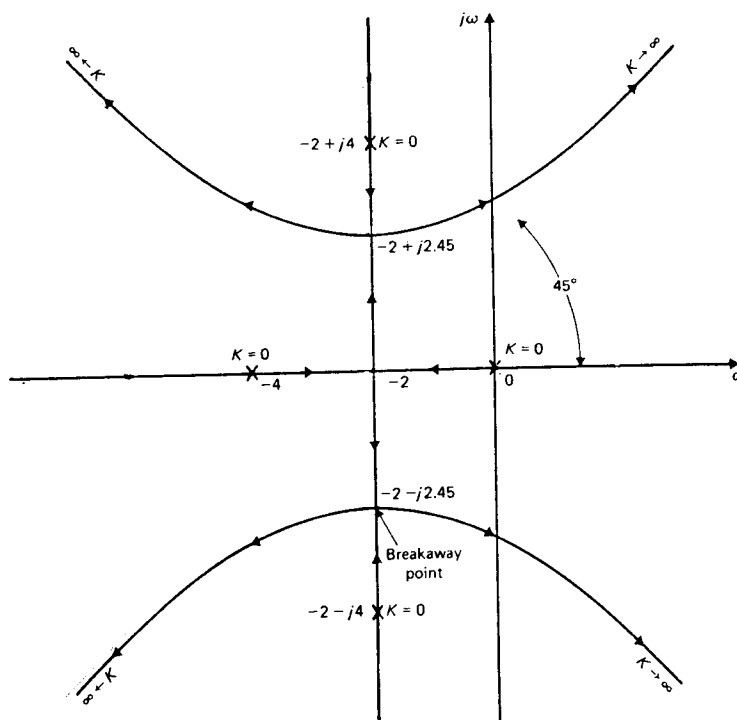
قطبهای سیستم حلقه - باز در  $0, -4, -2 \pm j4$ - قرار دارند. همچنین صفرهای حلقه - باز سیستم در بین نهایت قرار دارند. گستره بین قطبها  $0$  و  $-4$ - بروی محور حقیقی منفی جزء مکان

ریشه می‌باشد. اگر در این حالت بخواهیم نقطه برشکست بین دو قطب را تعیین کنیم، داریم

$$\frac{dk}{ds} = -\frac{(4s^3 + 24s^2 + 72s + 80)}{(s(s+4)(s^2 + 4s + 20))}$$

$=$

ریشه‌های معادله بالا در  $-2 \pm j2/45$  قرار دارند. بسادگی می‌توان نشان داد که در این حالت کلیه این ریشه‌ها بر روی مکان ریشه قرار دارند و لذا علاوه بر نقطه برشکست در  $-2$  که نقطه خروج از محور منفی حقیقی می‌باشد، دو نقطه برشکست مخلط نیز در  $-2 \pm j2/45$  قرار دارد. همانند قبل می‌توان زاویه مجانبهای مکان ریشه را بدست آورد که  $45^\circ$ ،  $135^\circ$ ،  $225^\circ$  و  $315^\circ$  بوده و نقطه تلاقی آنها با محور حقیقی نیز در  $-2$  می‌باشد. نقاط تلاقی شاخه‌های مکان ریشه و محور موهومی از روش روث تعیین شده و این نقاط عبارتند از  $\pm j3/1$ . مکان ریشه این سیستم در شکل ۲۰-۴ نشان داده شده است.



شکل ۲۰-۴ مکان ریشه مثال ۱۱-۴-۲

## مثال ۴-۴-۱۲

تابع تبدیل حلقه - باز سیستمی عبارتست از

$$G(s) = \frac{k_1(1-s)}{s(1+s)(1+0/5s)(1+0/25s)}$$

مکان ریشه سیستم حلقه - بسته را به ازاء تغییرات بهره  $k_1$  از  $0$  تا بی‌نهایت رسم کنید. نخست

تابع تبدیل را به صورت مناسب تبدیل می‌کنیم

$$G(s) = \frac{-\sqrt{k_1}(s-1)}{s(s+1)(s+2)(s+4)}$$

با جایگزینی  $k_1 = -8k$ ، داریم

$$G(s) = \frac{k(s-1)}{s(s+1)(s+2)(s+4)}$$

قطبهای سیستم حلقه باز در  $-1$ ،  $-2$  و  $-4$  قرار دارند. هم‌چنین سیستم یک صفر محدود ناپایدار در  $1$  و سه صفر در بی‌نهایت دارد. توجه کنید که در این مسئله با دو بهره  $k_1$  و  $k_2$  برخورد داریم که از نظر علامت عکس هم می‌باشند. در واقع برای  $k_1 > 0$  یا  $k_2 > 0$  یا  $k > 0$  گستردهای  $(-\infty, -4]$ ،  $[-2, -1]$  و  $[0, 1)$  بر روی مکان ریشه قرار دارند و برای  $k_1 < 0$  یا  $k_2 < 0$  یا  $k < 0$  گستردهای  $[-4, -2]$ ،  $[-1, 0]$  و  $(1, \infty)$  بر روی مکان ریشه قرار خواهند گرفت.

مکان ریشه چهار مجانب خواهد داشت. برای  $k > 0$  یا  $k < 0$ ، زوایای این مجانبها از

رابطه زیر تعیین می‌گردند

$$\gamma = \frac{(1+2k)180^\circ}{4-1} = 60^\circ, 180^\circ, 300^\circ$$

هم‌چنین برای  $k > 0$  یا  $k < 0$ ، زوایای این مجانبها از رابطه زیر تعیین می‌گردند

$$\gamma = \frac{(2k)180^\circ}{4-1} = 0, 120^\circ, 240^\circ$$

توجه کنید که این رابطه از معادله  $(4-4-2)$  به ازاء  $k$  منفی بدست می‌اید. در این حالت

معادله  $(4-4-4)$  به صورت  $\angle k = (2k)180^\circ$  تغییر پیدا خواهد کرد. نقطه تلاقی این مجانبها

با محور حقیقی نیز عبارتست از

$$\sigma_0 = \frac{(0-1-2-4)-(1)}{4-1} \\ = -\lambda/3$$

اکنون نقاط برشکست و درشکست مکان ریشه را محاسبه می‌کنیم. داریم

$$k = \frac{s(s+1)(s+2)(s+4)}{(s-1)}$$

ولذا

$$\frac{dk}{ds} = \frac{(s+0/3225)(s+1/484)(s+3/24)(s-1/717)}{(s-1)^3} \\ = 0$$

از اینرو  $-1/484, 0/3225, -1/24, 0/717$  می‌توانند نقاط برشکست و درشکست مکان ریشه باشند. با توجه به مکان ریشه بر روی محور حقیقی، داریم که  $0/3225$  و  $-1/24$ - نقاط برشکست و  $0/717$  یک نقطه در شکست برای مکان ریشه به ازاء  $k > 0$  یا  $k < 0$  می‌باشند. همچنین،  $-1/484$ - یک نقطه برشکست بر روی مکان ریشه به ازاء  $k > 0$  یا  $k < 0$  است. برای تعیین برخورد احتمالی مکان ریشه با محور موهومی از جدول روش استفاده می‌کنیم. معادله مشخصه سیستم حلقه - بسته عبارتست از

$$s^4 + vs^3 + 14s^2 + (\lambda + k) - k = 0$$

ولذا جدول روش عبارتست از

$s^4$	1	14	$-k$
$s^3$	$v$	$k+14$	
$s^2$	$90-k$	$-vk$	
$s^1$	$-k^2 + 131k + 720$		
$s^0$	$-vk$		

داریم

$$-k^2 + 131k + 720 = 0$$

ولذا برای بهره‌های  $5/283$  و  $136/283$  نقاط قطع با محور موهومی را خواهیم داشت. نقاط تلاقی در این بهره‌ها  $623/5 = 123$  برای  $k = 0$  و یا  $66/5 = 13.2$  برای  $k = 5/4$  و یا  $17/4 = 4.25$  برای  $k = 136/283$  می‌باشند.

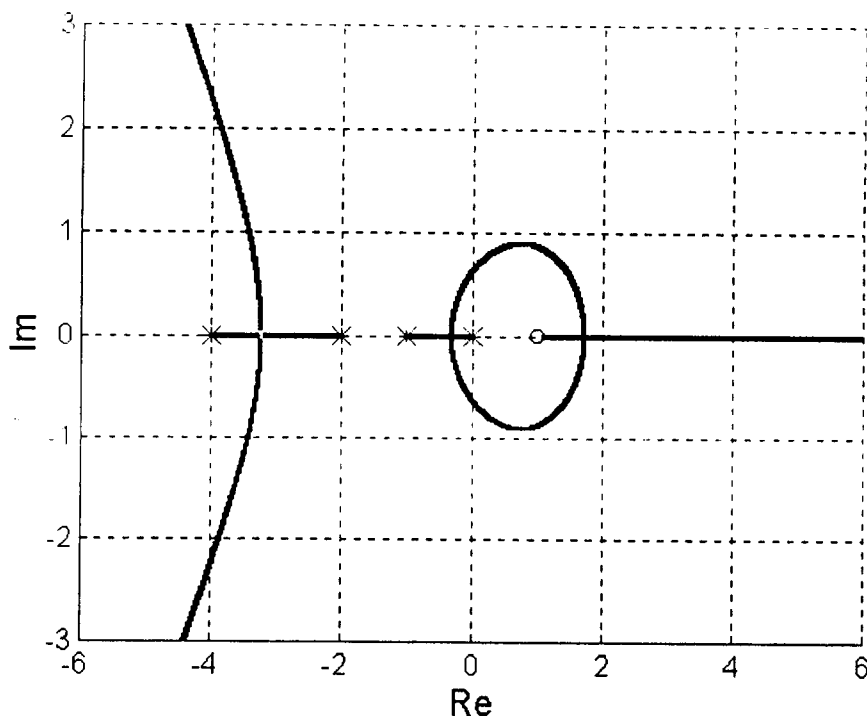
برای پایداری نیز از جدول روث داریم

$$90 - k > 0, \quad -k^2 + 131k + 720 > 0, \quad -7k > 0.$$

و لذا برای یک سیستم پایدار باید داشته باشیم

$$0 < k_1 < 0/66$$

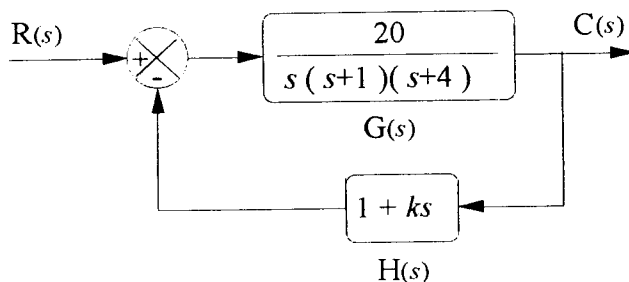
با توجه به نکات داده شده، مکان ریشه به صورت داده شده در شکل ۲۱-۴ می‌باشد.



شکل ۲۱-۴ مکان ریشه مثال ۱۲-۴-۴ برای  $k_1 > 0$  و  $k > 0$

قاعده ۱۰: رسم مکان ریشه هنگامیکه پارامتر متغیر  $k$  به صورت یک بهره ضرب شونده در تابع تبدیل ظاهر نشده است.

تذکر این نکه لازم است که سیستم‌هایی که تاکنون در نظر گرفته شده‌اند، سیستم‌های کنترلی با فیدبک واحد بوده‌اند. اگر سیستم کنترل همانطور که در شکل ۲۲-۴ نشان داده شده است، فیدبک غیر واحد ( $H$ ) داشته باشد، آنگاه تمامی قواعد ذکر شده در این بخش را



شکل ۲۲-۴ سیستم کنترل مثال ۱۳-۴-۴

می‌توان بدون تغییر برای تابع تبدیل حلقه - باز  $G(s)H(s)$  اعمال کرد. دقت کنید که تابع تبدیل حلقه - بسته سیستم عبارتست از

$$(13-4-4) \quad \frac{C(s)}{R(s)} = \frac{G(s)}{1 + G(s)H(s)}$$

و لذاز معادله (۱۳-۴-۴)، معادله مشخصه سیستم حلقه - بسته عبارتست از

$$(14-4-4) \quad 1 + G(s)H(s) = 0$$

بنابراین شرایط دامنه و زاویه و قواعد داده شده را می‌توان بدون تغییر همانند قبل برای  $G(s)H(s)$  به جای  $G(s)$  (بافیدبک واحد) بیان کرد.

در اینجا حالتی را در نظر مسیگیریم که در آن  $G(s)H(s)$  را نتوان به صورت معادله (۶-۳-۴) نوشت، به عبارت دیگر بهره متغیر  $k$ ، به صورت یک عامل ضرب شونده در تابع تبدیل حلقه - باز  $G(s)H(s)$  ظاهر نمی‌شود. راه حل کلی در این چنین مواردی نوشتن معادله مشخصه حلقه - بسته سیستم به صورتی است که  $k$  به صورت یک عامل ضرب کننده  $G(s)H(s)$  ظاهر شود. برای نشان دادن این مطلب به مثال ۱۳-۴-۴ توجه کنید.

#### مثال ۱۳-۴-۴

سیستم حلقه - بسته نشان داده شده در شکل ۲۲-۴ را در نظر بگیرید. مکان ریشه سیستم حلقه - بسته را رسم کنید.

تابع تبدیل حلقه - باز سیستم عبارتست از

$$G(s)H(s) = \frac{20(1+ks)}{s(s+1)(s+4)}$$

بدیهی است که پارامتر بهره  $k$  به صورت یک عامل ضرب شونده در تابع تبدیل حلقه - باز سیستم ظاهر نشده است. معادله مشخصه سیستم حلقه - بسته به صورت زیر است

$$1 + \frac{20(1+ks)}{s(s+1)(s+4)} = 0$$

و یا

$$s^3 + 5s^2 + 4s + 20 + 20ks = 0$$

نخست تعریف کنید

$$k_1 = 20k$$

سپس طرفین معادله مشخصه حلقه - بسته را بر حاصل جمع عباراتی که بهره متغیر  $k$  را در بر نمی‌گیرند، تقسیم کنید و بدین ترتیب بدست می‌آوریم

$$1 + \frac{k_1 s}{s^3 + 5s^2 + 4s + 20} = 0$$

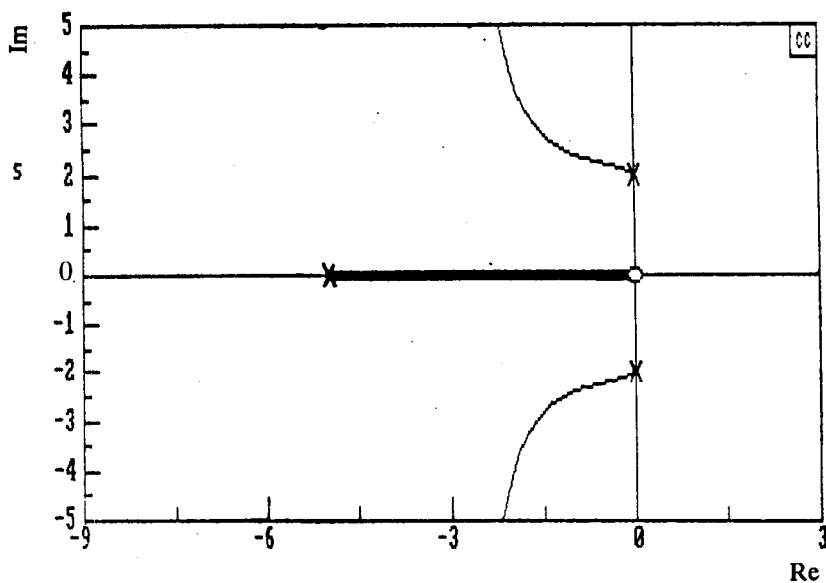
معادله بالا اکنون به صورت در نظر گرفته شده در قبل است، که در آن

$$G(s)H(s) = \frac{s}{s^3 + 5s^2 + 4s + 20}$$

قطبهای حلقه - باز عبارتند از  $5^\circ \pm 2^\circ$ . همچنین سیستم حلقه - باز یک صفر در  $0^\circ$  و دو صفر در بی‌نهایت دارد. با اعمال قواعد داده شده داریم که محور حقیقی منفی  $0^\circ$  و  $5^\circ$ - جزء مکان ریشه می‌باشد، زاویه مجانبها مکان ریشه  $90^\circ \pm 90^\circ$  و نقطه قطع آنها با محور حقیقی در  $2/5$ - می‌باشد. همچنین زاویه خروج از قطب مختلف در  $2^\circ$  برابر با  $158/2^\circ$  و در  $2^\circ$ - برابر با  $158/2^\circ$ - است. شکل ۴-۲۳ مکان ریشه این سیستم را نشان می‌دهد.

#### ۵-۴ نمودارهای مسیرهای ریشه

در رسم مکان ریشه، ارایه شده در بخشها قبل، بهره قابل تغییر سیستم حلقه - باز  $k$  و یا یک بهره قابل تنظیم در یکی از بلوک‌های سیستم کنترل، تنها متغیر در معادله مشخصه سیستم



شکل ۲۳-۴ مکان ریشه مثال ۴-۲

حلقه - بسته بود. بسیاری از سیستم‌های کنترل در عمل بیش از یک بهره قابل تغییر و قابل تنظیم دارند و لذا بررسی ریشه‌های سیستم حلقه - بسته برای تغییر همزمان این پارامترها از اهمیت خاصی برخوردار است. اگر در سیستمی دو پارامتر (یا بیشتر) تغییر کنند، مکان ریشه متناظر را مسیرهای ریشه<sup>۱</sup> می‌نامند.

معادله زیر را در نظر بگیرید

$$a(s) + k_1 b_1(s) + k_2 b_2(s) = 0 \quad (1-5-4)$$

که در آن  $k_1$  و  $k_2$  پارامترهای متغیر و  $a(s)$  و  $b_1(s)$  و  $b_2(s)$  چند جمله‌ایهایی از  $s$  هستند.

اگر در معادله (۱-۵-۴)،  $k_2$  را برابر صفر قرار دهیم داریم

$$a(s) + k_1 b_1(s) = 0 \quad (2-5-4)$$

و یا

$$1 + k_1 \frac{b_1(s)}{a(s)} = 0 \quad (3-5-4)$$

معادله (۴-۵-۳)، نشان دهنده معادله مشخصه یک سیستم حلقه - بسته با تابع تبدیل حلقه - باز  $(s)/a(s)$  است، و رسم مکان ریشه آن با تغییر  $k_r$  بسادگی همانند قبل امکان پذیر است (معادله (۴-۵-۳) را با معادله (۴-۴-۱) مقایسه کنید). اکنون مقدار پارامتر  $k_r$  را ثابت فرض کرده و معادله (۴-۵-۱) را بر  $a(s)+k_r b_r(s)$  تقسیم می‌کنیم. درین

$$1 + \frac{k_r b_r(s)}{a(s) + k_r b_r(s)} = 0 \quad (4-5-4)$$

معادله (۴-۵-۴) به صورت معادله مشخصه یک سیستم حلقه - بسته است، که در آن  $1 + k_r G_r(s) H_r(s) = 0$

$$G_r(s) H_r(s) = \frac{b_r(s)}{a(s) + k_r b_r(s)} \quad (5-5-4)$$

تابع تبدیل حلقه - باز آن است. مسیرهای ریشه معادله (۱-۵-۱)، هنگامیکه  $k_r$  تغییر کند ولی  $k_r$  ثابت باشد، براساس تشکیلات قطب - صفر تابع تبدیل حلقه - باز داده شده با معادله (۵-۵-۴) ساخته می‌شود. توجه کنید که قطبها  $G_r(s) H_r(s)$  همان ریشه‌های معادله (۲-۵-۴) هستند.

بنابراین، مسیرهای ریشه معادله (۱-۵-۴)، هنگامیکه  $k_r$  تغییر می‌کند باید همگی از نقاطی بر روی مکان ریشه معادله (۲-۵-۴) آغاز شوند. (نقطاط شروع متناظر با  $= 0$  هستند) با استفاده از مثال زیر، مفاهیم ارایه شده نشان داده می‌شوند.

#### مثال ۱-۵-۴

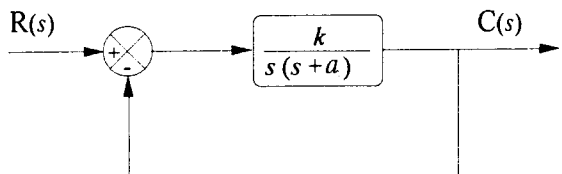
سیستم نشان داده شده در شکل ۱-۵-۴ را در نظر بگیرید. در این سیستم علاوه بر بهره  $k_r$  پارامتر  $a$  نیز تغییر می‌کند. تابع تبدیل سیستم حلقه - بسته عبارتست از

$$\frac{C(s)}{R(s)} = \frac{k}{s^2 + as + k}$$

و معادله مشخصه آن عبارتست از

معادله مشخصه سیستم را به صورت زیر باز نویسی می‌کنیم

$$1 + \frac{as}{s^2 + k} = 0$$



شکل ۴-۲۴ سیستم حلقه - بسته مثال ۴-۵-۱

و با

$$\frac{as}{s^2+k} = -1$$

اگر بهره  $k$  را ثابت فرض کنیم، ریشه‌های حلقه - بسته را می‌توان بر حسب تغییرات  $a$  بدست آورد. مسیرهای ریشه سیستم را می‌توان با بکارگیری روش ارایه شده رسم مکان ریشه تعیین کرد.

مسیرهای ریشه به ازاء تغییرات پارامترهای  $a$  و  $k$  از  $0$  تا  $\infty$  بدست می‌آیند. این مسیرها از قطبها  $as/(s^2+k)$  آغاز شده و به صفرهای آن ختم خواهند شد. برای  $a=0$ ، معادله مشخصه سیستم حلقه - بسته عبارتست از

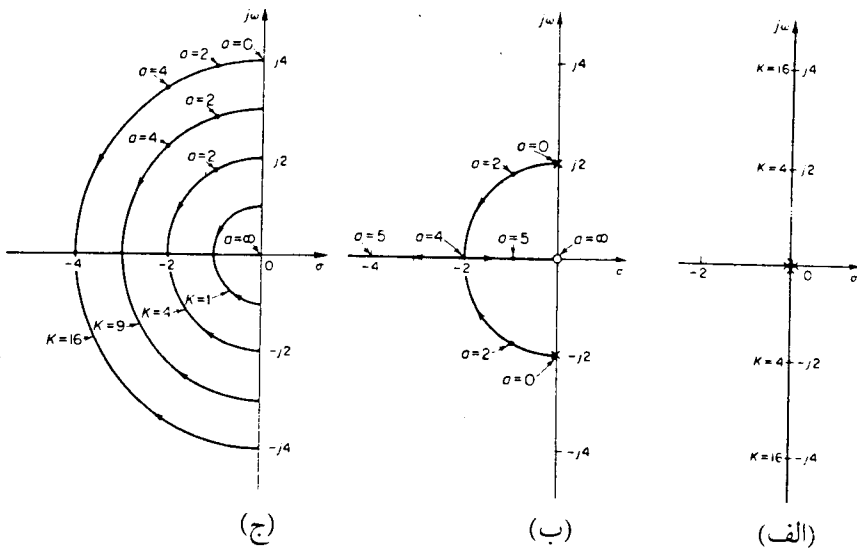
$$s^2+k=0$$

در این حالت دو قطب حلقه باز در مبدأ وجود دارد و مکان ریشه معادله  $-1/k$  در شکل ۴-۲۵ (الف) نشان داده شده است. برای رسم مسیرهای ریشه، فرض کنید که  $k$  در ۴ ثابت است. آنگاه داریم

$$\frac{as}{s^2+4} = -1$$

در این حالت قطبها حلقه - باز در  $\pm j\sqrt{2}$  قرار دارند و یک صفر محدود در مبدأ وجود دارد. مکان ریشه این معادله مشخصه در شکل ۴-۲۵-۴ (ب) نشان داده شده است. اگر  $k$  را تغییر دهیم، مکان ریشه مشابهی را می‌توان رسم نمود. مسیرهای ریشه این سیستم به ازاء تغییرات  $a$  از صفر تا بی‌نهایت در شکل ۴-۲۵-۴ (ج) نشان داده شده‌اند. بدینهی است که مسیرهای ریشه از قطبها آغاز می‌شوند و در صفرهای تابع تبدیل  $as/(s^2+k)$  خاتمه می‌یابند.

همانطور که مشاهده شد، برای رسم مسیرهای ریشه یکی از پارامترهای متغیر را ثابت نگه می‌داریم و دومی را تغییر می‌دهیم، سپس دومین پارامتر متغیر را ثابت نگه می‌داریم و اولی



شکل ۲۵-۴ (الف) مکان ریشه برای سیستم مثال ۱-۵-۴ برای  $a = 0$  و  $k \leq \infty$  (ب) مکان ریشه برای  $k = 4$  و  $a \leq \infty$  (ج) نمودار مسیرهای ریشه

راتغییر می‌دهیم، با بدست آوردن دو مکان ریشه برای سیستم، مسیرهای ریشه را بدست می‌آوریم.

### مسایل

۱-۱۰. (الف) مکان ریشه سیستم حلقه - بسته با فیدبک واحد که تابع تبدیل حلقه - باز آن در زیر داده شده است را رسم کنید.

$$G(s) = \frac{k(s+9)}{(s+1)^3}$$

(ب) اگر صفرهای حلقه - باز بجای  $-9/1$ - در  $-9/1$ - قرار گیرند، تأثیر این تغییر مکان صفرهای حلقه - باز را بر مکان ریشه بررسی کنید.

(ج) اگر صفرهای حلقه باز بجای  $-9/1$ - در  $-8/9$ - قرار گیرند، تأثیر این تغییر مکان صفرهای حلقه - باز را بر مکان ریشه بررسی کنید.

۴-۲. تابع تبدیل حلقه - باز یک سیستم حلقه - بسته با فیدبک واحد عبارتست از

$$G(s) = \frac{2/5k(s+2)}{(s-1)(s+1)}$$

(الف) مکان ریشه سیستم را رسم کنید.

(ب) محدوده بهره  $k$  برای پایداری را پیدا کنید.

۴-۳. تابع تبدیل حلقه - باز یک سیستم حلقه - بسته با فیدبک واحد عبارتست از

$$G(s) = \frac{k}{(1+0.5s)(1+0.2s)(1+s)^3}$$

مکان ریشه سیستم را رسم کنید.

۴-۴. تابع تبدیل حلقه - باز یک سیستم حلقه - بسته با فیدبک واحد عبارتست از

$$G(s) = \frac{k}{s(2.0s^2 + 1.0s + 1)(s+2)}$$

مکان ریشه سیستم را رسم کنید.

۴-۵. تابع تبدیل حلقه - باز یک سیستم حلقه - بسته با فیدبک واحد عبارتست از

$$G(s) = \frac{k(s+1)}{s^2(s^2 + 1.0s + 2.9)}$$

مکان ریشه سیستم را رسم کنید.

۴-۶. تابع تبدیل حلقه - باز یک سیستم حلقه - بسته با فیدبک واحد عبارتست از

$$G(s) = \frac{k}{s(s^2 + 2s + 2)(s^2 + 6s + 10)}$$

مکان ریشه سیستم را رسم کنید.

۴-۷. تابع تبدیل حلقه - باز یک سیستم حلقه - بسته با فیدبک واحد عبارتست از

$$G(s) = \frac{k}{s(s+1)(s+2)}$$

(الف) مکان ریشه سیستم را رسم کنید.

(ب) مقدار بهره  $k$  که قطب‌های مختلط حلقه - بسته با نسبت میرایی  $0/5 = \frac{k}{s}$  را بدست می‌دهد، تعیین کنید.

۸-۴. تابع تبدیل حلقه - باز یک سیستم حلقه - بسته با فیدبک واحد عبارتست از

$$G(s) = \frac{k}{s(s^2 + 8s + 20)}$$

(الف) مکان ریشه سیستم را رسم کنید.

(ب) مقدار بهره  $k$  را به گونه‌ای تعیین کنید که قطب‌های مختلط حلقه - بسته نسبت میرایی  $0/58 = \frac{k}{s}$  داشته باشند.

۹-۴. تابع تبدیل حلقه - باز یک سیستم حلقه - بسته با فیدبک واحد عبارتست از

$$G(s) = \frac{k}{s(1+0/02s)(1+0/01s)}$$

(الف) مکان ریشه سیستم را رسم کنید.

(ب) مقدار بهره  $k$  که سیستم را ناپایدار می‌کند، تعیین کنید.

(ج) از مکان ریشه، آن مقدار  $k$  که به ازاء آن قطب‌های حلقه - بسته نسبت میرایی  $0/5 = \frac{k}{s}$  داشته باشند را تعیین کنید.

(د) برای بهره بدست آمده از (ج) خطای سیستم به ورودی شبی را تعیین کنید.

۱۰-۴. مسئله ۹-۴ را برای تابع تبدیل حلقه - باز زیر تکرار کنید

$$G(s) = \frac{100k}{s(s^2 + 12s + 25)}$$

۱۱-۴. تابع تبدیل حلقه - باز یک سیستم حلقه - بسته با فیدبک واحد عبارتست از

$$G(s) = \frac{k(s+10)}{s(s+1)(s+2)}$$

(الف) مکان ریشه سیستم را رسم کنید.

(ب) مقدار بهره  $k$  که سیستم را ناپایدار می‌کند، تعیین کنید.

(ج) تابع تبدیل حلقه - بسته سیستم را برای  $\omega = \frac{\pi}{3}$  بدست آورید.

۱۲-۴- مسئله ۱۱-۴ را برای تابع تبدیل حلقه - باز زیر تکرار کنید:

$$G(s) = \frac{k(1 + 0/\omega s)}{s^2(1 + 0/\omega s)(1 + 0/\omega s + 0/\omega^2)}$$

۱۳-۴- (الف) مکان ریشه سیستم حلقه - بسته با فیدبک غیر واحد را رسم کنید، که در آن

$$G(s) = \frac{k(1+s/0)}{s^2(1+s/12)}$$

تابع تبدیل حلقه - باز و

$$H(s) = 1 + \frac{s}{12}$$

تابع تبدیل عنصر فیدبک آن می‌باشد.

(ب) با فرض یک مقدار پایدار بهره  $k$  و ورودی پله واحد، مقدار پاسخ حالت -

ماندگار سیستم را بدست آورید.

۱۴-۴- مسئله ۱۳-۴ را برای توابع تبدیل زیر تکرار کنید

$$G(s) = \frac{k}{s^2 + 2s + 2}$$

و

$$H(s) = \frac{1}{s(s+1)}$$

۱۵-۴- تابع تبدیل حلقه - باز یک سیستم حلقه - بسته با فیدبک واحد عبارتست از

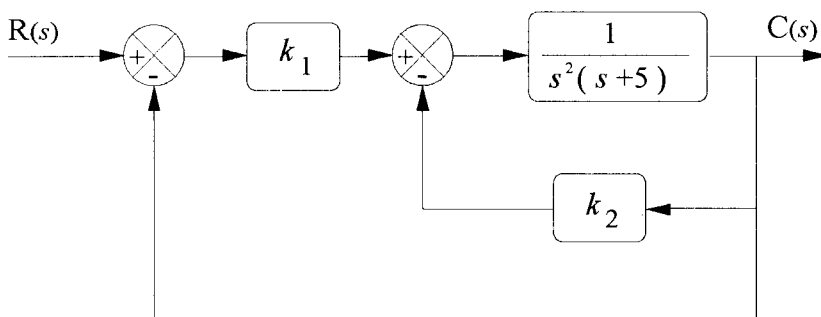
$$G(s)H(s) = \frac{k}{(s+5)(\omega/4s + 1/2)(\omega/5s^2 + 2s + 4)}$$

با رسم مکان ریشه، مقدار بهره  $k$  را چنان تعیین کنید تا سیستم حلقه - بسته یک نوسان

کننده کامل<sup>۱</sup> باشد.

۱۶-۴. سیستم کنترل فیدبک نشان داده شده در شکل ۲۶-۴ را در نظر بگیرید. (الف) مکان ریشه سیستم حلقه - بسته را برای  $k_1 = \infty$  و  $k_2 = 0$  رسم کنید.

(ب) برای  $k_1 = 0$  و  $k_2 = \infty$  مکان ریشه حلقه - بسته را رسم کنید.



شکل ۲۶-۴ سیستم کنترل مسئله ۱۶-۴

۱۷-۴.تابع تبدیل حلقه - باز یک سیستم حلقه - بسته با فیدبک واحد عبارتست از

$$G(s) = \frac{k(1+Ts)}{s(s+1)(s+2)}$$

نمودار مسیرهای ریشه را برای تغییرات پارامترهای  $k$  و  $T$  از صفر تا بینهایت رسم کنید.

۱۸-۴. تابع تبدیل حلقه - باز یک سیستم حلقه - بسته با فیدبک واحد عبارتست از

$$G(s) = \frac{k}{s(s+1)(s+a)}$$

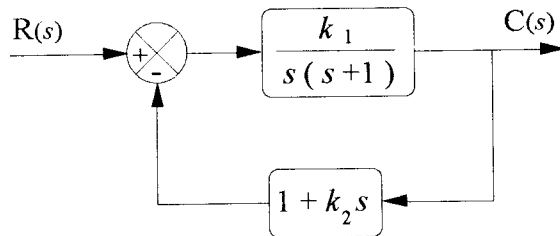
نمودار مسیرهای ریشه را برای تغییرات پارامترهای  $k$  و  $a$  از صفر تا بینهایت رسم کنید.

۱۹-۴. سیستم نشان داده شده در شکل ۲۷-۴ را در نظر بگیرید. (الف) برای  $k_1 = 0$  و

تغییرات  $k_2$  از صفر تا بینهایت مکان ریشه را رسم کنید. (ب) نمودار مسیرهای ریشه

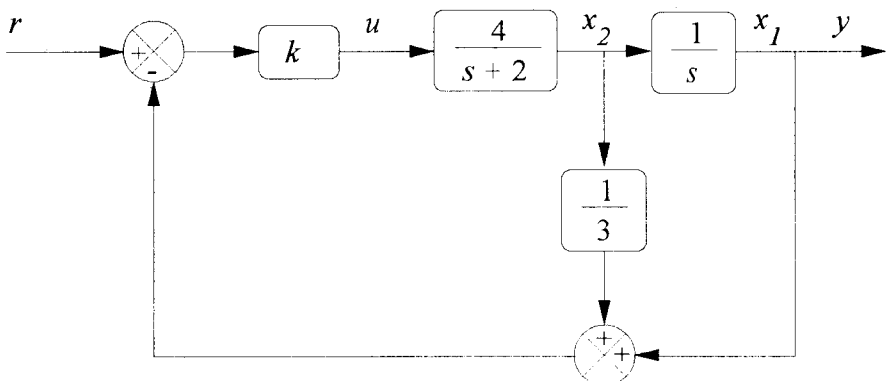
را برای تغییرات  $k_1$  و  $k_2$  از صفر تا بینهایت رسم کنید. (ج) قطبهاي حلقه - بسته را بر

روی مسیرهای ریشه برای  $k_1 = 0$  و  $k_2 = 0/5$  بدست آورید.



شکل ۲۷-۴ سیستم مسئله ۱۹-۴

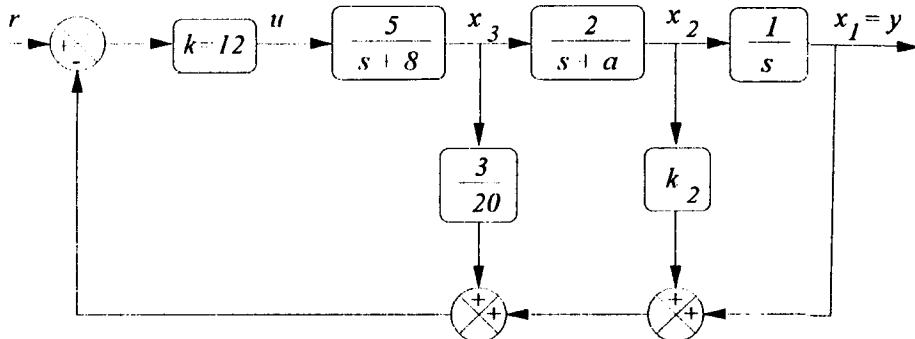
.۲۰-۴- مکان ریشه سیستم نشان داده شده در شکل ۲۸-۴ را رسم کنید.



شکل ۲۸-۴ سیستم مسئله ۲۰-۴

.۲۱-۴- سیستم نشان داده شده در شکل ۲۹-۴ را در نظر بگیرید. (الف) مکان ریشه سیستم را برای  $a=2$  و  $k_2=\frac{17}{6}$  رسم کنید. (ب) تغییرات در مکان ریشه را به ازاء تغییرات در  $a$  و  $k_2$  تعیین کنید.

.۲۲-۴- سیستم کنترل نشان داده شده در شکل ۳۰-۴ را در نظر بگیرید. (الف) مکان ریشه را برای  $G(s)=\frac{k}{s(s+4)}$  و  $D(s)=1$  رسم کنید. (ب) مکان ریشه را برای  $G_c(s)=\frac{s+2}{s+6}$  و  $D(s)=\frac{s+2}{s+6}$  رسم کرده و تأثیر  $G_c(s)$  را بر مکان ریشه سیستم بررسی کنید.



شکل ۴-۲۹ سیستم مسئله ۲۱-۴

۲۳-۴ - سیستم نشان داده شده در شکل ۴-۳۰ را در نظر بگیرید. برای

$$D(s) = \frac{s+b}{s+4}, \quad G(s) = \frac{10k}{s(s+1)(s+4)}$$

با بکارگیری مکان ریشه، مقادیر  $k$  و  $b$  که قطب‌های غالب حلقه - بسته  $j\omega = 1 \pm \sqrt{2}$  را می‌دهند، تعیین کنید.

۲۴-۴ - سیستم نشان داده شده در شکل ۴-۳۰ را در نظر بگیرید. برای

$$D(s) = \frac{s+b}{s+4}, \quad G(s) = \frac{1}{s(s+1)}$$

مکان ریشه سیستم را برای حالتهای زیر رسم کرده و ناپایداری سیستم حلقه - بسته را در هر حالت بررسی کنید:

$$1 < b < a$$

حالت دوم:

$$1 < a < b$$

حالت اول:

$$a < b < 1$$

حالت چهارم:

$$b < a < 1$$

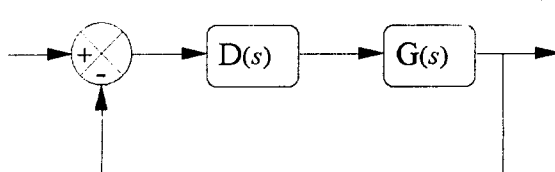
حالت سوم:

$$b < 1 < a$$

حالت ششم:

$$a < 1 < b$$

حالت پنجم:



شکل ۴-۳۰ یک سیستم کنترل.

## مراجع فصل چهارم

- [4-1] Evans, W. R, *Graphical analysis of control systems*, Trans. AIEE, Vol. 67, pp 547-551, 1948.
- [4-2] Evans, W. R, *Control systems synthesis by the root locus method*, Trans. AIEE, Vol. 69, pp 66, 1950.
- [4-3] Evans W. R, *Control systems dynamics*, New York, McGraw-Hill, 1954.
- [4-4] Chang C. S., *Analytical Method for obtaining the root-locus with positive and negative gain*, IEEE Trans. Autom. Control, Vol. AC-10, pp 92-44, 1965
- [4-5] Yeh V. C. M, *The study of transients in linear feedback systems by conformal mapping and root-locus method*, Trans. ASME, Vol 76, pp 349-361, 1954.
- [4-6] Lorens C. S. and Titsworth R.C., *Properties of root locus asymptotes*, IRE Trans. Automatic. Control, AC-5, pp 71-72, Jan 1960.
- [4-7] Remec M. J., *Saddle-points of a complete root locus and an algorithm for their easy location in the complex frequency plane*, Proc. Natl. Electronic conf., Vol. 21, pp 605-608, 1965.
- [4-8] Chen C. F., *A new rule for finding breaking points of root loci involving complex roots*, IEEE Trans. Automatic control, AC-10, pp 373-374, July 1965.
- [4-9] Krishnan V., *Semi-analytic approach to root locus*, IEEE Trans. Automatic control, Vol. AC-11, pp 102-108, Jan 1968.
- [4-10] Doda D. J., *The digital computer makes root locus easy*, Control Eng., May 1958.

- [4-11] Klagsbrunn Z. and Wallach Y., *On computer implementation of analytic root-locus plotting*, IEEE Trans. Automatic control, Vol AC-13, pp 744-745, Dec. 1968.
- [4-12] Ash R. H. and Ash G. R., *Numerical computation of root loci using the Newton-Raphson technique*, IEEE Trans. Automatic control, Vol AC-13, pp 576-582, Oct. 1968.
- [4-13] Haung R. Y., *The sensitivity of the poles of linear closed-loop systems*, Trans. AIEE Appl. Ind. Vol. 77, Part 2, pp 182-187, Sep. 1958.
- [4-14] Ur H., *Root-locus properties and sensitivity relations in control systems*, IRE Trans. Automatic control, Vol AC-5, pp 57-65, Jan 1960.
- [4-15] CHu Y., *Feedback control system with dead-time or distributed lag by root-locus method*, Trans. AIEE, Vol. 70, Part 2, PP 291, 1951.
- [4-16] Yeung K. S., *A remark on the use of Reme's method for finding breakaway points*, IEEE Trans. Automatic control, Vol. AC-26, pp 940-941, 1981.

## کتاب شناسی

روش مکان ریشه برای تحلیل و طراحی سیستم‌های کنترل توسط ایوانز ارایه شده است. منابع اولیه در این زمینه، مراجع [4-1] ، [4-2] و [4-3] هستند. بکارگیری قواعد مرحله به مرحله برای ترسیم سریعتر و دقیق‌تر مکان ریشه، در مراجعی مانند [4-4] ، [4-5] ، [4-6] ، [4-7] ، [4-8] و [4-9] پایه‌گذاری شده و امروزه در اکثر کتابهای درسی کنترل سیستم‌های خطی به طور مفصل و دقیق ارایه شده‌اند. هر کدام از مراجع پایان کتاب [1] تا [6] می‌توانند برای این منظور به کار گرفته شوند. در [3] رسم مکان ریشه برای بهره‌های منفی  $\omega < k$  به طور مفصل، همزمان با رسم برای بهره‌های مثبت (که در این فصل مورد بررسی قرار گرفت)، ارایه شده است، هم‌چنین می‌توان به مرجع [4-4] نیز مراجعه کرد.

در [1] و [4-16] تعابیری برای توجیه نقاط برشکست و درشکست و وجود آنها در مکان ریشه برحسب بهره حلقه - باز سیستم  $k$  آمده است. در مرجع [1] ، علاوه‌بر قواعد ذکر شده در این فصل برای ترسیم مکان ریشه، قواعد تکمیلی برای تعیین تلاقی و یا عدم تلاقی مجاینهای مکان ریشه، بقاء مجموع ریشه‌های سیستم و تعیین ریشه‌ها بر روی مکان ریشه آمده است. یکی از کاربردهای فرعی مکان ریشه، تعیین ریشه‌های یک چند جمله‌ای است. این کاربرد در مراجع [2] و [9] با ذکر مثالهای آورده شده است. از کاربردهای دیگر مکان ریشه تحلیل حساسیت ریشه‌ها است. مراجع [4-13] و [4-14] ، از اولین منابع در این زمینه می‌باشند. کتابهای [4] ، [9] و [3] با این مسئله به طور ساده و نسبتاً کاملی برخورد داشته‌اند. اگر بنایه دلایلی در سیستم حلقه - بسته حذف صفر و قطبی رخ دهد، اثر این حذف و تحلیل آن توسط مکان ریشه در مراجع [2] و [8] آمده است.

با توجه به پیشرفت چشمگیر در زمینه طراحی سیستم‌های کنترل به کمک کامپیوتر، استفاده از نرم‌افزارهای مناسب برای تحلیل و طراحی سیستم‌های کنترل از اهمیت ویژه‌ای برخوردار است. مراجع [4-10] ، [4-11] و [4-12] را شاید بتوان از پیشگامان روش‌های ترسیم مکان ریشه توسط کامپیوتر داشت. لیکن امروزه از نرم‌افزارهای Matlab، ACSP و یا CC همراه با کتاب [3] و بسیاری از نرم‌افزارهای دیگر می‌توان برای ترسیم کامپیوتری مکان ریشه سود جست.

بسیاری از سیستم‌های صنعتی دارای تأخیر زمانی<sup>۱</sup> می‌باشند، برای قواعد ترسیم مکان ریشه برای سیستم‌های تأخیردار به مراجع [۱-۱۵] ، [۱] ، [۲] ، [۳] ، [۹] و یا [۱۱] مراجعه شود. مرجع [۱۱] عمیق‌تر از سایر مراجع به این موضوع پرداخته است.

برای ترسیم مکان ریشه سیستم‌های زمان - گستته<sup>۲</sup> در تحلیل و طراحی سیستم‌های کنترل دیجیتال تقریباً (بجز محدوده پایداری) می‌توان قواعد ارایه شده در این بخش را به همین صورت بکار بست. ترسیم مکان هندسی ریشه‌های سیستم‌های زمان - گستته در [۲۶] به تفصیل آورده شده است.

1- Time delay

2- Discrete-time

# ۵

## تحلیل پاسخ فرکانسی

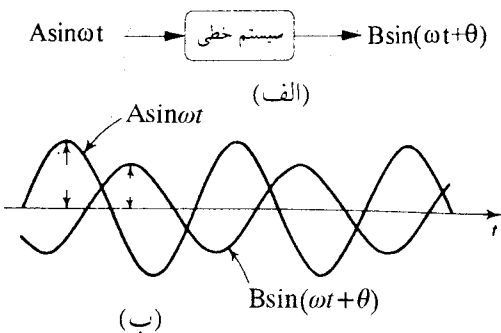
اهداف فصل:

- ۱- آشنایی با ایده تحلیل پاسخ فرکانسی سیستم‌های خطی
- ۲- رسم مشخصه‌های پاسخ فرکانسی تابع تبدیل به صورت نمودارهای دامنه و فاز بر حسب فرکانس: دیاگرام بود
- ۳- دیاگرام بود توابع تبدیل سیستم‌های خطی
- ۴- آشنایی با سیستم‌های غیر می‌نیم فاز و سیستم‌های تأخیردار
- ۵- کاربرد دیاگرام‌های بود در شناسایی توابع تبدیل سیستم‌های نامعلوم
- ۶- نمودارهای نایکوئیست: نمودار دامنه بر حسب زاویه فاز
- ۷- نمودارهای نایکوئیست سیستم‌های نوع صفر، یک و دو
- ۸- تحلیل پایداری سیستم‌های خطی با نمودارهای نایکوئیست: معیار پایداری نایکوئیست
- ۹- نمودارهای معکوس نایکوئیست و معیار پایداری
- ۱۰- حاشیه بهره و حاشیه فاز در نمودارهای نایکوئیست
- ۱۱- چارت نیکولز و پاسخ فرکانسی سیستم حلقه - بسته
- ۱۲- مشخصه‌های عملکرد سیستم براساس پاسخ فرکانسی

## ۱-۵ مقدمه

در بررسی سیستم‌های کنترل خطی به روش کلاسیک، دو شیوه اساسی برای تحلیل و بهبود عملکرد سیستم وجود دارد که بدون حل معاملات دیفرانسیل حاکم بر سیستم عمل می‌کنند. یکی از این روشها مکان ریشه است که در فصل چهارم مفصلًاً تراویه گردید. تحلیل و طراحی سیستم کنترل در روش آنکه ریشه، با بررسی رفتار ریشه‌های حلقه - بسته در صفحه  $\omega$  در پاسخ به تغییر پارامتری در سیستم انجام می‌پذیرد. این پارامتر همانطور که در فصل قبل مشاهده شد، عموماً بهره سیستم حلقه - باز است. لیکن هر پارامتر دیگری از سیستم نیز می‌تواند باشد. تحلیل پاسخ فرکانسی<sup>۱</sup> روش دیگری است که در این فصل به بررسی آن خواهیم پرداخت. در تحلیل پاسخ فرکانسی برخلاف مکان ریشه، بهره سیستم و سایر پارامترهای آن ثابت فرض شده، تغییرات دامنه<sup>۲</sup> و فاز<sup>۳</sup> تابع تبدیل ( $G$ ) در پاسخ به تغییرات قطبهای تابع تبدیل در نظر گرفته می‌شود.

توجه کنید که هر قطب در صفحه  $\omega$  از یک قسمت حقیقی و یک قسمت موهومی تشکیل می‌شود، به عبارت دیگر  $\sigma+j\omega = \sigma + j\omega$  و یک حالت بسیار مهم هنگامی است که  $\sigma = 0$  و یا  $s = j\omega$ . همانطور که از شکل ۱-۵ (الف) و (ب) مشاهده می‌شود و از تئوری سیستم‌های خطی می‌دانیم، پاسخ یک سیستم خطی پایدار به ورودی سینوسی  $u(t) = A \sin(\omega t)$  که در آن  $A$  اندازه ورودی است، خود نیز سینوسی است. به عبارت دیگر،  $y(t) = B \sin(\omega t + \theta)$  که در



شکل ۱-۵ (الف) سیستم خطی (ب) سیگنال‌های ورودی و خروجی

1- Frequency response

2- Magnitude

3- Phase

آن  $B$  اندازه خروجی است و  $\theta$  نیز اختلاف فاز بین سیگنال‌های ورودی و خروجی می‌باشد.  
برای نشان دادن این مطلب، سیستم خطی در نظر گرفته شده را با تابع تبدیل  $G(s)$  نشان دهد.  
پاسخ حالت - ماندگار یک سیستم خطی پایدار تغییر نایدیگر با زمان به ورودی سینوسی،  
به شرایط اولیه بستگی ندارد و از این‌رو می‌توان شرایط اولیه سیستم را صفر فرض کرد (به  
فصل دوم مراجعه شود). تبدیل لاپلاس سیگنال ورودی  $u(t) = A \sin \omega t$  برابر است با

$$U(s) = \mathcal{L}(u(t)) = \frac{\omega A}{s^2 + \omega^2} \quad (1-1-5)$$

ولذا تبدیل لاپلاس خروجی عبارتست از

$$Y(s) = G(s) \frac{\omega A}{s^2 + \omega^2} \quad (2-1-5)$$

دو حالت را می‌توان برای  $Y(s)$  در نظر گرفت. در حالت اول قطب‌های  $Y(s)$  متمایز و در حالت دوم قطب‌های  $Y(s)$  مکرر را نیز شامانی می‌شوند. این دو حالت را به طور جداگانه بررسی می‌کنیم.

حالت اول: اگر قطب‌های  $Y(s)$  متمایز باشند، معادله (1-1-5) را می‌توان بدین صورت نوشت

$$Y(s) = \frac{b(s)}{(s+p_1)(s+p_2)\dots(s+p_n)} \frac{\omega A}{s^2 + \omega^2} \quad (3-1-5)$$

که در آن  $(s)$  جند جمله‌ای صفر تابع تبدیل و  $p_1, \dots, p_n$  قطب‌های  $G(s)$  هستند.  
بسط کسرهای جزیی معادله (3-1-5) خواهد داد

$$Y(s) = \frac{a}{s+j\omega} + \frac{\bar{a}}{s-j\omega} + \frac{b_1}{s+p_1} + \frac{b_2}{s+p_2} + \dots + \frac{b_n}{s+p_n} \quad (4-1-5)$$

که در آن  $a$  و  $\bar{a}$  ( $i=1, \dots, n$ ) ثابت‌های مناسب و  $\bar{a}$  مختلط مزدوج  $a$  است. دقت کنید که دو عبارت اول سمت راست معادله (4-1-5) از ورودی و عبارات باقی مانده از تابع تبدیل سیستم بدست آورده شده‌اند. با گرفتن عکس تبدیل لاپلاس از معادله (4-1-5)، برای  $t \geq 0$  بدست می‌آوریم

$$y(t) = a e^{-j\omega t} + \bar{a} e^{j\omega t} + b_1 e^{-p_1 t} + b_2 e^{-p_2 t} + \dots + b_n e^{-p_n t} \quad (5-1-5)$$

برای یک سیستم پایدار قطبهای  $i = 1, \dots, n$  قسمت‌های حقیقی منفی خواهند داشت. بنابراین با میل کردن به سمت بی‌نهایت، عبارات  $e^{-p_i t}$  ( $i = 1, \dots, n$ ) به سمت صفر میل خواهد کرد. لذا، کلیه عبارات در معادله (۴-۱-۵) بجز دو عبارات اول در حالت - ماندگار صفر خواهند شد.

حالت دوم: اگر  $G(s)$  علاوه بر قطبهای متمایز قطبهای مکرر نیز داشته باشد.ین قطب را  $p_j$  نشان داده و با تعدد  $m_j$  فرض می‌کنیم. در این صورت با عکس تبدیل لاپلاس از

$$Y(s) = \frac{b(s)}{(s+p_1) \dots (s+p_n)} \frac{\omega A}{s^m + \omega^2} \quad (4-1-5)$$

y(t) شامل عباراتی مانند  $t^{m_j} e^{-p_j t}$  خواهد بود. که در آن  $j = ۰, ۱, \dots, m_j - ۱$ . برای یک سیستم پایدار عبارات  $t^{m_j} e^{-p_j t}$  به ازاء  $t$  به سمت بی‌نهایت، به سمت صفر میل خواهند کرد. از بررسی دو حالت ۱ و ۲ در می‌بایس که در هر دو حالت، پاسخ حالت - ماندگار به صورت زیر خواهد بود:

$$y_{ss}(t) = ae^{-j\omega t} + \bar{a}e^{j\omega t} \quad (4-1-5)$$

که در آن ثابت  $a$  را از معادله (۴-۱-۵) بدین صورت تعیین می‌کنیم

$$a = G(s) \frac{\omega A}{s^m + \omega^2} (s + j\omega) \Bigg|_{s=-j\omega} = -\frac{AG(-j\omega)}{j\omega} \quad (4-1-5)$$

و همچنین

$$\bar{a} = G(s) \frac{\omega A}{s^m + \omega^2} (s - j\omega) \Bigg|_{s=j\omega} = \frac{AG(j\omega)}{j\omega} \quad (4-1-5)$$

از آنجاییکه  $G(j\omega)$  یک کمیت مختلط است، می‌توان آنرا به صورت قطبی زیر نوشت

$$G(j\omega) = |G(j\omega)| e^{j\theta} \quad (4-1-5)$$

که در آن  $|G(j\omega)|$  نشان دهنده دامنه  $G(j\omega)$  و  $\theta$  نشان دهنده زاویه  $G(j\omega)$  است.

به عبارت دیگر

$$\theta = \angle G(j\omega) = \tan^{-1} \left[ \frac{\text{قسمت موهومی}}{\text{قسمت حقیقی}} \right] \quad (11-1-5)$$

توجه کنید که  $\theta$  می تواند منفی، مثبت و یا صفر باشد. همچنین

$$G(j\omega) = |G(j\omega)| e^{-j\theta} = |G(j\omega)| e^{-j\theta} \quad (12-1-5)$$

از معادله های (۷-۱-۵)، (۸-۱-۵)، (۹-۱-۵)، (۱۰-۱-۵) و (۱۲-۱-۵) بدست می ازیم

$$\begin{aligned} y_{ss}(t) &= A |G(j\omega)| \frac{e^{j(\omega t + \theta)} - e^{-j(\omega t + \theta)}}{2j} \\ &= A |G(j\omega)| \sin(\omega t + \theta) \\ &= B \sin(\omega t + \theta) \end{aligned} \quad (13-1-5)$$

که در آن  $B = A |G(j\omega)|$

بنابراین یک سیستم خطی تغییر ناپذیر با زمان پایدار تحت ورودی سینوسی، در حالت ماندگار نیز یک خروجی سینوسی با همان فرکانس دارد و تنها در حالت کلی دامنه و فاز سیگнал خروجی با دامنه و فاز سیگнал ورودی تفاوت خواهد داشت. در واقع دامنه خروجی برابر با حاصلضرب دامنه سیگнал ورودی  $A$  و اندازه تابع تبدیل  $|G(j\omega)|$  است و اختلاف زاویه فاز سیگнал ورودی و خروجی برابر با  $\theta = \angle G(j\omega)$  می باشد. (به شکل ۱-۱-۱ مراجعه کنید).

به خروجی سیستم در این حالت پاسخ فرکانسی و به تابع  $G(j\omega)$  تابع تبدیل سینوسی گفته می شود. توجه کنید که برای ورودی های سینوسی داریم

$$|G(j\omega)| = \frac{B}{A}$$

$$\angle G(j\omega) = \text{انتقال فاز خروجی سینوسی نسبت به ورودی سینوسی}$$

مثال ۱-۵

تابع تبدیل زیر را در نظر بگیرید

$$G(s) = \frac{3}{s+2}$$

تابع تبدیل سینوسی و پاسخ فرکانسی این سیستم با جایگزینی  $s$  با  $j\omega$  بدست خواهد آمد، لذا

$$G(j\omega) = \frac{3}{j\omega + 2}$$

نابرابر با

$$|G(j\omega)| = \frac{3}{(\omega^2 + 4)^{1/2}}, \quad \angle G(j\omega) = -\tan^{-1} \left[ \frac{\omega}{2} \right]$$

داده‌های پاسخ فرکانسی این سیستم در جدول ۵-۱ نشان داده شده‌اند.

جدول ۵-۱ داده‌های پاسخ فرکانسی سیستم مثل ۵-۱

فرکانس $\omega$	$ G(j\omega) $	دامنه	$\angle G(j\omega)$
۰	۱/۵		۰
۲	۱/۰۶۱		-۴۵°
۱۰	۰/۲۹۴		-۷۸/۷۰°
$\infty$	۰		-۹۰°

تحلیل حوزه فرکانسی سیستم‌های خطی را می‌توان توسط روش‌های زیر اعمال کرد:

۱- دیاگرام‌های بود

۲- نمودارهای نایکوئیست (یا قطبی)

۳- چارت نیکولز

در بخش‌های بعد به توضیح تفصیلی این روشها خواهیم پرداخت.

## ۲-۵ دیاگرام‌های بود

هنگامی که دامنه ورودی یک سیستم خطی تغییر ناپذیر با زمان پایدار به صورت سینوسی با زمان تغییر می‌کند، خروجی آن بیز در حالت «ماندگار» به صورت سینوسی است. دامنه آن ضریبی از دامنه سیگنال ورودی است و ممکن است که اختلاف فازی وجود داشته باشد. اگر دامنه سیگنال ورودی ثابت نگه داشته شده باشد، دامنه بهینه خروجی و همچنین اختلاف فاز آن را می‌توان برای گستره‌ای از مقادیر فرکانسی پیدا کرد؛ از مقادیر بدست دامنه و اختلاف فاز بر حسب فرکانس می‌توان دو نمودار رسم کرد، بهمن ترتیب مسیر توان

مشخصه‌های تابع تبدیل سیستم را بر حسب پاسخ فرکانسی آن به صورت دو نمودار، یکی دامنه بر حسب فرکانس و دیگری فاز بر حسب فرکانس تعیین نمود. همانطور که خواهیم دید، روش بهتر و بسیار سریعتر رسم نمودارهای دامنه و یا فاز بر حسب فرکانس، استفاده از مقادیر لگاریتمی دامنه و رسم این نمودارها بر حسب لگاریتم فرکانس است. بکارگیری لگاریتم، ضرب و تقسیم عوامل را به جمع و تقسیم تبدیل می‌کند. به عبارت دیگر

$$\log ab = \log a + \log b$$

$$\log \frac{a}{b} = \log a - \log b$$

هم چنین داریم

$$\log a^x = x \log a$$

ایده بکارگیری این روش تحلیل پاسخ فرکانسی، نخستین بار توسط مهندسی بنام بود<sup>۱</sup> در طراحی آمپلی فایرها فیدبک مطرح گردید. بود با بکارگیری مقدار لگاریتمی دامنه بر روی یک مقیاس خطی و رسم آن بر حسب مقیاس غیر خطی لگاریتمی فرکانس، طراحیهای خود را انجام داد. این نمودارهای پاسخ فرکانسی را، هنگامی که با نمودارهای متناظر اختلاف فاز بر روی یک محور خطی بر حسب لگاریتم فرکانس ترکیب شوند نمودارهای بود<sup>۲</sup> می‌نمانتد. نمودارهای بود و یا به عبارت دیگر نمودارهای دامنه و فاز بر حسب لگاریتم فرکانس، بر روی کاغذهای نیمه لگاریتمی<sup>۳</sup> کشیده می‌شوند. در واقع محور عمودی دامنه یا فاز، به صورت خطی مقیاس بندی شده است و حال آنکه محور افقی به صورت غیر خطی با مقیاس لگاریتم فرکانس رسم شده است. بدین ترتیب می‌توان از گسترۀ فرکانسی بسیار و سریعتری نسبت به مقیاس خطی برای نمایش پاسخ فرکانسی استفاده کرد. از این‌رو فرکانس‌های پایین تر نیز دقیق‌تر و واضح‌تر نمایش داده می‌شوند.

تابع تبدیل یک سیستم خطی یک تابع مختلط است و می‌توان آنرا در مختصات قطبی:

حسب دامنه و فاز به صورت زیر نشان داد

$$G(j\omega) = |G(j\omega)| e^{j\angle G(j\omega)} \quad (1-20-5)$$

که در آن سیگنال ورودی، سینوسی با فرکانس  $\omega$  رادیان بر ثانیه است. اگر از معادله (۱-۲-۵) لگاریتم در مبنای ۱۰ گرفته شود داریم:

$$\begin{aligned} \log G(j\omega) &= \log |G(j\omega)| e^{j\angle G(j\omega)} \\ &= \log |G(j\omega)| + \log e^{j\angle G(j\omega)} \\ &= \log |G(j\omega)| + \log_{10} e \log_e e^{j\angle G(j\omega)} \\ &= \log |G(j\omega)| + j \cdot 0.434 \angle G(j\omega) \end{aligned} \quad (2-2-5)$$

(در استنتاج معادله (۲-۲-۵) از معادله ما قبل خود از رابطه  $\log_{10} x = \log_{10} e \cdot \log_e x$  استفاده شده است). بنابراین از معادله (۲-۲-۵) داریم که قسمت حقیقی لگاریتم تابع تبدیل، لگاریتم دامنه،  $|G(j\omega)|$ ، و قسمت موهومی آن متناسب با زاویه  $\angle G(j\omega)$  است. در رسم نمودارهای بود از فاکتور  $0.434$  صرفنظر و تنها زاویه  $\angle G(j\omega)$  در نظر گرفته می‌شود. در تحلیل پاسخ فرکانسی، واحدی را که عموماً برای لگاریتم دامنه بکار می‌گیریم، دسی دبل است. توجه کنید که تابع تبدیل، نسبت خروجی به ورودی سیستم است و متغیرهای خروجی و ورودی لزوماً از یک واحد نمی‌باشند. برای مثال خروجی ممکن است بر حسب رادیان بر ثانیه و ورودی بر حسب ولت باشد. لگاریتم دامنه یک تابع تبدیل  $G(j\omega)$  که بر حسب دسی دبل بیان شده، عبارتست از

$$20 \log |G(j\omega)| \text{ dB}$$

این کمیت لگاریتم دامنه <sup>۱</sup> نامیده شده و با  $Lm$  نشان داده می‌شود. بنابراین

$$LmG(j\omega) = 20 \log |G(j\omega)| \text{ dB} \quad (3-2-5)$$

از آنجاییکه تابع تبدیل تابعی از فرکانس است، لگاریتم دامنه نیز تابعی از فرکانس است. دو واحدی که برای بیان باندهای فرکانسی یا نسبت‌های فرکانسی استفاده می‌شوند، اکتاو <sup>۲</sup> و ده ده <sup>۳</sup> هستند. اکتاو یک باند فرکانسی از ۱ تا ۲ است. که در آن  $2 = 1 \cdot 2^1$ . این بین باند فرکانسی از ۱ تا ۲ هرتز یک اکتاو در طول است و همچنین باند فرکانسی از  $1 / 2 \sim 1 / 4$  نیز یک اکتاو در طول است. تعداد اکتاوها در یک گستره فرکانسی از ۱ تا  $10^4$  برابر است با

1- Decibel

2- Log magnitude

3- Octave

4- Decade

$$\frac{\log(f_2/f_1)}{\log 2} = \frac{1}{2} \log \frac{f_2}{f_1} \quad (4-2-5)$$

اگر نسبت  $f_2/f_1$  برابر با ۱۰ باشد، یعنی  $f_2/f_1 = 10$ ، آنگاه افزایشی برابر با ۱ دهه از  $f_1$  به  $f_2$  خواهیم داشت. باند فرکانسی از ۱ تا ۱۰ یا ۱/۵ تا ۱۵ یک دهه طول دارد. تعداد دهه‌ها از  $f_1$  به  $f_2$  بدین صورت داده می‌شوند

$$\log \frac{f_2}{f_1}$$

جدول ۲-۵ مقادیر دسی‌بل بعضی از اعداد را نشان می‌دهد. توجه کنید که برای یک عدد داده شده، مقدار دسی‌بل معکوس آن در یک منفی ضرب می‌شود. هم‌چنین اگر یک عدد دو برابر شود مقدار دسی‌بل آن  $20dB$  افزایش پیدا می‌کند و اگر یک عدد در فاکتور ۱۰ ضرب شود مقدار دسی‌بل آن با  $20dB$  افزایش پیدا می‌کند.

جدول ۲-۵ مقدار دسی‌بل چند عدد

دسی‌بل	عدد
-۴۰	۰/۰۱
-۲۰	۰/۱
-۶/۰۲	۰/۵
۰	۱/۰
۶/۰۲	۲/۰
۲۰	۱۰/۰
۴۰	۱۰۰/۰
۴۶/۰۲	۲۰۰/۰

تابع تبدیل پاسخ فرکانسی یک سیستم را در حالت کلی می‌توان به صورت زیر نوشت

$$G(j\omega) = \frac{k(j\omega + z_1)(j\omega + z_2) \dots}{(j\omega)^m (j\omega + p_1)[1 + (\xi/\omega_n)j\omega + (\omega_n^2/j\omega)] \dots} \quad (5-2-5)$$

که در آن  $k$  یک عدد ثابت،  $z_i$  صفرها ( $r$  تعدد صفر) و  $p_i$  قطبها (تابع تبدیل سیستم هستند. با گرفتن لگاریتم از طرفین معادله (۵-۲-۵)، داریم

$$\begin{aligned} \log G(j\omega) &= \log k + \log(j\omega + z_1) + r \log(j\omega + z_r) + \dots - m \log(j\omega) \\ &\quad - \log(j\omega + p_1) - \log \left[ 1 + \left( \frac{2\xi}{\omega_n} \right) j\omega + \left( \frac{1}{\omega_n^2} \right) (j\omega)^2 \right] - \dots \end{aligned} \quad (6-2-5)$$

هر کدام از عبارات معادله (۶-۲-۵) را می‌توان به صورت یک عبارت مختلط نوشت که در آن یک قسمت حقیقی و یک قسمت موهومی وجود دارد. برای مثال

$$\begin{aligned} \log(j\omega + z_1) &= \log(\omega^2 + z_1^2)^{1/2} + j \angle(j\omega + z_1) \\ &= \log(\omega^2 + z_1^2)^{1/2} + j \tan^{-1} \frac{\omega}{z_1} \end{aligned} \quad (7-2-5)$$

همانند معادله (۷-۲-۵)، لگاریتم تابع تبدیل از معادله (۶-۲-۵) را می‌توان به صورت یک عبارت مختلط نوشت. در واقع دو دسته مختلف معادلات برای لگاریتم دامنه و فاز خواهیم داشت:

$$\begin{aligned} \text{Lm } G(j\omega) &= \text{Lm } k + \text{Lm}(j\omega + z_1) + r \text{Lm}(j\omega + z_r) + \dots \\ &\quad - \text{Lm}(j\omega + p_1) - \text{Lm} \left[ 1 + \left( \frac{2\xi}{\omega_n} \right) j\omega + \left( \frac{1}{\omega_n^2} \right) (j\omega)^2 \right] - \dots \end{aligned} \quad (8-2-5)$$

$$\begin{aligned} \angle G(j\omega) &= \angle k + \angle(j\omega + z_1) + r \angle(j\omega + z_r) + \dots - m \angle(j\omega) \\ &\quad - \angle(j\omega + p_1) - \angle \left[ 1 + \left( \frac{2\xi}{\omega_n} \right) j\omega + \left( \frac{1}{\omega_n^2} \right) (j\omega)^2 \right] + \dots \\ &= \angle k + \tan^{-1} \frac{\omega}{z_1} + r \tan^{-1} \frac{\omega}{z_r} + \dots - m 90^\circ - \tan^{-1} \frac{\omega}{p_1} \\ &\quad - \tan^{-1} \frac{\frac{2\xi\omega}{\omega_n}}{1 - \frac{\omega^2}{\omega_n^2}} \dots \end{aligned} \quad (9-2-5)$$

$k$  یک عدد حقیقی است و لذا می‌تواند مثبت و یا منفی باشد. گرایندهای  $\angle G(j\omega)$  در غیر اینصورت  $180^\circ$  خواهد بود. برای رسم دیاگرام بود باید معادله‌های (۶-۵-۱) و (۶-۵-۲) را برای گستره فرکانسی مطلوب بدست آورد.

### ۱-۴-۵ ترسیم نمودارهای بود

با توجه به معادله (۱-۴-۵)، به طور کلی چهار عامل در مخرج و صورت یک تابع تبدیل حضور دارد که برای رسم کامل نمودار بود باید نمودار دامنه و فاز بروحسب لگاریتم فرکانس هر کدام از این عوامل را رسم کرد و سپس با جمع و یا تفریق این عوامل، نمودار بود کامل تابع تبدیل سیستم را ترسیم نمود. این چهار عامل عبارتند از:

$$\frac{k}{(j\omega)^{\pm m} \left[ 1 + \frac{2\xi}{\omega_n} j\omega + \frac{1}{\omega_n^2} (j\omega)^2 \right]^{\pm p}}$$

توجه کنید که عبارات شامال صفر و قطب به صورت  $(j\omega + z_i)$  و  $(j\omega + p_i)$  در معادله (۱-۴-۵) را می‌توان به صورت  $(1+j\omega/z_i)$  و  $(1+j\omega/p_i)$  یا در حالت کلی  $(1+j\omega T)$  نوشت. در واقع این تغییر در توشتن عبارات صفرها و قطبهای رسم نمودار بود را ساده‌تر خواهد کرد ولی باید توجه داشت که بهره  $k$  نیز تغییر می‌کند و لذا تغییر بهره قبل از رسم نمودار بود الزامی است.

### نمودار بود برای بهره ثابت

بهره ثابت  $k$  در تابع تبدیل  $G(j\omega)$  یا حاصلضرب بهره‌های یک یا چند بلوک توابع تبدیل سیستم است. در واقع بهره  $k$  یک عدد مختلط با قسمت موهومنی صفر است.

### مثال ۱-۵

تابع تبدیل زیر را در نظر بگیرید

$$G(s)=k$$

نمودار بود تابع تبدیل را برای (الف)  $k=0$ ، (ب)  $k=-10$  و (ج)  $k=10$  رسم کنید. نخست  $\omega=j\omega$  را در تابع تبدیل داده شده جایگزین می‌کنیم و سپس معادله‌های دامنه و زاویه فاز را بدست می‌آوریم. داریم

$$G(j\omega)=k$$

ولذا

$$\text{Lm}G(j\omega) = 20 \log_{10} k$$

هم چنین

$$\angle G(j\omega) = \tan^{-1} \frac{\omega}{k}$$

(الف) برای  $k = 10$  داریم

$$\text{Lm}G(j\omega) = 20 \text{dB} , \quad \angle G(j\omega) = \tan^{-1} \frac{\omega}{10} = 0^\circ$$

بنابراین نمودار دامنه یک خط افقی  $20 \text{dB}$  و نمودار زاویه فاز یک خط افقی  $0^\circ$  است. دیاگرام بود این سیستم در شکل ۲-۵ نشان داده شده است. توجه کنید که محور لگاریتمی افقی برای فرکانس  $\omega$  بر حسب رادیان بر ثانیه، و محور عمودی برای دامنه بر حسب دسی بال، در شکل ۲-۵ (الف) و برای زاویه فاز بر حسب درجه، در شکل ۲-۵ (ب) استفاده شده است. بنابراین نمودار بود در یک کاغذ نیمه لگاریتمی رسم شده است. مقیاس خطی عمودی برای به ترتیب دامنه و زاویه فاز در شکلهای ۲-۵ (الف) و (ب) و مقیاسی غیرخطی افقی برای فرکانس علامتگذاری شده‌اند.

(ب) برای  $k = -10$  داریم

$$\text{Lm}G(j\omega) = 20 \text{dB} , \quad \angle G(j\omega) = \tan^{-1} \frac{\omega}{-10} = -180^\circ$$

دیاگرام بود این سیستم نیز در شکل ۲-۵ نشان داده شده است.

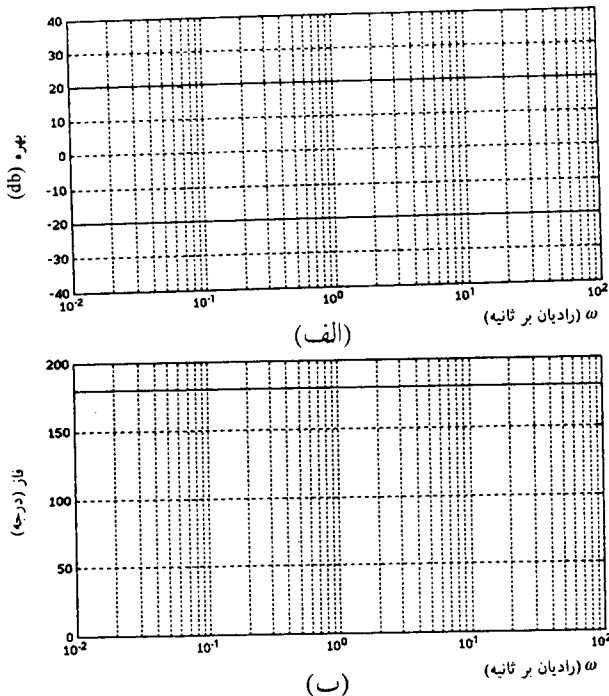
(ج) برای  $k = 0/1$  داریم

$$\checkmark \text{Lm}G(j\omega) = 20 \log_{10} |1| = 20 \log_{10} \frac{1}{1} = -20 \text{dB} , \quad \angle G(j\omega) = \tan^{-1} \frac{\omega}{0/1} = 0^\circ$$

دیاگرام بود این سیستم نیز در شکل ۲-۵ نشان داده شده است.

نمودارهای بود قطب - صفر در مبدأ صفحه  $s: s^{(\pm m)}$   
تابع تبدیل زیر را در نظر بگیرید

$$G(s) = (s)^{\pm 1}$$



شکل ۲-۵ دیاگرام بود سیستم مثال ۲-۵ (الف) نمودار دامنه (ب) نمودار فاز

مثالهای ۳-۵ و ۴-۵ مراحل رسم نمودارهای بود را به ترتیب برای تابع تبدیل با یک صفر و قطب در مبدأ صفحه ۵ نشان می‌دهند.

### مثال ۳-۵

تابع تبدیل زیر را در نظر بگیرید

$$G(s)=s$$

نمودار بود این تابع تبدیل را رسم کنید.

نخست  $s=j\omega$  را در تابع تبدیل جایگزین کنید

$$G(j\omega)=j\omega$$

و لذا

$$\begin{aligned} \text{Lm}G(j\omega) &= 2 \cdot \log_{10} |G(j\omega)| \\ &= 2 \cdot \log_{10} |j\omega| \\ &= 2 \cdot \log_{10} \omega \end{aligned}$$

## هم چنین

$$\angle G(j\omega) = \tan^{-1} \frac{\omega}{\zeta} = 90^\circ$$

با استفاده از رابطه‌های بدست آمده برای لگاریتم دامنه و زاویه فاز، می‌توان جدول ۳-۵ را برای مقادیر مختلفی از فرکانس‌های  $\omega$  تشکیل داد. از جدول ۳-۵ به خوبی مشاهده می‌گردد که با افزایش  $\omega$  از ۱ به ۲ یا ۴ به ۸ dB افزایش در لگاریتم دامنه داریم. بنابراین دامنه با نرخ ۶ dB براکتاو افزایش دارد. به طور مشابهی، اگر  $\omega$  یک دهه افزایش داشته باشد، لگاریتم دامنه مقدار ۲۰ dB افزایش نشان می‌دهد. به عبارت دیگر، دامنه با نرخ ۲۰ dB بر دهه افزایش دارد. شکل ۳-۵ دیاگرام بود این تابع تبدیل را نشان می‌دهد که با استفاده از جدول ۳-۵ رسم شده است.

## مثال ۴-۵

تابع تبدیل زیر را در نظر بگیرید

$$G(s) = \frac{1}{s}$$

نمودار بود این تابع تبدیل را رسم کنید.

جدول ۳-۵ داده‌های مثال ۴-۵

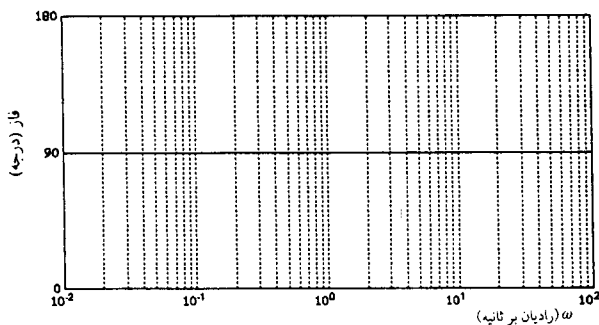
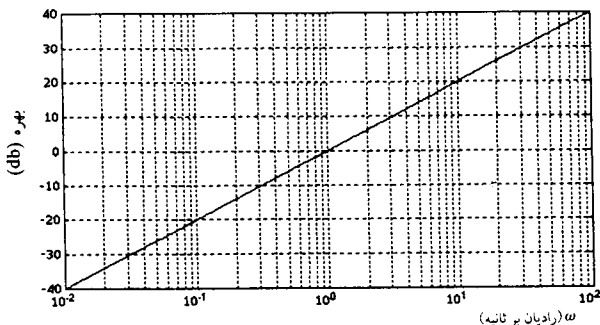
فرکانس (رادیان بر ثانیه)	دامنه (dB)	زاویه فاز (درجه)
۰/۰۱	-۴۰	۹۰
۰/۰۱	-۲۳/۹۸	۹۰
۰/۰۵	-۲۶/۰۲	۹۰
۰/۱	-۲۰	۹۰
۰/۲	-۱۳/۹۸	۹۰
۰/۵	-۶/۰۲	۹۰
۱/۰	۰/۰	۹۰
۲/۰	۶/۰۲	۹۰
۴/۰	۱۲/۰۴	۹۰
۱۰/۰	۲۰/۰	۹۰
۲۰/۰	۲۶/۰۲	۹۰
۴۰/۰	۳۲/۰۴	۹۰
۱۰۰/۰	۴۰	۹۰

نخست  $\omega = j\omega$  را در تابع تبدیل جایگزین کنید

$$G(j\omega) = \frac{1}{j\omega}$$

و لذا

$$\begin{aligned} \text{Lm } G(j\omega) &= 20 \log_{10} |G(j\omega)| \\ &= 20 \log_{10} \left| \frac{1}{j\omega} \right| = -20 \log \omega \end{aligned}$$



شکل ۳-۵ دیاگرام بود تابع تبدیل مثال ۳-۵

هم چنین

$$\angle G(j\omega) = -\tan^{-1} \frac{1/\omega}{\circ} = -90^\circ$$

جدول ۴-۵ با بکارگیری معادله‌های بدست آمده لگاریتم دامنه و فاز تابع تبدیل برای فرکانس‌های مختلف  $\omega$  تشکیل شده است. شکل ۴-۵ دیاگرام بود این تابع تبدیل را نشان

می‌دهد که با استفاده از داده‌های جدول ۴-۵ رسم شده است.

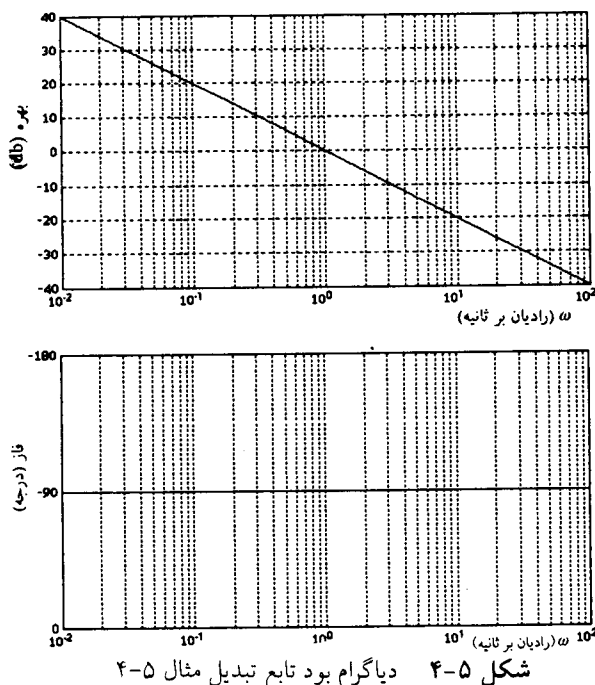
شکل‌های ۳-۵ و ۴-۵ به وضوح نشان می‌دهند که دامنه تابع تبدیل با صفر در مبدأه صفحه  $\delta$  و قطب در مبدأه صفحه  $\delta$  به ترتیب با نرخ  $20 \text{ dB}$  بر دهه افزایش و با نرخ  $20 \text{ dB}$  بر دهه کاهش خواهد داشت. این افزایش و کاهش، مشخصه‌های صفر و قطب در مبدأه می‌باشند.

مفاهیم بالا را می‌توان به سادگی به حالتهای قطب و یا صفرهای مکرر در مبدأه صفحه  $\delta$  تعمیم داد. برای مثال اگر  $N$  صفر در مبدأه داشته باشیم، شبیب نمودار لگاریتم دامنه  $N^{20 \text{ dB}}$  بر دهه خواهد بود. به طور مشابهی، برای  $N$  قطب در مبدأه صفحه  $\delta$  شبیب نمودار دامنه  $N^{-20 \text{ dB}}$  بر دهه خواهد بود. شکل ۵-۵ نمودارهای دامنه و فاز را برای توابع تبدیل  $(\pm)$  نشان می‌دهد.

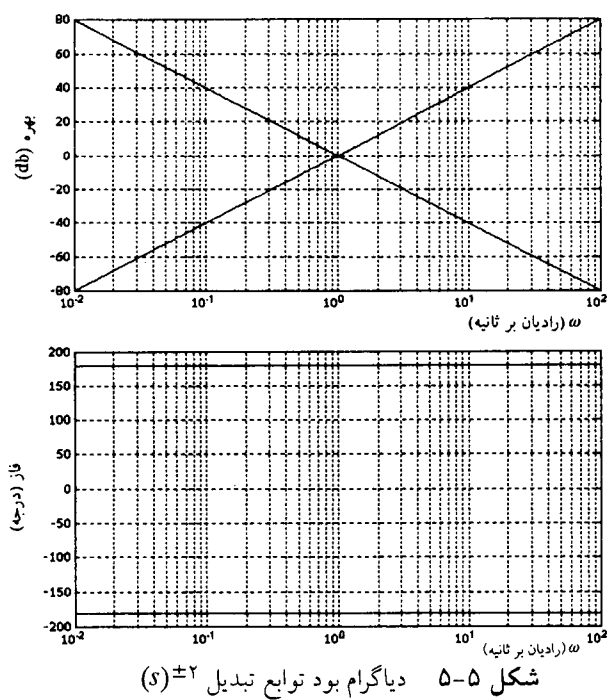
نمودارهای بود صفر یا قطب حقیقی:  $(1+sT)^{\pm 1}$   
 صفر یا قطب حقیقی به ترتیب به صورت  $(1+sT)^{-1}$  یا  $(1+sT)^{+1}$  نوشته می‌شود. در مثالهای ۵-۵ و ۶-۵ نمودار بود یک صفر و قطب محدود را رسم خواهیم کرد.

جدول ۴-۵ داده‌های مثال ۴-۵

فرکانس (رادیان بر ثانیه)	دامنه (dB)	زاویه فاز (درجه)
-۰	۴۰	۰/۰۱
-۹۰	۳۳/۹۸	۰/۰۲
-۹۰	۲۶/۰۲	۰/۰۵
-۹۰	۲۰	۰/۰۱
-۹۰	۱۳/۹۸	۰/۲
-۹۰	۶/۰۲	۰/۵
-۹۰	۰/۰	۱/۰
-۹۰	-۶/۰۲	۲
-۹۰	-۱۳/۹۸	۵
-۹۰	-۲۰	۱۰
-۹۰	-۲۶/۰۲	۲۰
-۹۰	-۳۳/۹۸	۵۰
-۹۰	-۴۰	۱۰۰



شکل ۴-۵ دیاگرام بود تابع تبدیل مثال ۴-۵

شکل ۵-۵ دیاگرام بود توابع تبدیل  $(s)^{\pm 2}$

## مثال ۵-۵

تابع تبدیل زیر را در نظر بگیرید

$$G(s)H(s) = 1+sT$$

که در آن  $T$  ثابت زمانی سیستم است. نمودار بود این سیستم را برای  $T=2$  ثانیه رسم کنید.  
برای رسم نمودار لگاریتم دامنه و فاز، معادله‌های زیر را تشکیل می‌دهیم

$$\begin{aligned} \text{Lm}G(j\omega)H(j\omega) &= 20 \log |1+j\omega T| \\ &= 20 \log \sqrt{(2\omega)^2 + 1} \end{aligned}$$

و همچنین

$$\angle G(j\omega)H(j\omega) = \tan^{-1} \frac{\omega T}{1} = \tan^{-1} 2\omega$$

جدول ۵-۵ با جایگزینی مقادیر مختلف  $\omega$  از معادله‌های بالا تشکیل شده است. توجه کنید که در فرکانس‌های پایین برای  $\omega < 1/T$  داریم

$$\text{Lm}G(j\omega)H(j\omega) \approx 0 \text{dB}, \quad \angle G(j\omega)H(j\omega) \approx 0^\circ$$

جدول ۵-۵ داده‌های مثال ۵-۵

فرکانس (رادیان بر ثانیه)	زاویه فاز (درجه)	دامنه (dB)	زاویه فاز (درجه)
۰/۱۱	۰	۰	۰/۰۰۱
۰/۵۴	۰	۰	۰/۰۰۵
۱/۱۴	۰	۰	۰/۰۱
۷/۷۹	۰	۰	۰/۰۷
۱۱/۳	۰/۱۷	۰	۰/۱
۲۱/۸	۰/۶۴	۰	۰/۲
۴۵	۳/۰۱	۰	۰/۵
۶۳/۴	۶/۹۹	۰	۱
۷۵/۹۶	۱۲/۳	۰	۲
۸۴/۳	۲۰/۰۴	۰	۵
۸۷/۱۴	۲۶/۰۳	۰	۱۰
۸۸/۵۷	۳۲/۰۴	۰	۵۰
۸۹/۴	۴۶	۰	۱۰۰

برای مثال در  $\omega = 0.25$  رادیان بر ثانیه داریم  $\omega T = 0.25(2) = 0.5$  و لذا

$$\text{Lm}G(j\omega)H(j\omega) = 2 \cdot \log \sqrt{(0.5)^2 + 1} \approx 0.4 \text{dB}$$

و

$$\angle G(j\omega)H(j\omega) = \tan^{-1} 0.5 = 28.6^\circ$$

یک مقدار مهم فرکانس  $\omega$  هنگامی رخ می‌دهد که  $\omega T = 1$  و یا  $\omega = \frac{1}{T}$  باشد، دامنه در این فرکانس عبارتست از

$$\text{Lm}G(j\omega)H(j\omega) = 2 \cdot \log \sqrt{(1)^2 + 1} = 3.01 \text{dB}$$

و

$$\angle G(j\omega)H(j\omega) = \tan^{-1} 1 = 45^\circ$$

به فرکانس  $\omega = 1/T$ ، فرکانس شکست<sup>۱</sup> یا فرکانس گوشه<sup>۲</sup> می‌گویند. فرکانس  $\omega = 1/T$  را از آن جهت فرکانس شکست گویند که در این فرکانس شکستی در شب منحنی دامنه، همانطور که در شکل ۶-۵ نشان داده شده است، رخ می‌دهد. هم چنین فرکانس  $\omega = 1/T$  را به علت اینکه نمودار مجانبی دامنه در فرکانس  $\omega = 1/T$  در گوشه دو خط راست است (شکل ۶-۶)، فرکانس گوشه نیز نامیده‌اند.

در فرکانس‌های بالا برای  $\omega > T$ ، لگاریتم اندازه با مقدار  $\omega$  داده خواهد شد. (به جدول ۶-۵ مراجعه کنید). همانطور که در شکل ۶-۵ نشان داده شده است بعد از فرکانس شکست  $\omega = \frac{1}{T}$ ، دامنه با افزایش  $\omega$  با نزد  $20 \text{ dB}$  بر دهه افزایش خواهد داشت.

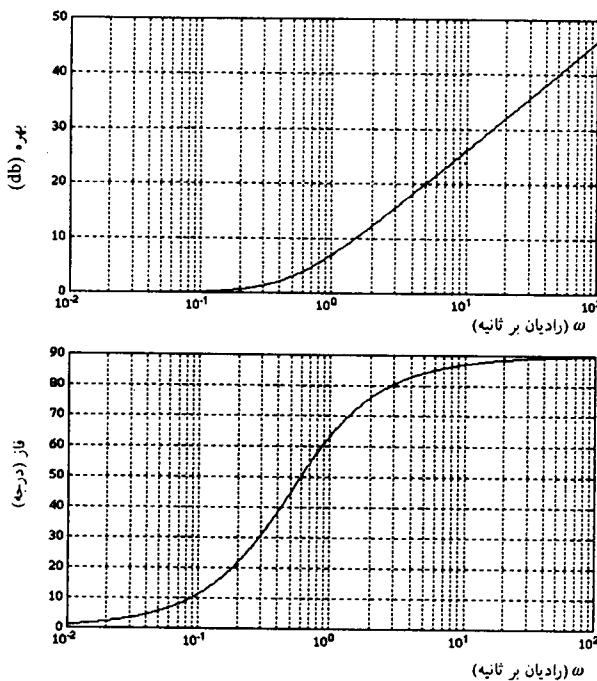
به طور خلاصه می‌توان گفت که برای  $\omega > 1/T$ ، لگاریتم دامنه  $\omega$  و برای  $\omega > 1/T$  لگاریتم دامنه دارای شبیه برابر با  $20 \text{ dB}$  بر دهه خواهد بود. به دو خط  $20 \text{ dB}$  و  $0 \text{ dB}$  بر دهه مجانبها نمودار بودگفته می‌شود و نقطه تلاقی آنها همان فرکانس شکست است.

## مثال ۶-۵

تابع تبدیل زیر را در نظر بگیرید

$$G(s)H(s) = \frac{1}{sT+1}$$

که در آن ثابت زمانی  $T$  برابر با ۵ ثانیه است. دیاگرام بود این تابع تبدیل را رسم کنید.



شکل ۵-۶ دیاگرام بود تابع تبدیل مثال ۵-۵

در اینجا یک قطب محدود در  $s = -1/T$  داریم. نخست تابع تبدیل فرکانسی را می‌نویسیم

$$G(j\omega)H(j\omega) = \frac{1}{j\omega T + 1}$$

و سپس معادله‌های متناظر با لگاریتم دامنه و زاویه را بدست می‌آوریم. بنابراین

$$\begin{aligned} \text{Im}\left(\frac{1}{j\omega T + 1}\right) &= 2 \cdot \log \left| \frac{1}{j\omega T + 1} \right| \\ &= -2 \cdot \log \sqrt{(\omega T)^2 + 1} \\ &= -2 \cdot \log \sqrt{2\omega^2 + 1} \end{aligned}$$

$$\angle\left(\frac{1}{j\omega T + 1}\right) = -\tan^{-1} \frac{\omega}{1}$$

فرکانس شکست در  $\omega = 1/5$  رادیان بر ثانیه است و لگاریتم دامنه در این فرکانس برابر با  $-30/10$  dB است. جدول ۵-۶ با بکارگیری معادله‌های بالا و جایگزینی برای مقادیر مختلف

جدول ۶-۵ داده‌های مثال ۵-۶

فرکانس (رادیان بر ثانیه)	دامنه (dB)	زاویه فاز (درجه)
۰/۰۱	-۰/۰۱	-۲/۸۶
۰/۰۲	-۰/۰۴	-۰/۷۱
۰/۰۵	-۰/۲۶	-۱۴/۰۴
۰/۱	-۰/۹۷	-۲۶/۰۸
۰/۲	-۳/۰۱	-۴۵
۰/۵	-۸/۶	-۶۸/۲
۱	-۱۴/۱۵	-۷۸/۶۹
۲	-۲۰/۰۴	-۸۴/۲۹
۴	-۲۶/۰۳	-۸۷/۱۳
۱۰	-۳۳/۹۸	-۸۸/۸۵
۲۰	-۴۰	-۸۹/۴۳
۴۰	-۴۶/۰۲	-۸۹/۷۱
۱۰۰	-۵۳/۹۸	-۸۹/۸۸

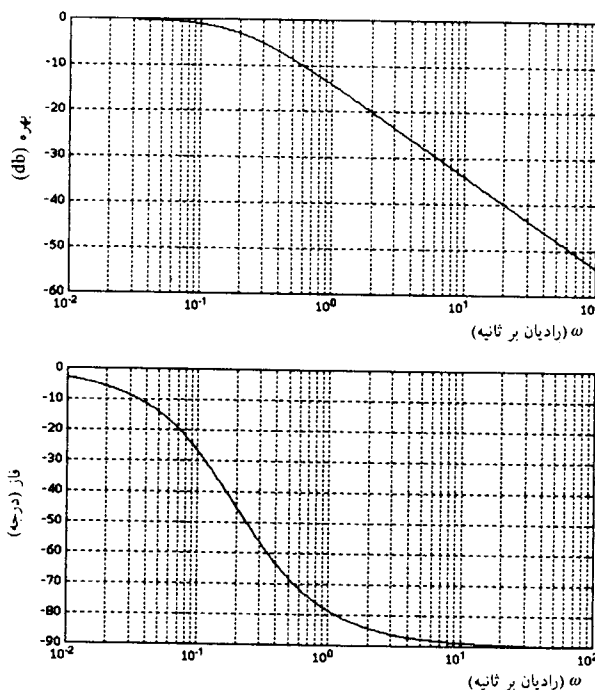
فرکانس بدست آمده است. توجه کنید که محدوده مهم پاسخ فرکانسی (در نمودارهای دامنه و زاویه فاز) معمولًا  $\pm 2$  دهه از فرکانس شکست است. بنابراین می‌توان برای رسم دیاگرام بود از مقادیر  $\omega$  در گستره‌ای برابر با دو دهه بالا و پایین فرکانس شکست استفاده کرد. هم چنین برای رسم دقیق نمودارهای دامنه و زاویه فاز باید چندین مقدار  $\omega$  را در یک دهه انتخاب کرد. داده‌های جدول ۶-۵ در شکل ۷-۵ رسم شده‌اند.

در اینجا تذکر دوباره این نکته مهم است که در فرکانس شکست، همانطور که در مثالهای ۵-۵ و ۶-۵ مشاهده شد، اندازه لگاریتم دامنه برای کلیه نمودارهای دامنه برابر با  $20 \text{ dB}$  است. رسم مجانبها قبل از رسم دقیق دیاگرام بود می‌تواند برای توابع تبدیل پیچیده‌تر فوق العاده سودمند باشد، به این نکته در مثالهای بعد اشاره خواهیم کرد.

$$\text{نمودار بود برای یک عبارت درجه دوم: } \omega_n^2 + 2\xi\omega_n s + s^2$$

یک عامل مهم دیگر که در بسیاری از توابع تبدیل سیستم‌های صنعتی و عملی ظاهر می‌شود، عبارت درجه دوم است. عبارت درجه دوم معمولًا در مخرج تابع تبدیل ظاهر می‌شود و خواص آن در فصل دوم مفصلًا بررسی شدند. تابع تبدیل زیر را در نظر بگیرید:

$$G(s)H(s) = \frac{1}{s^2 + 2\xi\omega_n s + \omega_n^2} \quad (10-2-5)$$



شکل ۷-۵ دیاگرام بود تابع تبدیل مثال ۵-۶

قطبهای این تابع تبدیل به مقدار نسبت میرایی بستگی دارند (فصل دوم). در واقع داریم

۱. اگر  $1 < \zeta$  ریشه‌های عبارت درجه دوم حقیقی و ساده‌اند و پاسخ متناظر به پله واحد میرای شدید است.

۲. اگر  $1 = \zeta$  ریشه‌های عبارت درجه دوم مکرر هستند و پاسخ متناظر به پله واحد میرای بحرانی است.

۳. اگر  $1 > \zeta$  ریشه‌های عبارت درجه دوم مختلط مزدوج هستند و پاسخ متناظر به پله واحد میرای ضعیف است.

۴. اگر  $\zeta = 0$  ریشه‌های عبارت درجه دوم موهومی محض هستند و پاسخ متناظر به پله واحد نوسانی است.

در مثالهای ۷-۵ تا ۷-۱۰ رسم نمودارهای بود را برای حالات بالا نشان می‌دهیم.

## مثال ۷-۵

تابع تبدیل زیر را در نظر بگیرید

$$G(s)H(s) = \frac{1}{s^2 + 3s + 2}$$

در این حالت با مقایسه با فرم استاندارد  $s^2 + 2\zeta\omega_n s + \omega_n^2$ ، بدست می‌آوریم

$$\omega_n = \sqrt{2} \quad \zeta = 1/0.6$$

بنابراین قطب‌های سیستم حقیقی و ساده می‌باشند. در واقع قطب‌های سیستم در ۱- و ۲- قرار دارند. بنابراین

$$\begin{aligned} G(s)H(s) &= \frac{1}{(s+2)(s+1)} \\ &= \frac{0.5}{(0.5s+1)(s+1)} \end{aligned}$$

برای رسم دیاگرام بود داریم

$$G(j\omega)H(j\omega) = \frac{0.5}{(0.5j\omega+1)(j\omega+1)}$$

لذا

$$\text{Lm}G(j\omega)H(j\omega) = 20\log 0.5 - 20\log \sqrt{(0.5\omega)^2 + 1} - 20\log \sqrt{\omega^2 + 1}$$

و

$$\angle G(j\omega)H(j\omega) = -\tan^{-1} \frac{0.5\omega}{1} - \tan^{-1} \frac{\omega}{1}$$

توجه کنید که مقادیر فرکانس شکست برای دو عبارت بالا عبارتند از  $\omega = 2$  رادیان بر ثانیه، از این‌رو، یک گستره فرکانسی مناسب از  $1/0.1$  تا  $100$  رادیان بر ثانیه می‌باشد، در این گستره فرکانسی دو دهه بالا و پایین فرکانس‌های شکست دربرگرفته خواهد شد. جدول ۷-۵ داده‌های بدست آمده از دو معادله بالا را در مقادیر مشخص شده فرکانسی نشان می‌دهد. نمودارهای دامنه و فاز و به عبارت دیگر دیاگرام بود این تابع تبدیل با بکارگیری مقادیر تعیین شده در جدول ۷-۵ در شکل ۸-۵ رسم شده است.

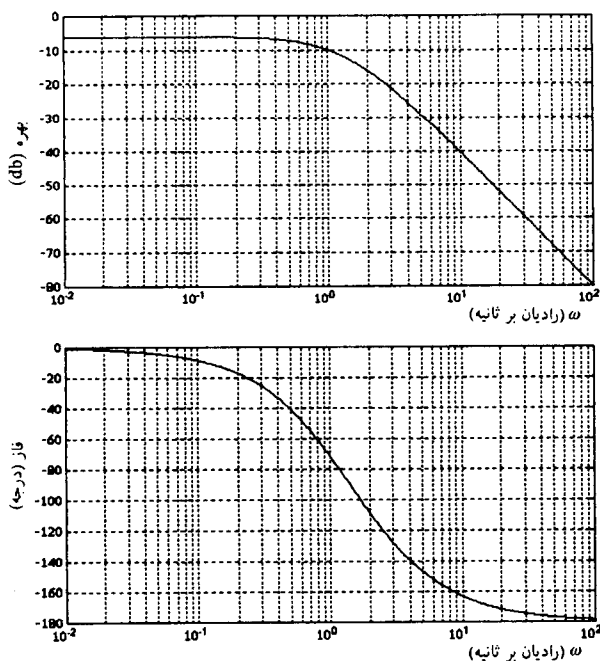
## مثال ۸-۵

تابع تبدیل زیر را در نظر بگیرید

$$G(s)H(s) = \frac{1}{(s+0.1)^2}$$

جدول ۷-۵ داده‌های مثال ۷-۵

فرکانس (رادیان بر ثانیه)	دامنه (dB)	زاویه فاز (درجه)
-۰/۸۶	-۶/۰۲	۰/۰۱
-۱/۷۲	-۶/۰۲	۰/۰۲
-۴/۲۹	-۶/۰۳	۰/۰۵
-۸/۵۷	-۶/۰۷	۰/۱
-۱۷/۰۲	-۶/۲۳	۰/۲
-۴۰/۶	-۷/۲۵	۰/۵
-۷۱/۵۸	-۱۰	۱
-۱۰۸/۴۳	-۱۶/۰۲	۲
-۱۳۹/۳۹	-۲۵/۳۱	۴
-۱۶۹/۹۸	-۴۰/۲۱	۱۰
-۱۷۱/۴۳	-۵۲/۰۹	۲۰
-۱۷۵/۷	-۶۴/۰۹	۴۰
-۱۷۸/۲۸	-۸۰	۱۰۰



شکل ۸-۵ نمودار بود تابع تبدیل مثال ۷-۵

این تابع تبدیل یک قطب مکرر در  $\omega = 0$ - دارد و لذا  $\gamma = 0$  است. نخست تابع تبدیل را برای رسم دیاگرام بود، به صورت زیر بازنویسی می‌کنیم

$$G(j\omega)H(j\omega) = \frac{100}{(10j\omega + 1)^2}$$

بنابراین

$$\text{Lm} G(j\omega)H(j\omega) = 20 \log 100 - 40 \log \sqrt{(10\omega)^2 + 1}$$

و

$$\angle G(j\omega)H(j\omega) = -2 \tan^{-1} \frac{10\omega}{1}$$

داده‌های بدست آمده برای مقادیر مختلف فرکانس  $\omega$  در جدول ۸-۵ آورده شده و دیاگرام بود این تابع تبدیل در شکل ۹-۵ نشان داده شده است.

#### مثال ۹-۵

تابع تبدیل زیر را در نظر بگیرید

$$G(s)H(s) = \frac{1}{s^2 + 2s + 2}$$

در این حالت  $\omega_0 = 0$  و ریشه‌های عبارت درجه دوم مختلط مزدوج می‌باشند. داریم

$$G(s)H(s) = \frac{1}{(s+j+1)(s-j+1)}$$

بنابراین

$$\text{Lm} G(j\omega)H(j\omega) = -20 \log \sqrt{(\omega+1)^2 + 1} - 20 \log \sqrt{(\omega-1)^2 + 1}$$

و

$$\angle G(j\omega)H(j\omega) = -\tan^{-1} \frac{\omega+1}{1} - \tan^{-1} \frac{\omega-1}{1}$$

داده‌های بدست آمده برای مقادیر مختلف فرکانس  $\omega$  در جدول ۹-۵ آورده شده و دیاگرام بود این تابع تبدیل در شکل ۱۰-۵ نشان داده شده است.

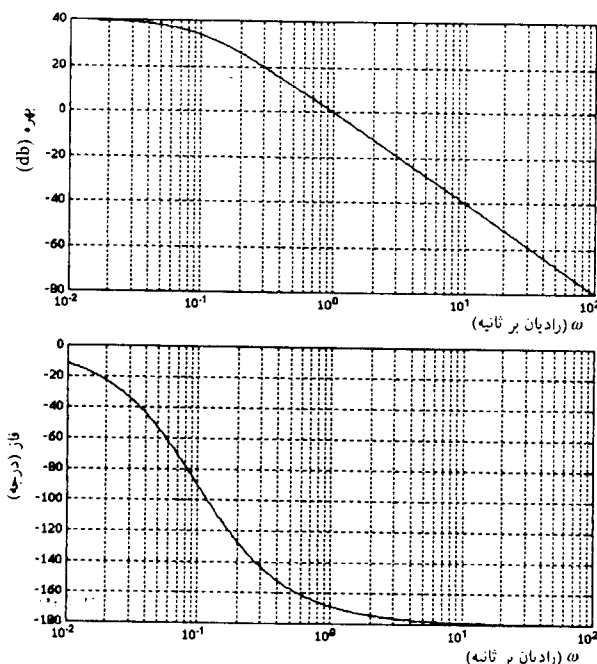
#### مثال ۱۰-۵

تابع تبدیل زیر را در نظر بگیرید

$$G(s)H(s) = \frac{1}{s^2 + 4}$$

جدول ۸-۵ داده‌های مثال ۸-۵

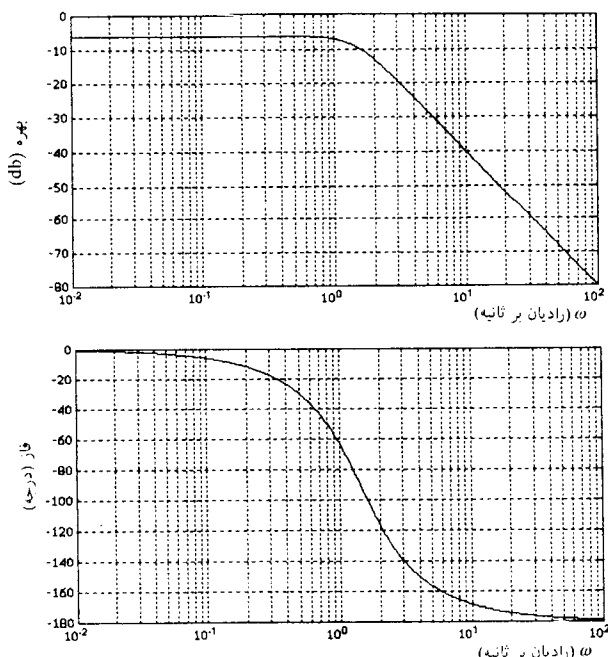
فرکانس (رادیان بر ثانیه)	دامنه (dB)	زاویه فاز (درجه)
-۱۱/۴۲	۳۹/۹۱	۰/۰۱
-۲۲/۶۲	۳۹/۶۶	۰/۰۲
-۵۳/۱۳	۳۸/۰۶	۰/۰۵
-۹۰	۳۳/۹۸	۰/۱
-۱۲۶/۸۷	۲۶/۰۲	۰/۲
-۱۵۷/۳۸	۱۱/۷	۰/۵
-۱۶۸/۵۸	-۰/۰۹	۱
-۱۷۴/۲۷	-۱۲/۰۶	۲
-۱۷۷/۱۴	-۲۴/۰۹	۴
-۱۷۸/۸۵	-۴۰	۱۰
-۱۷۹/۴۳	-۵۲/۰۴	۲۰
-۱۷۹/۷۱	-۶۴/۰۸	۴۰
-۱۷۹/۸۸	-۸۰	۱۰۰



شکل ۹-۵ دیاگرام بود تابع تبدیل مثال ۸-۵

جدول ۹-۵ داده‌های مثال ۹-۵

فرکانس (رادیان بر ثانیه)	دامته (dB)	زاویه فاز (درجه)
-۰/۰۱	-۶/۰۲	-۰/۰۷
۰/۰۲	-۶/۰۲	-۱/۱۵
۰/۰۵	-۶/۰۲	-۲/۸۷
۰/۱	-۶/۰۲	-۵/۷۴
۰/۲	-۶/۰۲	-۱۱/۵۳
۰/۵	-۶/۰۸	-۲۹/۷۴
۱	-۶/۹۸	-۶۳/۴۳
۲	-۱۳/۰۱	-۱۱۶/۵۶
۴	-۲۴/۱۵	-۱۵۰/۲۵
۱۰	-۴۰	-۱۶۸/۴۶
۲۰	-۵۲/۰۴	-۱۷۴/۲۶
۴۰	-۶۴/۰۸	-۱۷۷/۱۳
۱۰۰	-۸۰	-۱۷۸/۸۵



شکل ۱۰-۵ دیاگرام بود تابع تبدیل مثال ۹-۵

نخست همانند قبل تابع تبدیل را به صورتی دوباره نویسی می‌کنیم که عبارت ثابت در مخرج واحد باشد، این کار محاسبه دامنه و زاویه فاز را ساده‌تر می‌کند. داریم

$$G(s)H(s) = \frac{\cdot / 25}{( \cdot / 5s + 1)( \cdot / 5s - 1)}$$

بنابراین

$$\text{Lm } G(j\omega)H(j\omega) = 2 \cdot \log \cdot / 25 - 2 \cdot \log (\cdot / 5\omega + 1) - 2 \cdot \log (\cdot / 5\omega - 1)$$

و

$$\angle G(j\omega)H(j\omega) = -180^\circ$$

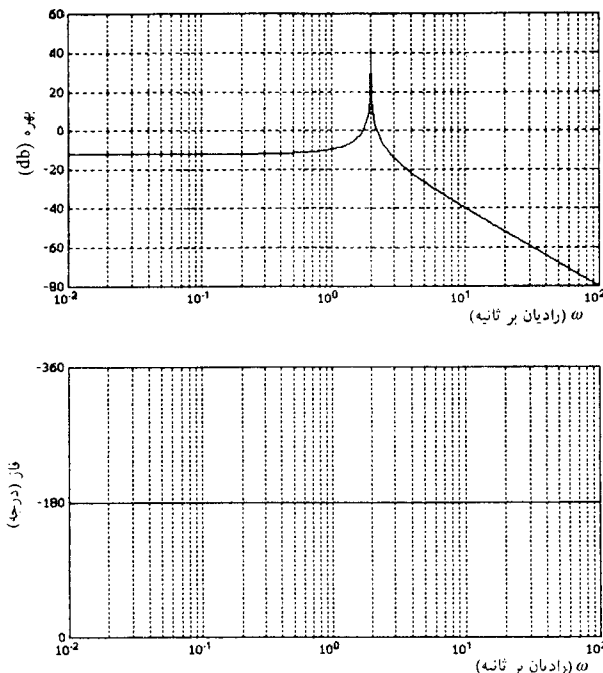
جدول ۵-۱۰ داده‌های مثال ۵-۱۰

فرکانس (رادیان بر ثانیه)	زاویه فاز (درجه)	دامنه (dB)
-180	-12/01	0/1
-180	-11/95	0/2
-180	-11/48	0/5
-180	-9/54	1/0
-180	-6/18	1/4
-180	-3/17	1/6
-180	2/38	1/8
-180	8/18	1/9
-180	$\infty$	2/0
-180	7/74	2/1
-180	1/52	2/2
-180	-2/21	2/3
-180	-7/04	2/5
-180	-8/81	2/6
-180	-13/98	2/0
-180	-17/66	2/4
-180	-20/37	2/8
-180	-21/58	4
-180	-23/72	4/4
-180	-26/44	5
-180	-33/05	7
-180	-39/64	10
-180	-51/95	20
-180	-67/44	50

در این حالت فرکانس شکست در  $\omega = 2$  رادیان بر ثانیه قرار دارد و دامنه تابع تبدیل در این فرکانس بی‌نهایت است. جدول ۱۰-۵ مقادیر لگاریتم دامنه و زاویه فاز تابع تبدیل را در یک گستره فرکانسی برای  $\omega$  نشان می‌دهد. دیاگرام بود شکل ۱۱-۵ بر اساس داده‌های جدول ۱۰-۵ رسم شده است.

بعد از مثالهای ارایه شده برای رسم دیاگرام بود سیستم‌های درجه دوم، اکنون حالت کلی زیر را در نظر می‌گیریم

$$G(s)H(s) = \frac{\omega_n^2}{s^2 + 2\xi\omega_n s + \omega_n^2} \quad (11-2-5)$$



شکل ۱۱-۵ دیاگرام بود تابع تبدیل مثال ۱۰-۵

نخست تابع تبدیل داده شده با معادله (۱۱-۲-۵) را به صورت مناسب زیر بازنویسی می‌کنیم

$$G(j\omega)H(j\omega) = \frac{1}{[(j\omega/\omega_n)^2 + 2\xi(j\omega/\omega_n) + 1]} \quad (12-2-5)$$

همانطور که ملاحظه شد برای  $\omega = 1$ ، عبارت درجه دوم دو ریشه حقیقی دارد. برای  $\omega > 1$  ریشه‌های عبارت درجه دوم مختلط مزدوج می‌باشند. توجه کنید که تقریب‌های مجانبی، برای منحنی‌های پاسخ فرکانسی برای  $\omega < \omega_n$  کوچک دقیق نخواهد بود، زیرا دامنه و فاز عبارت درجه دوم به مقادیر فرکانس شکست و نسبت میرایی بستگی خواهند داشت.

مجانب‌های نمودار بود را در حالت کلی به صورت زیر بدست می‌آوریم. از آنجاییکه

$$\text{Lm}G(j\omega)H(j\omega) = -20 \log \sqrt{\left(1 - \frac{\omega^2}{\omega_n^2}\right)^2 + \left(2\xi \frac{\omega}{\omega_n}\right)^2} \quad (13-2-5)$$

برای فرکانس‌های پایین، یعنی  $\omega < \omega_n$ ، از معادله (13-2-5) داریم

$$-20 \log \frac{\omega}{\omega_n} = 0 \text{ dB} \quad (14-2-5)$$

بنابراین معادله (14-2-5) نشان می‌دهد که مجانب فرکانس پایین یک خص افقی dB است.

برای فرکانس‌های بالا  $\omega > \omega_n$ ، معادله (13-2-5) می‌دهد

$$-20 \log \frac{\omega}{\omega_n} = -40 \log \frac{\omega}{\omega_n} \quad (15-2-5)$$

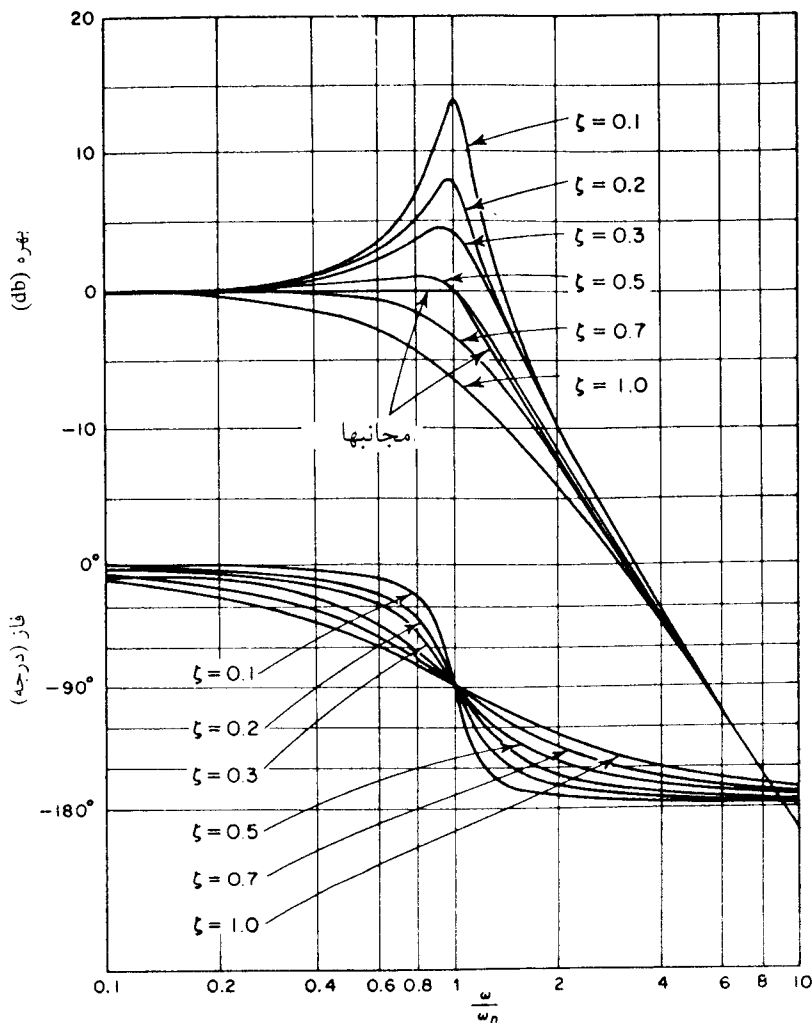
از معادله (15-2-5) داریم که برای  $\omega = \omega_n$ ، لگاریتم دامنه صفر dB خواهد شد و لذا این فرکانس، فرکانس شکست است و فرکانسی است که دو مجانب همیگر را قطع خواهند کرد. اگر  $\omega$  را به میزان یک دهه افزایش دهیم داریم  $\omega = 10\omega_n$  و لذا از معادله (15-2-5) داریم

$$-40 \log \frac{10\omega_n}{\omega_n} = -40 \text{ dB}$$

و لذا مجانب فرکانس بالا، شبیه زوایر با  $-40$  dB بوده دارد.

دو مجانب بدست آمده فرکانس بالا و پایین مستقل از  $\omega$  هستند. همانطور که از معادله (12-2-5) ممکن است انتتاج شود، در نزدیکی فرکانس شکست  $\omega = \omega_n$  یک ستیغ تشیدید<sup>۱</sup> رخ می‌دهد. اندازه این ستیغ توسط نسبت میریس تعیین می‌گردد. شکل ۱۲-۵ دیاگرام‌های دقیق بود و مجانب‌های فرکانس بالا و پایین را برای نمودارهای دامنه و فاز یک تابع تبدیل داده شده با معادله (11-2-5) را نشان می‌دهد. همانطور که از شکل ۱۲-۵ مشاهده

1- Resonant peak



شکل ۱۲-۵ منحنیهای لگاریتم دامنه و منحنیهای زاویه فاز تابع تبدیل درجه دوم داده شده با معادله (۱۲-۲-۵)

می‌شود. اگرچه مجانبها توزیع تبدیل داده شده برای مقادیر مختلف نسبت میرایی یکسان است، نیکن رفتار دیگرام بود برای مقادیر مختلف نسبت میرایی کاملاً متفاوت است.

زاویه فاز متناظر با تابع تبدیل داده شده با معادله (۱۲-۲-۵) عبارتست از

$$\angle G(j\omega)H(j\omega) = \tan^{-1} \left[ \frac{\sqrt{\zeta} \omega / \omega_n}{1 - (\omega / \omega_n)^2} \right] \quad (۱۲-۲-۶)$$

زاویه فاز نیز تابعی از  $\omega$  و  $\omega_n$  است. در  $\omega = \omega_n$  زاویه فاز صفر درجه است. در فرکانس شکست

از معادله (۱۶-۲-۵) داریم

$$\angle G(j\omega)H(j\omega) = -\tan^{-1} \left( \frac{2\xi}{1+2\xi} \right) = -\tan^{-1}\infty = -90^\circ$$

و برای فرکانس‌های بالا  $\omega > \omega_n$ ، از معادله (۱۶-۲-۵) داریم که زاویه فاز  $-180^\circ$  خواهد شد.

توجه کنید که دیاگرام بود عبارت درجه دوم زیر

$$1 + 2\xi \left( j \frac{\omega}{\omega_n} \right) + \left( j \frac{\omega}{\omega_n} \right)^2$$

به سادگی با معکوس کردن علامت عبارتهای متناظر معادله (۱۶-۲-۵) بدست خواهد آمد.

## ۲-۲-۵ مراحل ترسیم دیاگرام‌های بود

در بخش ۱-۲-۵ ترسیم دیاگرام‌های بود چهار فاکتور سیسی، پل،  $(1+sT)^{\pm 1}$ ،  $(s^2 + 2\xi\omega_n s + \omega_n^2)^{\pm 1}$  که در توابع تبدیل سیستم‌ها ظاهر می‌شوند، بررسی شد. در عمل بسیاری از سیستم‌ها از یک یا چند فاکتور اشاره شده تشکیل می‌شوند. ترسیم دیاگرام‌های بود بدیل ماهیت جمع و تفییق شرمنگی دیاگرام‌های بود بر روی مختصات لگاریتمی برای این سیستم‌ها بسیار ساده است. ترسیم دیاگرام‌های بود شامل مراحل زیر است:

- ۱- تابع تبدیل را به صورت حاصلضرب عوامل بخش ۱-۲-۱ بیان کنید.
- ۲- عوامل را به صورت مناسب پاسخ فرکانسی که در آن عبارات ثابت یک باشند، در آورید.

۳- در تابع تبدیل  $\omega = j\omega$  را جایگزین کنید.

۴- فرکانس‌های شکست را در عوامل تعیین کنید.

- ۵- معادله‌های لگاریتم دامنه و زاویه فاز را برای تابع تبدیل داده شده بدست آورید.
- ۶- با بکارگیری معادله‌های لگاریتم دامنه و فاز بدست آمده از مرحله ۵، برای یک گستره فرکانسی مناسب، دامنه و زاویه فاز تابع تبدیل را محاسبه کنید. مقادیر انتخاب شده فرکانس به فرکانس‌های شکست تابع تبدیل بستگی خواهند داشت.
- گستره فرکانسی انتخاب شده معمولاً به ترتیب دو دهه بالا و دو دهه پایین بزرگترین و کوچکترین فرکانس‌های شکست را در بر می‌گیرد.

۷- با استفاده از جدول بدست آمده از مرحله ۶ دیاگرام بود را رسم کنید.

همچنین می‌توان با استفاده از مجانبهای فرکانس بالا و پایین نمودارهای دامنه و فاز، یک شمای کلی و تقریبی از دیاگرام بود، قبل از رسم دقیق آن، ترسیم نمود. شایان ذکر است که امروزه با بکارگیری نرم افزارهای مناسب، ترسیم دیاگرام‌های بود تابع تبدیل بسیار پیچیده نیز به سرعت و با دقت بالا امکان پذیر است.

### مثال ۱۱-۵

تابع تبدیل زیر را در نظر بگیرید

$$G(s) = \frac{5(s+3)}{s(s+0.5)(s^2+s+2)}$$

این تابع تبدیل به صورت حاصلضرب عوامل بخش ۱-۲-۵ است، لیکن عوامل آن به صورت مناسب پاسخ فرکانسی نمی‌باشند. بازنویسی تابع تبدیل به صورت مناسب داریم

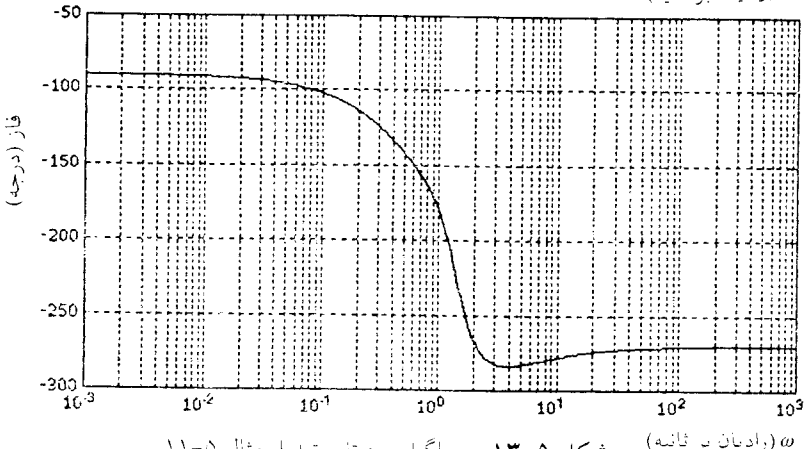
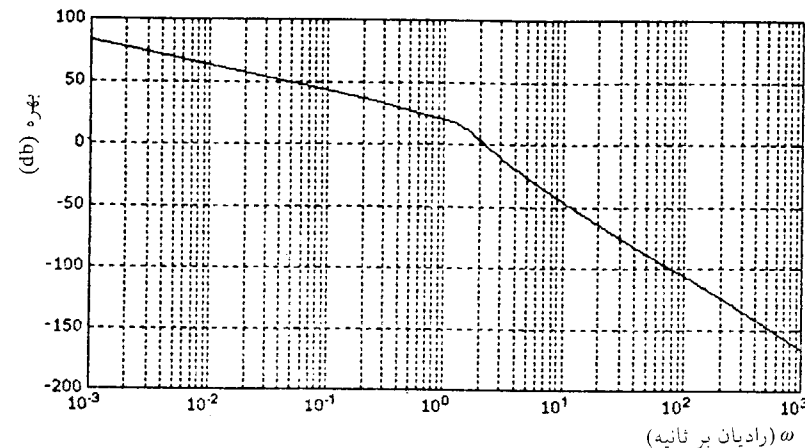
$$G(j\omega) = \frac{15((j\omega)/3+1)}{(j\omega)(j\omega+1/2+1)(j\omega+1/2+1)}$$

جدول ۱۱-۵ مشخصه‌های مربوط به هر عامل را لیست کرده است. برای رسم دقیق دیاگرام بود، نخست مجانبهای نمودارهای لگاریتم دامنه و نمودار فاز هر کدام از عوامل تابع تبدیل را رسم می‌کنیم. برای بدست آوردن مجانبهای نمودارهای لگاریتم دامنه و نمودار فاز کل تابع تبدیل این مجانبهای نمودارها را با هم به طور جبری جمع می‌کنیم. برای رسم نمودار دقیق لگاریتم دامنه، می‌توان جدولی همانند جدولهای مثالهای قبیل تنظیم نمود و مقدار دقیق لگاریتم دامنه تابع تبدیل را با جمع جبری مقادیر لگاریتم دامنه عوامل در فرکانس‌های مختلف بدست آورد. همچنین برای رسم نسبتاً دقیق لگاریتم دامنه تابع تبدیل، می‌توان مقادیر فرکانس‌های مختلف را در یک اکتا و پایین و بالای فرکانس شکست هر فاکتور تعیین نمود. رسم دقیق لگاریتم دامنه تابع تبدیل در شکل ۱۳-۵ آورده شده است.

توجه کنید که در فرکانس‌های پایین  $\omega/5$ ، اولین فرکانس شکست، تنها عوامل مؤثر  $Lm(\omega)^{-1}$  می‌باشد و تمامی عوامل دیگر مقدار صفر دارند. در فرکانس  $5/\omega$  داریم  $Lm(\omega)^{-1} = 6/0^+$  و  $Lm(\omega)^{-1} = 23/5dB$  ولذا در این فرکانس نمودار دامنه تابع تبدیل مقدار

جدول ۱۱-۵ مشخصه‌های نمودارهای لگاریتمی دامنه و زاویه فاز برای عوامل مختلفه تابع تبدیل مثال ۱۱-۵.

مشخصه‌های زاویه	فرکانس شکست لگاریتمی دامنه	عوامل
ثابت $^{\circ}$	دامنه ثابت $+20/5\text{dB}$	$15$
ثابت $-90^{\circ}$	شیب ثابت $-20\text{dB}$ بر دمه	$(j\omega)^{-1}$
از $0^{\circ}$ تا $-90^{\circ}$	شیب صفر زیر فرکانس شکست و شیب $-20\text{dB}$ بر تغییر پیدا می‌کند	$\omega_1 = 0.5$ $(j2\omega + 1)^{-1}$
از $0^{\circ}$ تا $+90^{\circ}$ تغییر	دده بالاًی فرکانس شکست شیب صفر زیر فرکانس شکست و شیب $+20\text{dB}$ بر تغییر پیدا می‌کند	$\omega_2 = 3$ $((j\omega)/3 + 1)$
از $0^{\circ}$ تا $-180^{\circ}$ تغییر	برده بالاًی فرکانس شکست شیب صفر زیر فرکانس شکست و شیب $-40\text{dB}$ بر تغییر پیدا می‌کند	$\omega_3 = \sqrt{2} [(j\omega)^2/2 + (j\omega)/2 + 1]^{-1}$ $\xi = 0.3526$
	دده بالاًی فرکانس شکست	



شکل ۱۱-۵ دیاگرام بود تابع تبدیل مثال ۱۱-۵

۲۹/۰۵dB دارد. زیر فرکانس  $5/0$  نمودار دامنه تابع تبدیل دارای شبیه برابر  $-20$  dB بر ده می باشد که از عامل  $^{(j\omega)^{-1}}$  ناشی شده است. برای فرکانس های بالاتر از  $5/0$  عامل  $^{(j\omega+1)}$  یک شیب  $-20$  dB بر ده پیدا می کند که باید با شیب قبلی جمع گردد. بعد از این فرکانس ( $5/0$ ) شیب نمودار تا فرکانس شکست بعدی در  $\sqrt{2}$  تا  $40$  dB بر ده خواهد بود. در فرکانس های بالای  $\sqrt{2}$  رادیان بر ثانیه عامل درجه دوم مؤثر می شود و شبیه برابر با  $-40$  dB بر ده خواهد داشت. لذا شیب نمودار کلی دامنه از  $\sqrt{2}$  تا  $3$  رادیان بر ثانیه برابر با  $-80$  dB بر ده می باشد. مقدار دامنه در  $\sqrt{2}$  رادیان بر ثانیه برابر با  $17/5$  dB است. در فرکانس بالای  $3$  رادیان بر ثانیه، آخرین فرکانس شکست، عامل  $(3+1/(j\omega))$  مؤثر می شود و شیب  $+20$  dB بر ده را با شیب قبلی جمع می کند. بنابراین شیب نمودار دامنه در فرکانس های بالای  $3$  رادیان بر ثانیه برابر با  $-60$  dB بر ده می شود و مقدار دامنه در فرکانس  $80$  رادیان بر ثانیه برابر با  $-10$  dB است.

در رسم نمودار زاویه فاز از نکات زیر می توان استفاده کرد. عبارت  $^{(-)}(j\omega)$ ، زاویه  $90^\circ$  خواهد داشت. (در واقع زاویه عبارت  $^{(-m)}(j\omega)$  برابر با  $90^\circ - m$  خواهد بود) برای عبارت  $^{(\pm 1+j\omega T)}$ ، در این حالت  $T$  برابر با  $2$  و  $1/3$  است، زوایای دقیق فاز را یک اکتاو بالا و یک اکتاو پایین، یک دهه بالا و یک دهه پایین فرکانس های شکست بدست آورید و یک منحنی بین هر کدام از آنها رسم کنید. برای عبارت درجه دوم نیز، پس از تعیین  $\theta$  و مراجعة به شکل ۱۲-۵ چند فرکانس را برای محاسبه دقیق زاویه فاز تعیین کنید و در این فرکانس ها زاویه فاز را به دست آورید. نمودار فاز کلی سیستم با جمع جبری کردن نمودار های فاز عوامل به دست می آید. روابط زیر می توانند در رسم نمودار فاز بکار گرفته شوند:

$$\angle \lim_{\omega \rightarrow 0} G(j\omega) = (-m) 90^\circ \quad (17-2-5)$$

که در آن  $m$  نوع سیستم است و

$$\angle \lim_{\omega \rightarrow \infty} G(j\omega) = -(n-m) 90^\circ \quad (18-2-5)$$

که در آن  $n$  درجه مخرج تابع تبدیل و  $m$  درجه صورت تابع تبدیل است.

### ۳-۲-۵ سیستم‌های غیر می‌نیمم فاز

تابع تبدیلی که صفرها و قطبها ای آنها پایدار است (کلیه صفرها و قطبها محدود آنها در سمت چپ محور موهومی قرار دارند)، تابع تبدیل می‌نیمم فاز<sup>۱</sup> هستند. سیستم‌هایی که تابع تبدیل می‌نیمم فاز دارند، سیستم‌های می‌نیمم فاز نامیده می‌شوند. اگر تابع تبدیلی یک یا چند صفر یا قطب نایاب داشته باشد، آن تابع تبدیل غیر می‌نیمم فاز است و سیستم‌هایی را که تابع تبدیل غیر می‌نیمم فاز دارند سیستم‌های غیر می‌نیمم فاز<sup>۲</sup> می‌نامند. سیستم‌های غیر می‌نیمم فاز با صفر نایاب را معکوس نایاب<sup>۳</sup> نیز نامیده‌اند.

به سادگی می‌توان نشان داد که مشخصه‌های دامنه دو تابع تبدیل می‌نیمم فاز و غیر می‌نیمم فاز (حداقل یک صفر یا قطب قرینه یکدیگر نسبت به محور موهومی) یکسان هستند. لیکن مشخصه فاز آنها با هم متفاوت است. در واقع زاویه فاز سیستم می‌نیمم فاز کمتر از زاویه فاز سیستم غیر می‌نیمم فاز است. هم‌چنین توجه کنید که تابع تبدیل یک سیستم می‌نیمم فاز به طور منحصر بفردی توسط مشخصه دامنه یا به عبارت دیگر نمودار دامنه آن، تعیین می‌گردد. حال آنکه برای تعیین تابع تبدیل یک سیستم غیر می‌نیمم فاز، نمودار زاویه فاز آن نیز باید در دسترس باشد.

برای نمونه تابع تبدیل دو سیستم به صورت زیر را در نظر بگیرید

$$G_1(j\omega) = \frac{1+j\omega T_1}{1-j\omega T_1} \quad G_2(j\omega) = \frac{1-j\omega T_2}{1+j\omega T_2} \quad (0 < T < T_1)$$

تشکیلات قطب - صفر این سیستم‌ها در شکل ۱۴-۵ نشان داده شده‌اند. از آنجاییکه

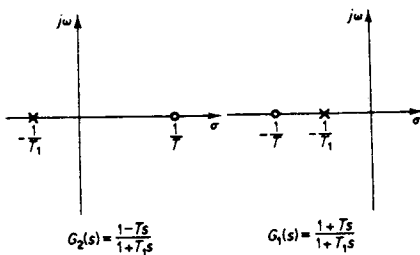
$$G_1(j\omega) = G_2(j\omega) \cdot \frac{1+j\omega T_1}{1-j\omega T_2}$$

و دامنه عامل  $(1-j\omega T_1)/(1+j\omega T_1)$  همواره واحد است، لذا مشخصه‌های دامنه این دو تابع تبدیل یکسان هستند. لیکن همانطور که در شکل ۱۵-۵ نمودارهای زاویه فاز این دو تابع تبدیل نشان داده شده است، این نمودارها با هم مطابقتی ندارند. دلیل این عدم تطابق آن است که زاویه فاز عامل  $(1-j\omega T_1)/(1+j\omega T_1)$  برابر با  $2\tan^{-1}\omega T_1$  است، که به ازاء تغییرات  $\omega$  از

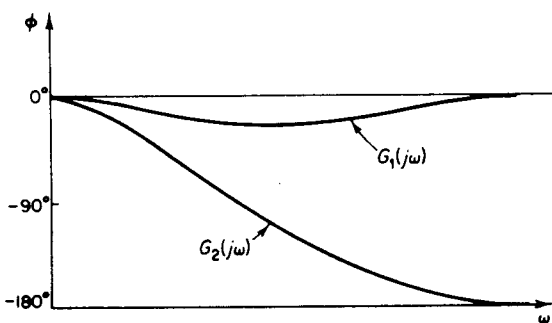
1- Minimum phase

2- Nonminimum phase

3- Inverse unstable



شکل ۱۴-۵ تشکیلات قطب و صفر



شکل ۱۵-۵ مشخصه‌های زاویه فاز

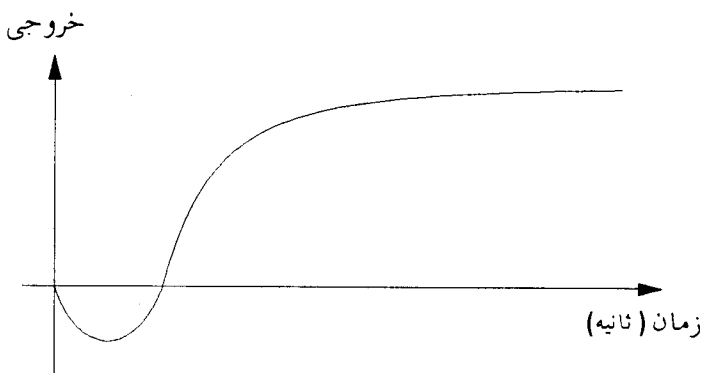
صفر تا بی‌نهایت، از  $0^\circ$  تا  $180^\circ$  تغییر می‌کند.

بنابراین اگر نمودار دامنه یک سیستم می‌نیمم فاز، بر روی گستره فرکانسی از صفر تا بی‌نهایت داده شده باشد، نمودار فاز آن را می‌توان به طور منحصر بفردی تعیین کرد و بالعکس. توجه کنید که این مطلب برای سیستم‌های غیر می‌نیمم فاز درست نیست.

برای یک سیستم می‌نیمم فاز، زاویه فاز در  $\omega = \infty$  برابر با  $(n-m)\pi - 90^\circ$  است، که در آن  $m$  و  $n$  به ترتیب درجه‌های چند جمله‌ای صورت و مخرج تابع تبدیل هستند. برای یک سیستم غیر می‌نیمم فاز این مطلب درست نیست. لیکن در هر دو سیستم، شیب منحنی لگاریتم دامنه در  $\omega = \infty$  برابر با  $(n-m) - 20 \text{ dB}$  بر ده است. بنابراین می‌توان برای یک سیستم، با بررسی شیب مجانب فرکانسی بالای منحنی لگاریتم دامنه و زاویه فاز آن در  $\omega = \infty$  به می‌نیمم یا غیر می‌نیمم فاز بودن آن پی برد. اگر شیب منحنی لگاریتم دامنه به ازاء  $\omega$  به سمت بی‌نهایت برابر با  $(n-m) - 20 \text{ dB}$  بر ده باشد و زاویه فاز در  $\omega = \infty$  برابر با  $(n-m)\pi - 90^\circ$  باشد، آنگاه سیستم

می نیم فاز است.

یکی دیگر از مشخصه های مهم سیستم های پایدار غیر می نیم فاز، کندتر بودن پاسخ آنها نسبت به سیستم می نیم فاز متناظر است. پاسخ پله این سیستم ها همانگونه که در شکل ۱۶-۵ نشان داده شده است، (برای یک صفر ناپایدار) نخست در جهت خلاف حرکت می کند و به همین دلیل اینگونه سیستم ها دارای عکس العمل اولیه ای در جهت خلاف حرکت پاسخ هستند. بنابراین در طراحی سیستم های کنترل، اگر سرعت پاسخ سیستم از پارامتر های مهم آن باشد، باید از بکارگیری عناصر غیر می نیم فاز خودداری نمود.



شکل ۱۶-۵ پاسخ پله واحد یک سیستم غیر می نیم فاز پایدار (یا یک صفر ناپایدار)

#### ۴-۲-۵ سیستم های تأخیر دار

همانطور که در فصلهای قبل نیز اشاره شد، بسیاری از سیستم های کنترل دارای تأخیر زمانی هستند و زمان تأخیر بنابر تعریف زمانی است که لازم است بگذرد تا خروجی سیستم به ورودی آن پاسخ دهد. تابع تبدیل یک عنصر تأخیر خالص عبارتست از

$$G(s) = e^{-sT} \quad (۱۹-۲-۵)$$

که در آن  $T$  زمان تأخیر است. با جایگزینی  $s = j\omega$  در معادله (۱۹-۲-۵) داریم

$$\begin{aligned} G(j\omega) &= e^{-j\omega T} \\ &= \cos \omega T - j \sin \omega T \end{aligned} \quad (۲۰-۲-۵)$$

برای ترسیم نمودار بود باید معادله های متناظر با لگاریتم دامنه و زاویه فاز را برای عنصر

تأخير بدست آوریم. از این‌رو

$$\begin{aligned} |G(j\omega)| &= \sqrt{\cos^2\omega T + \sin^2\omega T} \\ &= 1 \\ 20 \log |G(j\omega)| &= 20 \log 1 = 0 \end{aligned} \quad (21-2-5)$$

و

$$\begin{aligned} \angle G(j\omega) &= \tan^{-1} \left( \frac{-\sin \omega T}{\cos \omega T} \right) \quad (22-2-5) \\ &= -\omega T \quad (\text{رادیان}) \\ &= -5\pi/3\omega T \quad (\text{درجه}) \end{aligned}$$

بنابراین از معادله (۲۲-۲-۵) داریم که زاویه فاز به طور خطی با فرکانس  $\omega$  تغییر می‌کند. هم‌چنین معادله (۲۱-۲-۵) نشان می‌دهد که تأخیر تغییری در لگاریتم دامنه سیستم ایجاد نمی‌کند.

### مثال ۱۲-۵

سیستم کنترل نشان داده شده در شکل ۱۷-۵ را در نظر بگیرید. برای  $T=2$  (ثانیه)، نمودار بود تابع تبدیل سیستم را رسم کنید.  
تابع تبدیل حلقه - باز سیستم عبارتست از

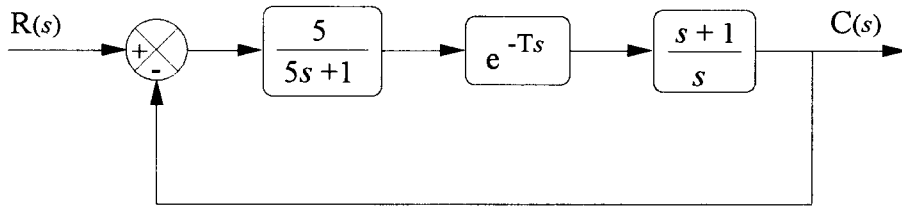
$$G(s)H(s) = \frac{5(s+1)e^{-rs}}{s(5s+1)}$$

با جایگزینی  $s=j\omega$  داریم

$$G(j\omega)H(j\omega) = \frac{5(j\omega+1)e^{-rj\omega}}{j\omega(5j\omega+1)}$$

بنابراین معادله‌های دامنه و زاویه فاز عبارتند از

$$20 \log |G(j\omega)H(j\omega)| = 20 \log \left| \frac{5(j\omega+1)e^{-rj\omega}}{j\omega(5j\omega+1)} \right|$$



شکل ۱۷-۵ سیستم کنترل مثال ۱۲-۵

و یا

$$\text{Lm}G(j\omega)H(j\omega) = 2 \cdot \log \omega + 2 \cdot \log \sqrt{\omega^2 + 1} - 2 \cdot \log \omega - 2 \cdot \log \sqrt{(\Delta\omega)^2 + 1}$$

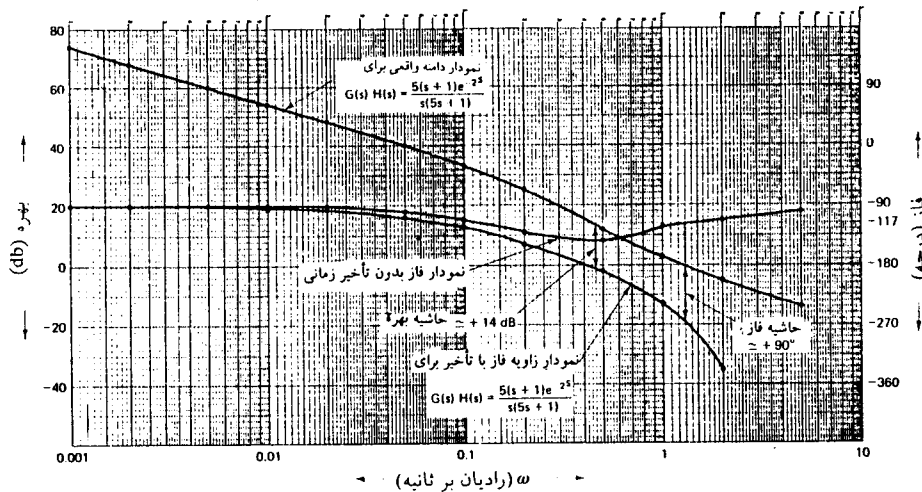
$$\begin{aligned}\angle G(j\omega)H(j\omega) &= \tan^{-1} \frac{\omega}{1} - \omega - \tan^{-1} \frac{\omega}{1} - \tan^{-1} \frac{\Delta\omega}{1} \\ &= -90^\circ - \omega - \tan^{-1} \frac{\Delta\omega}{1} + \tan^{-1} \frac{\omega}{1}\end{aligned}$$

با جایگزینی مقادیر  $\omega$  از ۰/۰۰۱ تا ۵ رادیان بر ثانیه جدول ۱۲-۵ را از معادله های بالا تشکیل می دهیم

جدول ۱۲-۵ داده های مثال ۱۲-۵

فرکانس $\omega$ (رادیان بر ثانیه)	دامنه (dB)	زاویه فاز (درجه) بدون تأخیر زمانی	زاویه فاز (درجه) با تأخیر زمانی
-۹۰/۳۵	۷۳/۹۸	-۹۰/۲۳	-۹۰/۰۰۱
-۹۰/۶۹	۶۷/۹۶	-۹۰/۴۶	-۹۰/۰۰۲
-۹۱/۷۲	۶۰	-۹۱/۱۴	-۹۰/۰۰۵
-۹۳/۴۴	۵۳/۹۷	-۹۲/۲۹	-۹۰/۰۱
-۹۶/۸۶	۴۷/۹۷	-۹۴/۵۶	-۹۰/۰۲
-۱۰۶/۹	۳۹/۷۵	-۱۰۱/۲	-۹۰/۰۵
-۱۲۲/۳۲	۳۳/۱	-۱۱۰/۸۶	-۹۰/۱
-۱۴۶/۶۱	۲۵/۱۲	-۱۲۳/۶۹	-۹۰/۲
-۱۸۸/۹۳	۱۲/۳۷	-۱۳۱/۶۳	-۹۰/۵
-۲۳۸/۲۹	۲/۸۴	-۱۲۳/۶۹	-۹۰/۰
-۳۴۰/۰۶	-۵/۰۹	-۱۱۰/۸۶	-۹۰/۰
-۶۷۲/۰۲	-۱۳/۸۲	-۹۹/۰۲	-۹۰/۰

داده‌های جدول ۱۲-۵ برای رسم نمودار بود بکار گرفته می‌شوند. نمودارهای لگاریتم دامنه و زاویه فاز این سیستم در شکل ۱۸-۵ نشان داده شده‌اند. در شکل ۱۸-۵ نمودار زاویه فاز بدون تأخیر نیز رسم شده است، این دو نمودار را با هم مقایسه کنید.



شکل ۱۸-۵ نمودار بود سیستم تأخیردار داده شده در مثال ۱۲-۵

### ۱۲-۵-۵ شناسایی تابع تبدیل سیستم توسط دیاگرام بود

یکی از کاربردهای دیاگرام‌های بود، شناسایی توابع تبدیل سیستم‌های ناشناخته<sup>۱</sup> است. اگر به سیستم خطی (یا سیستم غیرخطی در محدوده نقطه کار که همانند یک سیستم خطی رفتار می‌کند) ورودی سینوسی وارد شود، خروجی سیستم نیز در حالت ماندگار، سینوسی با همان فرکانس ولی دامنه و فاز متفاوت خواهد بود. همانطور که در مقدمه این فصل اشاره شد و در شکل ۱-۵ نشان داده شده است، نسبت دامنه خروجی به دامنه ورودی در هر فرکانس در نظر گرفته شده، برابر است با دامنه تابع تبدیل سیستم ناشناخته  $|G(j\omega)|$  در آن فرکانس و تفاوت بین زاویه فاز ورودی و زاویه فاز خروجی نیز زاویه فاز تابع تبدیل  $\angle G(j\omega)$  در آن فرکانس می‌باشد. حال اگر این مقادیر را برای یک گستره فرکانسی به اندازه کافی بزرگ انجام دهیم، می‌توان در هر فرکانس دامنه و فاز تابع تبدیل را تعیین نمود و دیاگرام بود (نمودارهای

لگاریتم دامنه و زاویه فاز) را رسم کرد. نحوه رسم دیاگرام بود بدین صورت است که پس از علامتگذاری نقاط بدست آمده در صفحه‌های نیمه لگاریتمی، خطهای مستقیم با شبیهایی که مضربی از  $\pm 20$  dB بوده می‌باشند را رسم می‌کنیم. برای داده‌های زاویه فاز نیز بهترین منحنی را بین داده‌ها رسم می‌کنیم. با رسم این منحنیها نمودار تقریبی بود تابع تبدیل ناشناخته بدست می‌آید و سپس با بکارگیری خواص دیاگرام بود می‌توان تابع تبدیل سیستم را تعیین نمود.

پس از رسم دیاگرام بود با استفاده از قوانین ساده‌ای می‌توان تابع تبدیل را با شروع از فرکانس‌های پایین به بالا بازسازی نمود. قواعد زیر می‌توانند در این راستا سودمند واقع گردند:

۱- نوع سیستم را می‌توان از شیب نمودار لگاریتم دامنه در فرکانس‌های پایین تعیین نمود. در حقیقت شبیهای نمودار لگاریتم دامنه در فرکانس‌های پایین، متناظر با نوع سیستم عبارتند از

سیستم نوع صفر:  $0$  dB برد

سیستم نوع یک:  $-20$  dB برد

سیستم نوع دو:  $-40$  dB برد

۲- با تغییر شیب در یک فرکانس مشخص (یا حوالی آن) می‌توان به وجود عامل جدیدی پی برد و فرکانس شکست متناظر با آن را تعیین نمود. اگر این تغییر  $\pm 20$  dB برد باشد، عبارت درجه اولی به صورت  $(1+Ts)^{\pm}$  در تابع تبدیل وجود دارد و اگر تغییر  $\pm 40$  dB برد باشد، نماینگر وجود یک عبارت درجه دوم در صورت یا مخرج است. برای تشخیص اینکه عبارت درجه دو به صورت  $(1+Ts)^{\pm}$  یا به صورت  $[1+2\zeta/\omega_n s + s^2/\omega_n^2]$  می‌باشد، باید از تعداد پیشتری از نقاط استفاده کرد. دیاگرام‌های بود میرای ضعیف ( $<1$ ) در نزدیکی  $\omega_n$  و همچنین میرای شدید ( $>1$ ) و میرای بحرانی ( $=1$ ) در شکل ۱۲-۵ نشان داده شده است. با مطابقت با این شکل می‌توان پارامترهای یک سیستم درجه دوم را شناسایی کرد.

۳- در تعیین صفرها و قطبهای ناپایدار در صورت وجود باید دقت خاصی را مبذول داشت. توجه کنید که توابع  $T = j\omega + 1$  و  $T = \omega^2 + j\omega$  دارای نمودار لگاریتم دامنه بکسانی هستند. لیکن نمودار زاویه فاز آنها به ترتیب از  $90^\circ$  و  $0^\circ$  تا  $-90^\circ$  تغییر می‌کند. بنابراین اگر بدانیم که سیستم پایدار و می‌نیمم فاز است از نمودار لگاریتم دامنه به تنها یک می‌توان برای شناسایی تابع تبدیل استفاده کرد و حال آنکه برای شناسایی تابع تبدیل ناپایدار و یا غیر می‌نیمم فاز، رسم نمودار فاز نیز الزامی است. توجه کنید که برای سیستم‌های می‌نیمم فاز به ازاء میل کردن  $\omega$  به سمت بی‌نهایت، زاویه فاز برابر با  $(\text{تفاضل درجه مخرج و صورت تابع تبدیل}) \times 90^\circ$  می‌باشد و حال آنکه برای سیستم‌های غیر می‌نیمم فاز این رابطه برقرار نیست. برای سیستم‌های می‌نیمم فاز و غیر می‌نیمم فاز شبیه نمودار لگاریتم دامنه از فرکانس‌های بالا برابر با  $(\text{تفاضل درجه مخرج و صورت تابع تبدیل}) \times 20 \text{ dB}$  برابر باشد و دهه است.

۴- تعیین بهره ثابت  $K_n$ . تابع تبدیل کلی سیستم از مراحل بالا به صورت زیر بدست می‌آید

$$G(j\omega) = \frac{K_n(1+T_z j\omega) \dots [1 + 2(\xi_z/\omega_{nz})j\omega + (j\omega)^2/\omega_{nz}^2] \dots}{(j\omega)^n (1+T_p j\omega) \dots [1 + 2(\xi_p/\omega_{np})j\omega + (j\omega)^2/\omega_{np}^2] \dots} \quad (23-2-5)$$

برای فرکانس‌های پایین از معادله (۲۳-۲-۵) داریم

$$G(j\omega) \approx \frac{K_n}{(j\omega)^n} \quad (\omega \rightarrow 0) \quad (24-2-5)$$

همانطور که از معادله (۲۴-۲-۵) مشاهده می‌گردد، بهره  $K_n$  را می‌توان از قسمت فرکانس پایین نمودار لگاریتم دامنه تعیین کرد. از آنجاییکه اکثریت سیستم‌های عملی و کاربردی نوع صفر، یک و یا دو هستند، به عبارت دیگر  $n=1, 2, 0$ ، در اینجا روش‌های تعیین بهره را برای این سیستم‌ها ارایه می‌کنیم.

$n=0$ : از معادله (۲۴-۲-۵)، بدست می‌آوریم

$$G(j\omega) = K_0 \quad (\omega \rightarrow 0) \quad (25-2-5)$$

بنابراین برای مقادیر کوچک فرکانس  $\omega$ ، مجانب فرکانس پایین لگاریتم دامنه یک مقدار ثابت  $K$  دارد.

۱: از معادله (۲۶-۲-۵)، بدست می‌آوریم

$$G(j\omega) = \frac{K}{j\omega} \quad (\omega \rightarrow 0) \quad (26-2-5)$$

لذا از معادله (۲۶-۲-۵)، داریم

$$\log |G(j\omega)| = \log K - \log \omega \quad (27-2-5)$$

توجه کنید که برای  $\omega = 1$  از معادله (۲۷-۲-۵)، داریم  $\log |G(j)| = \log K$  و لذا با رسم یک خط مستقیم عمودی از  $\omega = 1$  و تقاطع آن با مجانب فرکانس پایین مقدار  $\log K$  تعیین می‌گردد.

۲: از معادله (۲۶-۲-۵)، بدست می‌آوریم

$$G(j\omega) = \frac{K}{(\omega)^n} = \frac{K}{\omega^n} \quad (28-2-5)$$

و لذا با لگاریتم گرفتن از طرفین معادله (۲۸-۲-۵)، داریم

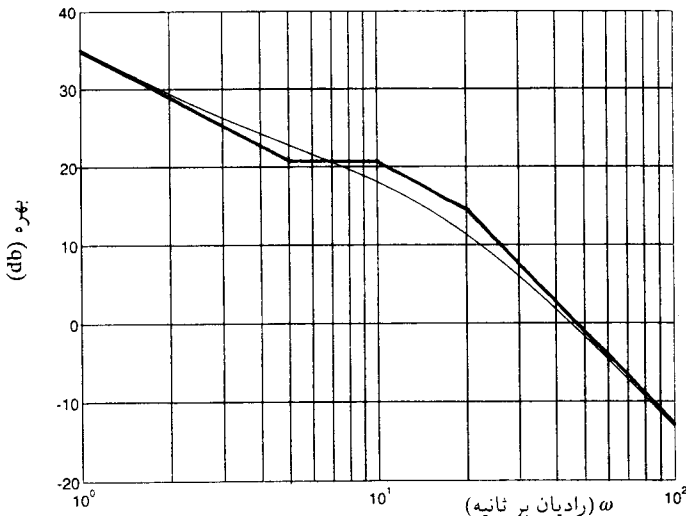
$$\log |G(j\omega)| = \log K - n \log \omega \quad (28-2-5)$$

همانند حالت ۱، در  $n=1$  داریم  $\omega = 1$  و لذا با رسم یک خط مستقیم عمودی از  $\omega = 1$  و تقاطع آن با مجانب فرکانس پایین مقدار  $\log K$  تعیین می‌گردد.

### مثال ۱۳-۵

نمودار لگاریتم دامنه یک سیستم می‌نیمم فاز و پایدار در شکل ۱۹-۵ رسم شده است. تابع تبدیل آنرا بدست آورید.

از رفتار قسمت فرکانسی پایین نمودار لگاریتم دامنه، مشاهده می‌شود که سیستم نوع یک است. با توجه به تغییرات شیب در فرکانس‌های ۵، ۱۰ و ۲۰، این فرکانس‌ها فرکانس‌های گوشش تابع تبدیل هستند. همچنین با توجه به شیب  $-20 \text{ dB}$  بر دهه بین فرکانس‌های ۱/۰ تا ۵ رادیان بر ثانیه،  $-20 \text{ dB}$  بر دهه بین فرکانس‌های ۵ تا ۱۰ رادیان بر ثانیه،  $-20 \text{ dB}$  بر دهه بین



- شکل ۱۹-۵ نمودار لگاریتم دامنه رسم شده از داده های ورودی خروجی یک سیستم نامعلوم می نیم فاز

فرکانس های ۱۰ تا ۲۰ رادیان بر ثانیه و سرعت جامد  $40 \text{ dB}$  بر دهه سری فرکانس های بالاتر از  $20$  رادیان بر ثانیه ، در می باییم که تابع تبدیل به ترتیب شامل عبارات زیر است:

$$(1+0/0.5s)^{-1}, (1+0/1s)^{-1}, (1+0/2s)^{-1}, s^{-1}$$

بنابراین

$$G(s) = \frac{K_1(1+0/2s)}{s(1+0/1s)(1+0/0.5s)}$$

برای تعیین بهره ثابت  $K_1$  از معادله (۱۹-۵-۲۷)، و استفاده از نمودار شکل ۱۹-۵، داریم

$$\log |G(j\omega)| = 1/\sqrt{5} = \log K_1$$

و لذا  $K_1 = 56/2$  بهره ثابت تابع تبدیل است.

### ۳-۵ نمودارهای نایکوئیست

نمودار نایکوئیست<sup>۱</sup> یک تابع تبدیل  $G(j\omega)$ ، نمودار دامنه  $G(s)$  بر حسب زاویه فاز  $\angle G(j\omega)$  به ازاء تغییرات  $\omega$  از ۰ تا  $\infty$  است. نمودار نایکوئیست  $G(j\omega)$  را نمودار قطبی<sup>۲</sup> و نمودار قضبی<sup>۳</sup> می‌نامند. نمودار نایکوئیست، مکان هندسی بردارهای  $|G(j\omega)|$  و  $\angle G(j\omega)$  به ازاء تغییرات  $\omega$  از ۰ تا  $\infty$  است. توجه کنید که در نمودارهای نایکوئیست، زاویه فاز از محور حقیقی مثبت اندازه‌گیری می‌شود. اگر افزایش زاویه در جهت خلاف عقربه ساعت (جهت عقربه ساعت) باشد، زاویه مثبت (منفی) است.

#### مثال ۱۴-۵

تابع تبدیل زیر را در نظر بگیرید

$$G(s) = \frac{2(s+5)}{s(s+3)(s+1)}$$

برای بررسی پاسخ فرکانسی سیستم،  $\omega = j\omega$  را در تابع تبدیل جایگزین می‌کنیم. از این‌رو

$$G(j\omega) = \frac{2(j\omega + 5)}{j\omega(j\omega + 3)(j\omega + 1)}$$

بنابراین

$$|G(j\omega)| = \frac{\sqrt[1/2]{2(\omega^2 + 25)}}{\omega(\omega^2 + 9)^{1/2}(\omega^2 + 1)^{1/2}}$$

و

$$\angle G(j\omega) = \tan^{-1}\left[\frac{\omega}{5}\right] - 90^\circ \cdot \tan^{-1}\left[\frac{\omega}{3}\right] - \tan^{-1}\left[\frac{\omega}{1}\right]$$

تابع تبدیل  $G(j\omega)$  را می‌توان به طور مشابهی، برحسب قسمتهای حقیقی و موهومی آن نوشت. داریم

$$\begin{aligned} G(j\omega) &= \frac{-2j(j\omega + 5)(3 - j\omega)(1 - j\omega)}{\omega(\omega^2 + 9)(\omega^2 + 1)} \\ &= \frac{-2j[\omega(\omega^2 + 15) + j(-\omega^2 + 15)]}{\omega(\omega^2 + 9)(\omega^2 + 1)} \end{aligned}$$

ولذا

$$[G(j\omega)] = \frac{-20(\omega^2 + 17)}{(\omega^2 + 9)(\omega^2 + 1)}$$

$$[G(j\omega)] = \frac{20(\omega^2 - 15)}{\omega(\omega^2 + 9)(\omega^2 + 1)}$$

اکنون می‌توان نمودار نایکوئیست تابع تبدیل را با استفاده از چهار نقطه مهم زیر رسم کرد:  
۱- در  $\omega = 0$  داریم

$$|G(j\omega)| = \infty ; \quad \angle G(j\omega) = -90^\circ$$

$$\infty = \text{قسمت موهومند} [G(j\omega)] ; \quad -90^\circ = \text{قسمت حقیقی} [G(j\omega)]$$

بنابراین نمودار نایکوئیست با اندازه بی‌نهایت از زاویه فاز  $-90^\circ$  آغاز می‌شود.

جانب نمودار نایکوئیست بر روی محور حقیقی منفی در  $\frac{-340}{9}$  قرار دارد.

۲- در  $\omega = \infty$  داریم

$$|G(j\omega)| = 0 ; \quad \angle G(j\omega) = -180^\circ$$

$$0 = \text{قسمت موهومند} [G(j\omega)] ; \quad 0 = \text{قسمت حقیقی} [G(j\omega)]$$

بنابراین نمودار نایکوئیست به مبدأ مختصات قطبی با زاویه  $-180^\circ$  وارد می‌شود.

۳- برای تعیین نقطه احتمالی قطع محور حقیقی، زاویه فاز را برابر  $0^\circ$  یا  $180^\circ$  و

قسمت موهومند را برابر صفر قرار می‌دهیم. داریم

$$\frac{20(\omega^2 - 15)}{\omega(\omega^2 + 9)(\omega^2 + 1)} = 0$$

ولذا برای فرکانس  $\omega = \sqrt{15}$ ، بدست می‌آوریم

$$[G(j\omega)] = \frac{-20(15+17)}{(15+9)(15+1)} = -\frac{5}{3}$$

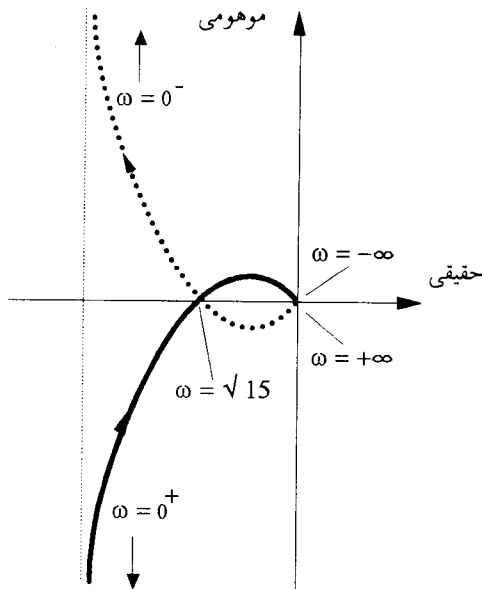
۴- برای تعیین نقطه احتمالی قطع محور موهومند زاویه فاز را برابر  $90^\circ \pm 90^\circ$  و قسمت

حقیقی را برابر صفر قرار می‌دهیم، داریم

$$\frac{-20(\omega^2 + 17)}{(\omega^2 + 9)(\omega^2 + 1)} = 0$$

که به ازاء هیچ فرکانس حقیقی برآورده ننموده است، لذا نقطه قطع با محور موهومی وجود ندارد.

با استفاده از نکات بدست آمده، نمودار نایکوئیست این تابع تبدیل در شکل ۲۰-۵ رسم شده است. هر نقطه بر روی نمودار نایکوئیست  $G(j\omega)$  نشان دهنده دامنه و فاز تابع تبدیل در یک فرکانس است. تصاویر  $G(j\omega)$  بر روی محورهای حقیقی و موهومی به ترتیب مؤلفه های حقیقی و موهومی  $G(j\omega)$  می باشند. در واقع برای رسم نمودار نایکوئیست، دامنه  $|G(j\omega)|$  و زاویه فاز  $\angle G(j\omega)$  باید مستقیماً در هر فرکانس بدست آورده شوند. یک مزیت نمودار نایکوئیست آن است که مشخصه های پاسخ فرکانسی سیستم را بر روی گستره کامل فرکانسی، در یک نمودار نشان می دهد.



شکل ۲۰-۵ نمودار نایکوئیست تابع تبدیل مثال ۱۴-۵

**۱-۳-۵ نمودارهای نایکوئیست سیستم‌های نوع صفر، یک و دو**  
نمودار نایکوئیست سیستم‌های نوع صفر. تابع تبدیل نوع صفر زیر را در نظر بگیرید

$$G(j\omega) = \frac{1}{1+j\omega T} = \frac{1}{\sqrt{1+\omega^2 T^2}} e^{-j\tan^{-1}\omega T} \quad (1-3-5)$$

مقادیر  $G(j\omega)$  در  $\omega = 0$  و  $\omega = 1/T$  به ترتیب عبارتند از  $\angle 0^\circ$  و  $G(j\circ) = 1\angle 0^\circ$  و  $G(j\omega) = \frac{1}{\sqrt{2}}\angle -45^\circ$  برای مقادیر  $\omega = 0$ ، دامنه  $G(j\omega)$  به سمت صفر میل کرده و زاویه آن به سمت  $-90^\circ$ -میل می‌کند. نمودار نایکوئیست اینتابع تبدیل یک نیم دایره است، که در شکل ۲۱-۵ میل می‌کند. نشان داده شده است.

اگر به تابع تبدیل ساده معادله (۲-۳-۵) یک قطب دیگر اضافه کنیم و بهره  $K$  را نیز برای آن در نظر بگیریم. داریم

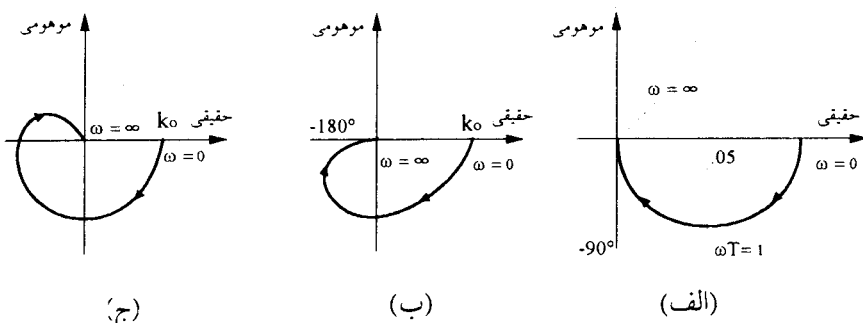
$$G(j\omega) = \frac{K_0}{(1+j\omega T_1)(1+j\omega T_2)} \quad (2-3-5)$$

از معادله (۲-۳-۵)، بدست می‌آوریم

$$G(j\omega) \rightarrow K_0 \angle 0^\circ \quad \omega \rightarrow 0$$

$$G(j\omega) \rightarrow 0 \angle -180^\circ \quad \omega \rightarrow \infty$$

توجه کنید که برای هر عبارت در مخرج تابع تبدیل داده شده با معادله (۲-۳-۵)، زاویه فاز از  $0$  تا  $-90^\circ$  به ازاء تغییرات  $\omega$  از  $0$  تا  $\infty$  تغییر می‌کند. لذا نمودار نایکوئیست اینتابع تبدیل از  $0^\circ$  شروع و با کاهش درجه از  $0$  به  $-90^\circ$  و سپس با  $-180^\circ$  به مبدأ صفحه قطبی وارد می‌شود. رسم دقیق نمودار نایکوئیست به مقادیر  $T_1$  و  $T_2$  بستگی دارد. رسم تقریبی نمودار نایکوئیست تابع تبدیل داده شده با معادله (۲-۳-۵) در شکل ۲۱-۵ (ب) نشان داده شده است.



شکل ۲۱-۵ (الف) نمودار نایکوئیست  $(1/(1+j\omega T_1))$  (ب) نمودار نایکوئیست تابع تبدیل معادله (۲-۳-۵) (ج) نمودار نایکوئیست تابع تبدیل معادله (۲-۳-۵)

اگر به تابع تبدیل داده شده با معادله (۳-۳-۵) یک قطب دیگر اضافه کنیم، داریم

$$G(j\omega) = \frac{K}{(1+j\omega T_1)(1+j\omega T_2)(1+j\omega T_3)} \quad (3-3-5)$$

دقت کنید که افزودن قطب سوم، موجب آن می‌شود که  $G(j\omega)$  در فرکانس‌های بالا  $\omega \rightarrow \infty$  به اندازه  $90^\circ$  در جهت عقربه ساعت بچرخد. به عبارت دیگر

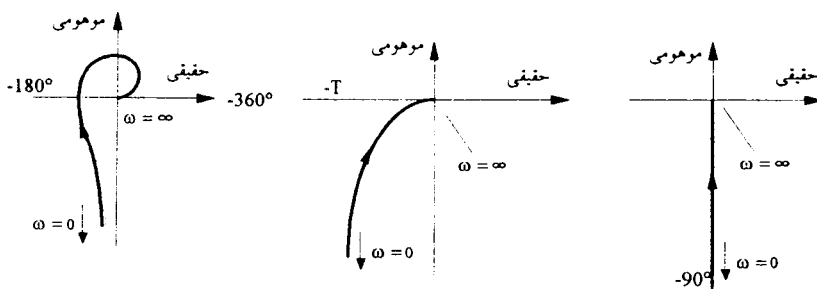
$$G(j\omega) \rightarrow 0 \angle -270^\circ \quad \omega \rightarrow \infty$$

در این حالت با محور حقیقی و موهومی نقاط قطع خواهیم داشت. رسم دقیق این تابع تبدیل نیز به مقادیر  $T_1$ ،  $T_2$  و  $T_3$  بستگی دارد ولی نمودار تقریبی نایکوئیست آن در شکل ۲۱-۵ (ج) نشان داده شده است.

نمودار نایکوئیست سیستم‌های نوع یک. تابع تبدیل نوع یک زیر را در نظر بگیرید

$$G(j\omega) = \frac{1}{j\omega} = -j\frac{1}{\omega} = \frac{1}{\omega} \angle -90^\circ \quad (4-3-5)$$

نمودار نایکوئیست این تابع تبدیل، محور موهومی منفی است و در شکل ۲۲-۵ (الف) نشان داده شده است.



(ج)

(ب)

(الف)

شکل ۲۲-۵ (الف) نمودار نایکوئیست  $G(j\omega) = \frac{1}{j\omega}$  (ب) نمودار نایکوئیست  $G(j\omega) = \frac{1}{j\omega(1+j\omega T)}$  (ج) نمودار نایکوئیست تابع تبدیل داده شده با معادله (۴-۳-۵)

اگر به تابع تبدیل داده شده با معادله (۴-۳-۵)، یک قطب اضافه کنیم، داریم

$$G(j\omega) = \frac{1}{j\omega(1+j\omega T)} \quad (5-3-5)$$

قسمت فرکانس پایین نمودار نایکوئیست،  $\omega \rightarrow 0$ ، عبارتست از

$$G(j\omega) \rightarrow \infty \angle -90^\circ \quad \omega \rightarrow 0$$

و قسمت فرکانس بالای آن عبارتست از

$$G(j\omega) \rightarrow 0 \angle -180^\circ \quad \omega \rightarrow \infty$$

نمودار تقریبی نایکوئیست این تابع تبدیل، در شکل ۲۲-۵ (ب) رسم شده است. خط عمودی موازی با محور موهومی، در نقطه  $T$ -، مجانب نمودار نایکوئیست است.

اگر به تابع تبدیل داده شده با معادله (۵-۳-۵)، دو قطب دیگر اضافه کنیم داریم

$$G(j\omega) = \frac{K_1}{j\omega(1+j\omega T_1)(1+j\omega T_2)(1+j\omega T_3)} \quad (6-3-5)$$

بنابراین در این حالت بdst می‌آوریم

$$G(j\omega) \rightarrow \infty \angle -90^\circ \quad \omega \rightarrow 0$$

$$G(j\omega) \rightarrow 0 \angle -360^\circ \quad \omega \rightarrow \infty$$

توجه کنید که هر کدام از عبارت مخرج تابع تبدیل  $\omega \rightarrow 0$  به مجموع زوایا در فرکانس‌های بالا اضافه خواهد کرد. وقت کنید که دامنه  $G(j\omega)$  به ازاء  $\omega \rightarrow \infty$  به سمت بی‌نهایت میل می‌کند. در واقع خطی موازی با محور موهومی منفی، به صورت مجانبی خواهد بود که  $G(j\omega)$  به سمت آن میل می‌کند. برای تعیین این مجانب باید مقدار قسمت حقیقی تابع تبدیل را در حد  $\omega \rightarrow \infty$  پیدا کنیم. بنابراین

$$\text{قسمت حقیقی} [G(j\omega)] = \lim_{\omega \rightarrow \infty} \text{مجانب} \quad (7-3-5)$$

و برای تابع تبدیل داده شده با معادله (۶-۳-۵)، بسادگی از معادله (۷-۳-۵) نشان داده می‌شود که مجانب تابع تبدیل در  $(T_1 + T_2 + T_3)K$ - قرار دارد. نمودار تقریبی نایکوئیست تابع تبدیل داده شده با معادله (۶-۳-۵) در شکل ۲۲-۵ (ج) نشان داده شده است.

نمودار نایکوئیست سیستم‌های نوع دو. تابع تبدیل نوع دو زیر را در نظر بگیرید

$$G(j\omega) = \frac{1}{(j\omega)^2} = \frac{1}{\omega^2} \angle -180^\circ \quad (8-3-5)$$

نمودار نایکوئیست این تابع تبدیل، محور حقیقی منفی است و در شکل ۲۳-۵ (الف)، نشان داده شده است.

اگر به تابع تبدیل داده شده با معادله (۸-۳-۵) دو قطب اضافه کنیم، داریم

$$G(j\omega) = \frac{K_2}{(j\omega)(1+j\omega T_1)(1+j\omega T_2)} \quad (9-3-5)$$

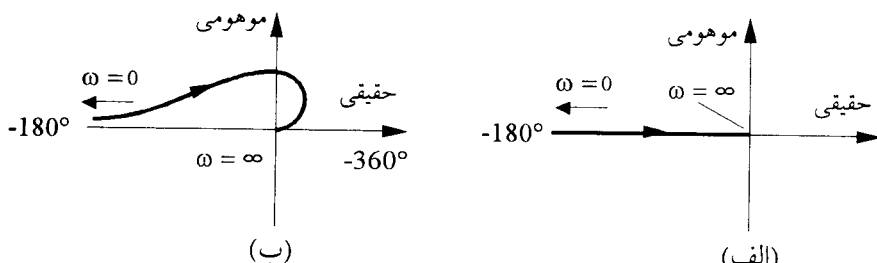
برای تابع تبدیل داده شده با معادله (۹-۳-۵)، داریم

$$G(j\omega) \rightarrow \infty \angle 180^\circ \quad \omega \rightarrow 0$$

$$G(j\omega) \rightarrow 0 \angle -360^\circ \quad \omega \rightarrow \infty$$

دقیت کنید که عبارت  $G(j\omega)$  در مخرج،  $-180^\circ$  به زاویه فاز  $G(j\omega)$  در کلیه فرکانس‌ها اضافه می‌کند. هر کدام از عبارات دیگر در مخرج  $-90^\circ$  به مجموع زوایا در فرکانس‌های بالا اضافه می‌کنند. شکل ۲۳-۵ (ب) نمودار تقریبی نایکوئیست این تابع تبدیل را نشان می‌دهد. به تابع تبدیل داده شده با معادله (۹-۳-۵)، یک قطب و صفر اضافه می‌کنیم. لذا

$$G(j\omega) = \frac{K_2(1+j\omega T_2)}{(j\omega)(1+j\omega T_1)(1+j\omega T_2)(1+j\omega T_3)} \quad (10-3-5)$$

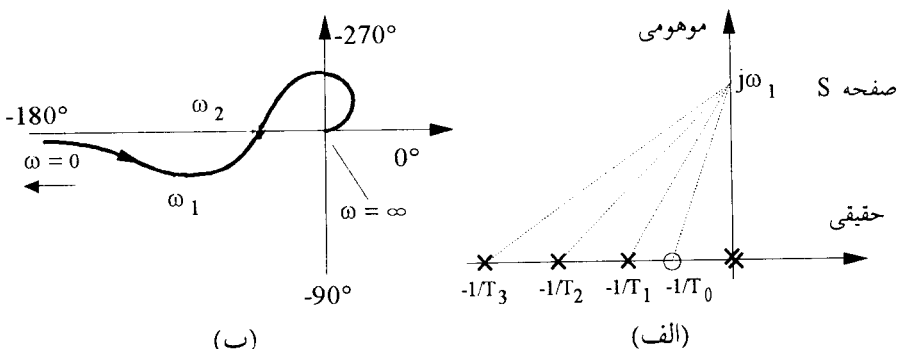


شکل ۲۳-۵ (الف) نمودار نایکوئیست تابع تبدیل  $\frac{1}{(j\omega)^2}$  (ب) نمودار نایکوئیست تابع تبدیل داده شده با معادله (۹-۳-۵)

که در آن  $T_3 > T_2 > T_1$  (توجه کنید که رسم دقیق نمودار نایکوئیست تنها با اطلاع از مقادیر  $T_1$ ,  $T_2$  و  $T_3$  امکان پذیر است). نمودار نایکوئیست تابع تبدیل را با استفاده از دیاگرام قطب - صفر نوعی نشان داده شده در شکل ۲۴-۵ (الف) رسم می کنیم.

در فرکانس  $\omega = 0$  زاویه هر کدام از عوامل تابع تبدیل، بجز قطب مضاعف در مبدأ صفر می باشد. بنابراین زاویه فاز تابع تبدیل در  $\omega = 0$   $-180^\circ$  است. با افزایش  $\omega$  از صفر، زاویه  $j\omega + 1/T$  از سایر عوامل سریعتر افزایش پیدا می کند و در حقیقت در فرکانس های یا بین زاویه ناشی از صفر بزرگتر از مجموع زوایای قطبها تابع تبدیل در سمت چپ صفر است (به شکل ۲۴-۵ (الف) مراجعه کنید). همانطور که در شکل ۲۴-۵ (ب) نشان داده شده است، در فرکانسی مانند  $\omega$  مجموع زوایای  $G(j\omega)$  برابر با  $-180^\circ$  خواهد شد و در این فرکانس نمودار نایکوئیست محور حقیقی را قطع می کند. با افزایش  $\omega$  و در فرکانس های بالا  $\omega \rightarrow \infty$ ، زاویه  $j\omega + 1/T$  تنها اندکی تغییر خواهد کرد و حال آنکه سایر قطبها سمت چپ آن به سرعت افزایش زاویه خواهند داشت و در حد  $\omega \rightarrow \infty$ ، زاویه فاز  $G(j\omega)$  به سمت  $-360^\circ$  میل می کند (دقیق کنید که از دو قطب در مبدأ  $-180^\circ$ ، از سه قطب دیگر  $-270^\circ$  و از صفر  $90^\circ$  خواهیم داشت). نمودار تقریبی نایکوئیست تابع تبدیل داده شده با معادله (۱۰-۳-۵) در شکل ۲۴-۵ (ب) نشان داده شده است.

توجه کنید که نحوه و ترتیب قرار گرفتن قطبها و صفرها بر روی محور حقیقی، شکل



شکل ۲۴-۵ (الف) دیاگرام قطب - صفر تابع تبدیل داده شده با معادله (۱۰-۳-۵) (ب) نمودار نایکوئیست تابع تبدیل داده شده با معادله (۱۰-۳-۵).

نهایی نمودار نایکوئیست را در محدوده فرکانسی  $0 \leq \omega \leq \infty$  تعیین می‌کند. بدون ذکر اثبات، در اینجا اشاره می‌کنیم که نمودار نایکوئیست یک سیستم نوع دو برای  $\omega > 0$  زیر محور حقیقی است اگر رابطه زیر برقرار باشد

$$(11-3-5) \quad (\text{مجموعه } T \text{ های مخرج}) - (\text{مجموعه } T \text{ های صورت})$$

برای تابع تبدیل داده شده با معادله (10-3-5)، شرط لازم آن است که  $T_s > T_r + T_c + T_p$ . اگر عبارت داده شده در (11-3-5) منفی باشد، نمودار نایکوئیست از بالای محور حقیقی شروع می‌شود. برای تابع تبدیل داده شده با معادله (9-3-5)، داریم  $(T_s + T_c) < 0$  و لذا از بالای محور حقیقی شروع شده است.

### ۲-۳-۵ نمودار نایکوئیست سیستم‌های تأخیردار

تابع تبدیل زیر را در نظر بگیرید

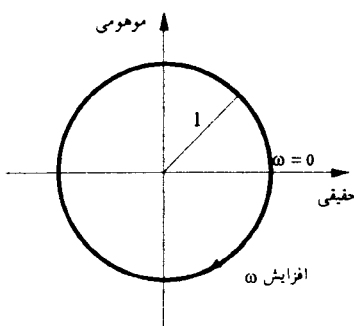
$$(12-3-5) \quad G(j\omega) = e^{-j\omega T}$$

عنصر تأخیر معادله (12-3-5)، را می‌توان به صورت زیر نوشت

$$(13-3-5) \quad G(j\omega) = 1 \angle (\cos \omega T - j \sin \omega T)$$

از آنجاییکه دامنه  $G(j\omega)$  هموار یک است و زاویه فاز به طور خطی با  $\omega$  تغییر پیدا می‌کند. نمودار نایکوئیست عنصر تأخیر همانطور که در شکل ۲۵-۵ نشان داده شده است، یک دایره واحد است.

دقت کنید که در فرکانس‌های پایین،  $\omega = 0$ ، عنصر تأخیر  $e^{j\omega T}$  و سیستم نوع یک



شکل ۲۵-۵ نمودار نایکوئیست عنصر تأخیر

$(1+j\omega T)$  همانند هم رفتار می‌کنند. نمودارهای نایکوئیست عنصر تأخیر وتابع تبدیل مرتبه اول نوع یک در شکل ۲۶-۵ نشان داده شده‌اند. دقت کنید که برای  $\omega/T < >$  داریم

$$e^{-j\omega T} \approx 1-j\omega T, \quad \frac{1}{1+j\omega T} \approx 1-j\omega T$$

### مثال ۱۵-۵

تابع تبدیل سیستم تأخیردار زیر را در نظر بگیرید

$$G(j\omega) = \frac{e^{-j\omega T}}{1+j\omega T}$$

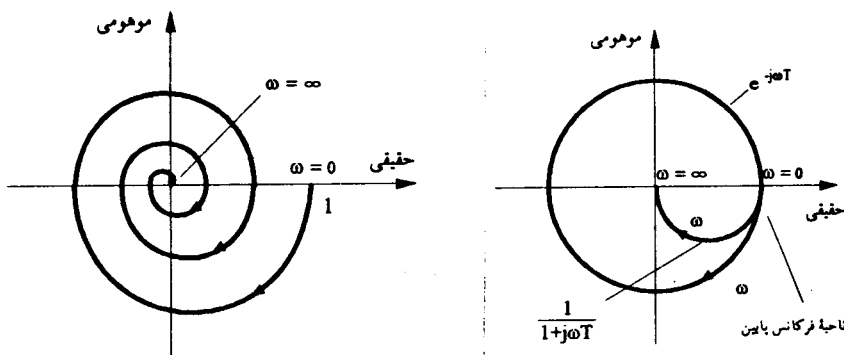
داریم

$$|G(j\omega)| = |e^{-j\omega T}| \left| \frac{1}{1+j\omega T} \right| = \frac{1}{\sqrt{1+\omega^2 T^2}}$$

$$\angle G(j\omega) = \angle e^{-j\omega T} + \angle \frac{1}{1+j\omega T} \\ = -\omega T - \tan^{-1} \omega T$$

و

از آنجاییکه دامنه به طور یکنواخت به سمت صفر و زاویه فاز نیز به طور یکنواخت و تابی نهایت کاهش پیدا می‌کند، نمودار نایکوئیست تابع تبدیل داده شده به صورت حلزونی است. نمودار نایکوئیست این تابع تبدیل در شکل ۲۷-۵، نشان داده شده است.



شکل ۲۷-۵ نمودارهای نایکوئیست عنصر  $e^{-j\omega T}/(1+j\omega T)$  تأخیر و تابع تبدیل مرتبه اول

### ۳-۳-۵ خلاصه‌ای از قواعد کلی رسم نمودارهای نایکوئیست

برای رسم نمودارهای نایکوئیست یک تابع تبدیل، از قواعد زیر می‌توان برای رسم قسمتهای اصلی آن استفاده کرد.

قاعده ۱- تابع تبدیل کلی به صورت زیر است

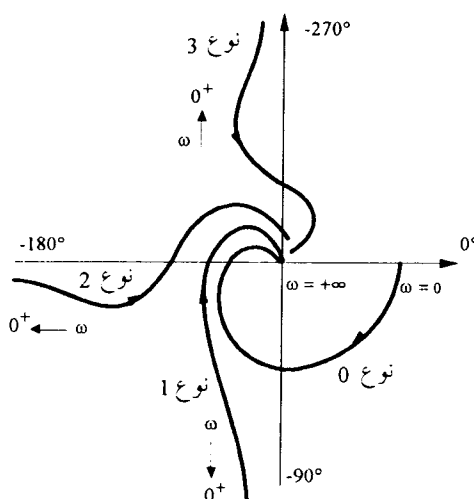
$$G(j\omega) = \frac{K_m(1+j\omega T_{z1})(1+j\omega T_{z2})\dots(1+j\omega T_{zm})}{(j\omega)^m(1+j\omega T_1)(1+j\omega T_2)\dots(1+j\omega T_u)} \quad (14-3-5)$$

تابع تبدیل داده شده از نوع  $m$  است و نوع تابع تبدیل، قسمت فرکانس پایین ( $G(j\omega)$ ) را تعیین می‌کند. مشخصه‌های فرکانس پایین نمودارهای نایکوئیست برای سیستم‌های نوع یک، دو و سه، در شکل ۲۸-۵ نشان داده شده‌اند.

قاعده ۲- قسمت فرکانس بالای نمودار نایکوئیست،  $\omega \rightarrow \infty$ ، را می‌توان بدین صورت تعیین کرد

$$G(j\omega) \rightarrow 0 \angle -w \cdot m \quad (15-3-5)$$

توجه کنید که درجه مخرج تابع تبدیل داده شده با معادله (۱۴-۳-۵) همواره بزرگتر از درجه صورت آن است، و لذا نقطه فرکانس بالا ( $\omega = \infty$ ) در جهت عقربه ساعت به سمت صفر میل خواهد کرد. نمودار ممکن است که از هر طرف محور وارد مبداء گردد. (شکل (۲۹-۵)).



شکل ۲۸-۵ نمودارهای نایکوئیست توابع تبدیل نوع صفر، یک، دو و سه.

قاعده ۳- مجذوب قسمت فرکانس پایین نمودار نایکوئیست یک سیستم درجه اول، با گرفتن حد  $\omega \rightarrow 0$  از قسمت حقیقی تابع تبدیل بدست می‌آید.

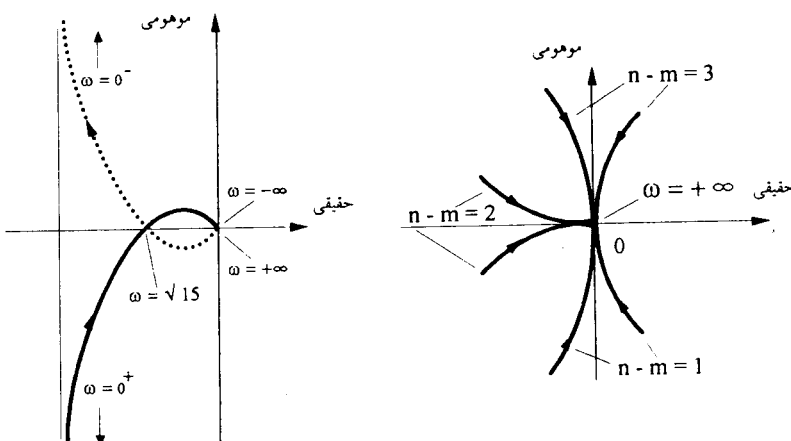
قاعده ۴- فرکانس‌هایی که در آنها نمودار نایکوئیست با محور حقیقی منفی و محور موهومی تلاقی دارند، به ترتیب از روابط زیر تعیین می‌گردند

$$\text{قسمت موهومی } [G(j\omega)] = 0. \quad (16-3-5)$$

$$\text{قسمت حقیقی } [G(j\omega)] = 0. \quad (17-3-5)$$

قاعده ۵- اگر کلیه  $T_{z\omega}, T_{z2}, \dots, T_{zN}$  صفر باشند و یا به عبارت دیگر تابع تبدیل صفر محدود نداشته باشد، زاویه  $G(j\omega)$  به طور پیوسته به ازاء  $\omega$  از  $0^\circ$  تا  $180^\circ$  کاهش پیدا می‌کند. اگر تابع تبدیل صفر محدود داشته باشد، شمای نمودار نایکوئیست به محل صفرها و قطبها بستگی خواهد داشت و زاویه ممکن است به طور پیوسته در یک جهت تغییر پیدا نکرده و لذا نوعی «تورفتگی» ایجاد کند.

قاعده ۶- نمودار نایکوئیست تابع تبدیل  $G(j\omega)$  یک سیستم خطی تغییرناپذیر با زمان برای  $\omega < 0$ ، حول محور حقیقی با محور نایکوئیست تابع تبدیل  $G(j\omega)$  برای  $\omega > 0$ ، متقارن است. بسادگی می‌توان از معادله (۱۶-۳-۵) نشان داد که  $G(-j\omega) = G^*(j\omega)$ ، که در آن  $*$  علامت مزدوج مختلط است. بنابراین اگر برای یک فرکانس مشخص مانند  $\omega = \sqrt{15}$   $G(j\omega) = \alpha + j\beta$  باشد، آنگاه  $G(-j\omega) = \alpha - j\beta$ . لذا نمودار پاسخ

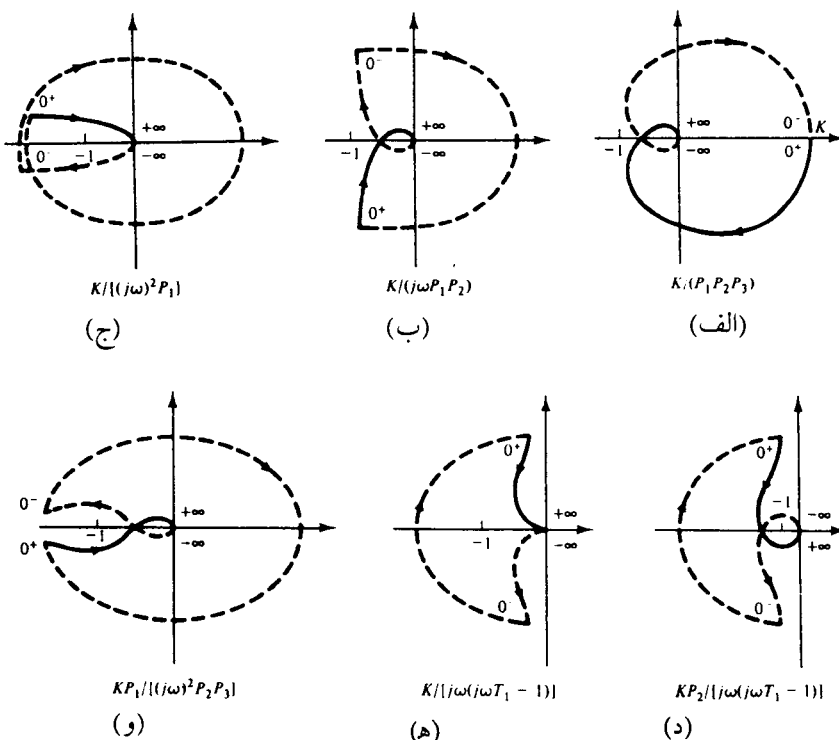


شکل ۲۹-۵ نمودار نایکوئیست در گسترده. شکل ۳۰-۵ نمودار نایکوئیست با فرکانس‌های مثبت و منفی.  
فرکانس بالا برای  $G(j\omega)$  با  $n - m = 3$  صفر محدود و  $n - m = 2$  قطب.

فرکانسی منفی حول محور حقیقی یا نمودار پاسخ فرکانسی مشتت متقارن خواهد بود.  
شکل ۳۰-۵ نمودار نایکوئیست تابع تبدیل مثال ۱۴-۵ را که در شکل ۲۰-۵ رسم شده بود، برای فرکانس‌های منفی تکمیل کرده است.

قاعده ۷- نمودار کامل نایکوئیست (قطبی) با وصل کردن قسمتهای وصل نشده منحنی نایکوئیست در بینهاست بدست می‌آید. دو قسمت نمودار نایکوئیست در بینهاست را توسط یک مسیر به هم وصل می‌کنیم، مسیر ارتباط دهنده در بینهاست همواره باید در جهت عقربه ساعت حرکت کند و همچنین باید به گونه‌ای باشد که مسیر در جهت افزایش فرکانس باشد. نمودارهای کامل نایکوئیست چندین سیستم در شکل‌های نشان داده شده در شکل ۳۱-۵ آورده شده‌اند. (برای تمرین می‌توانید کلیه این شکل‌ها را با بکارگیری قواعد داده شده رسم کنید).

$$P_i \equiv j\omega T_i + 1$$



شکل ۳۱-۵ نمودارهای کامل نایکوئیست چند سیستم نمونه

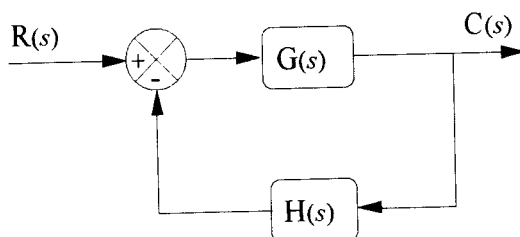
#### ۴-۵ معیار پایداری نایکوئیست

سیستم نشان داده شده در شکل ۳۲-۵ را در نظر بگیرید.تابع تبدیل سیستم حلقه - بسته بدین صورت داده می شود

$$\frac{C(s)}{R(s)} = \frac{G(s)}{1+G(s)H(s)} \quad (1-4-5)$$

و معادله مشخصه آن عبارتست از

$$1+G(s)H(s)=0 \quad (2-4-5)$$



شکل ۳۲-۵ یک سیستم حلقه - بسته

با جایگزینی  $H(s) = \frac{N_r(s)}{D_r(s)}$  و  $G(s) = \frac{N_1(s)}{D_1(s)}$  در معادله (۲-۴-۵)، که در آن  $N_i(s)$  و  $D_i(s)$  معرفی شدند، میتوان این معادله را به صورت زیر نوشت:

$$1 + \frac{N_1(s)N_r(s)}{D_1(s)D_r(s)} = \frac{D_1(s)D_r(s) + N_1(s)N_r(s)}{D_1(s)D_r(s)}$$

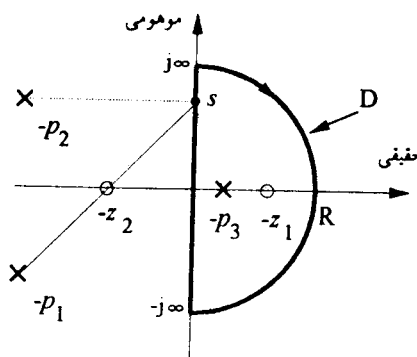
$$= \frac{K(s+z_1)(s+z_2)\dots}{(s+p_1)(s+p_2)\dots} \quad (3-4-5)$$

دقیق کنید که قطب‌های سیستم حلقه - بسته (ریشه‌های معادله - مشخصه)، صفرهای چند جمله‌ای  $1+G(s)H(s)=0$  هستند. اگر  $z_1, z_2, \dots, z_r$  معلوم باشند، با بررسی موقعیت آنها در صفحه  $s$  پایداری سیستم حلقه - بسته بسادگی تعیین می‌شود. در حالت کلی موقعیت قطب‌های  $1+G(s)H(s)=0$  که همان قطب‌های حلقه - بسته  $G(s)$  و  $H(s)$  هستند، معلوم بوده ولی موقعیت صفرهای  $1+G(s)H(s)=0$ ، که قطب‌های سیستم حلقه - بسته  $(z_1, z_2, \dots, z_r)$  هستند، معلوم نمی‌باشد.

فرض کنید که تشکیلات قطب - صفر سیستم حلقه - بسته به صورت نشان داده شده در شکل ۳۳-۵ باشد، که در آن موقعیت  $z$  ها در حالت کلی معلوم نیست. شرط لازم و کافی پایداری سیستم حلقه - بسته آن است که هیچکدام از صفرهای معادله (۳-۴-۵) در ناحیه داخل مسیر نایکوئیست<sup>۱</sup> قرار نگیرند، به عبارت دیگر هیچکدام از قطبهاي حلقه - بسته در محدوده نایکاری (سمت راست محور موهومنی) نباشند. مسیر نایکوئیست  $D$  همانطور که در شکل ۳۳-۵ نشان داده شده است، مسیری است که کلیه نیمه راست صفحه  $s$  را در بر می‌گیرد و شامل محور موهومنی از  $\infty j$ - تا  $-\infty j$  و یک نیمدايره با شعاع  $\infty$  در سمت راست صفحه است.

اساس تحلیل پایداری به روش نایکوئیست بر بررسی نمودار نایکوئیست  $(H(s) + G(s))$  در صفحه مختلف به ازاء تغییرات  $\omega$  هنگامی که یک بار در جهت عقربه ساعت دور مسیر  $D$  می‌چرخد، بنا نهاده شده است.

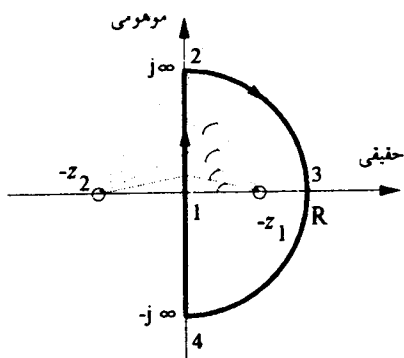
رسم نمودار نایکوئیست  $G(j\omega)H(j\omega)$  به ازاء تغییرات  $\omega$  از  $0^\circ$  تا  $180^\circ$  را در بخش ۳-۵ مفصلأ بررسی کردیم. در واقع نمودار نایکوئیست  $(H(j\omega) + G(j\omega))$  همان نمودار نایکوئیست  $(G(j\omega)H(j\omega))$  است، در حالیکه مبدأ صفحه  $s$  به نقطه  $1$ - بر روی محور حقیقی منفی انتقال داده شده باشد. همچنین نمودار نایکوئیست  $(1 + G(j\omega)H(j\omega))$ ، به ازاء تغییرات  $\omega$  از  $-180^\circ$  تا  $0^\circ$  دقیقاً تصویر نمودار  $(1 + G(j\omega)H(j\omega))$  است، به ازاء تغییرات  $\omega$  از  $0^\circ$  تا  $180^\circ$  حول



شکل ۳۳-۵ مسیر نایکوئیست

محور حقیقی است (خاصیت تقارن نمودارهای نایکوئیست، قاعده ۶ بخش ۳-۵). برای آن قسمت از مسیر نایکوئیست که در طول نیم‌دایره با شعاع  $\infty \rightarrow R$  قرار دارد، مقدار  $1+G(j\omega)H(j\omega)$  ثابت و معمولاً برابر یک است، زیرا از نظر تحقق پذیری فیزیکی، در اکثر سیستم‌ها تعداد قطبها بیشتر از تعداد صفرها است. از این‌رو مقدار  $G(s)H(s)$  به ازاء  $\infty \rightarrow s$ ، به سمت صفر میل خواهد کرد.

با مراجعه به شکل ۳۴-۵، اگر  $\omega$  در جهت عقربه ساعت مسیر نایکوئیست D را یک بار دور بزند، بردارهای  $s + p_1$  و  $s + p_2$  برای  $z_1$  و  $z_2$  هایی که در داخل محدوده محصور شده توسط D هستند، در جهت عقربه ساعت خواهند چرخید. برای توضیح بیشتر این مطلب، توجه کنید که اگر نقطه شروع حرکت، نقطه  $\omega$  بر روی مسیر D، همانطور که در شکل ۳۴-۵ نشان داده شده است، مبدأ صفحه  $\omega$  در نظر گرفته شود (ین نقطه با ۱ نشان داده شده است) و  $\omega$  در جهت حرکت عقربه ساعت به حرکت درمی‌آید، پس از رسیدن به نقطه ۲ در  $\omega + j\infty$  بر روی نیم‌دایره با شعاع  $\infty \rightarrow R$  به سمت نقطه ۳ حرکت خواهد کرد. در حرکت از نقطه ۱ تا ۳ مجموع زوایایی که بردار  $s + z_1$  چرخیده است برابر با  $180^\circ$  خواهد بود. اگر  $\omega$  در جهت عقربه ساعت به سمت نقطه ۴ در  $\omega - j\infty$  حرکت کند و از  $\omega - j\infty$  به  $-\omega$  در نقطه ۱ برسد، مجموع زوایایی چرخیده شده از ۳ تا ۱ توسط بردار  $s + z_2$   $180^\circ$  خواهد بود. بنابراین بردار  $s + z_2$  از نقطه شروع ۱ در  $+\omega$  تا نقطه پایانی ۱ در  $-\omega$  مجموعاً  $360^\circ$  در جهت عقربه ساعت چرخیده است. حال اگر نقطه ۲ را در نظر بگیریم، بردار  $s + z_2$  از ۱ و رسیدن به ۲ و با



شکل ۳۴-۵ زوایای چرخش

حرکت از  $2^\circ$  و رسیدن به  $3^\circ$  به ترتیب  $\alpha^0$  و  $\alpha^0$ - چرخش دارد. از اینو مجموع چرخشهای بردار  $z+Z_R$  برابر صفر درجه خواهد بود. به طور مشابهی، مجموع چرخشها از  $3^\circ$  به  $4^\circ$  و  $4^\circ$  به  $1^\circ$  نیز صفر درجه است و لذا مجموع چرخشها از نقطه شروع  $1^\circ$  در  $+z$  تا نقطه پایانی  $1^\circ$  در  $-z$  مجموعاً صفر درجه است. بنابراین قطبهایی که در خارج از ناحیه محصور شده توسط مسیر نایکوئیست D قرار گیرند (به عبارت دیگر قطبهایی که در سمت چپ محور موہومی قرار دارند) مجموع چرخشی برابر  $0^\circ$  خواهند داشت.

از معادله (۴-۳-۵) (با توجه به اینکه  $z$  ها در صورت قرار دارند) اگر بردار  $z+P_R$  در  $1+G(s)H(s)$  جهت عقربه ساعت بچرخد،  $360^\circ$  چرخش در جهت عقربه ساعت برای بردار  $z+P_R$  (با توجه به اینکه  $z$  ها در مخرج قرار دارند)  $360^\circ$  در جهت عقربه ساعت بچرخد،  $360^\circ$  چرخش در جهت خلاف عقربه ساعت برای بردار  $(1+G(s)H(s))$  در صفحه مختلط که در آن رسم شده است، ایجاد می کند. اگر بردار  $z+P_R$  (با توجه به اینکه  $z$  ها در مخرج قرار دارند)  $360^\circ$  در جهت عقربه ساعت بچرخد،  $360^\circ$  چرخش در جهت خلاف عقربه ساعت برای بردار  $(1+G(s)H(s))$  در صفحه مختلط که در آن رسم شده است، ایجاد می کند. قطبها و صفرهای خارج از ناحیه داخل مسیر D نیز در چرخش کنی بردار  $1+G(s)H(s)$  اثری ندارند. نتایج بدست آمده را به صورت زیر جمع نمودی می کنیم:

- ۱- مجموع کلیه چرخشها در جهت عقربه ساعت نمودار  $1+G(s)H(s)$  ناشی از صفرهای آن (قطبهای حلقه - بسته) برابر با مجموع صفرهای در سمت راست صفحه  $(Z_R)_s$  می باشد.

- ۲- مجموع کلیه چرخشها در جهت خلاف عقربه ساعت نمودار  $1+G(s)H(s)$  ناشی از قطبهای آن (قطبهای حلقه - باز) برابر با مجموع قطبها در سمت راست صفحه  $s$   $(P_R)_s$  می باشد.

- ۳- مجموع کلیه چرخشها  $(1+G(s)H(s))$  حول مبدأ صفحه  $s$   $(N)$  برابر با مجموع کلیه قطبها  $P_R$  منهای مجموع کلیه صفرهای  $Z_R$  در نیمه راست صفحه  $s$  است.

به عبارت دیگر

$$N = \frac{[1+G(s)H(s)]}{2\pi} = P_R - Z_R \quad (4-4-5)$$

که در آن چرخش در خلاف عقربه ساعت و در جهت عقربه ساعت به ترتیب مثبت و منفی در نظر گرفته شده است.

معادله (۴-۴) اساس معیار پایداری نایکوئیست است. توجه کنید که برای پایداری

سیستم حلقه - بسته  $Z_R$  باید برابر صفر باشد و لذا

$$N = P_R \quad (5-4-5)$$

یعنی آنکه شرط لازم و کافی برای پایداری سیستم حلقه - بسته آن است که نمودار نایکوئیست  $(1 + G(j\omega)H(j\omega))P_R$  ۱ بار (به تعداد قطب‌های ناپایدار حلقه - باز) در جهت خلاف عقربه ساعت حول مبداء صفحه دور بزند. برای آنکه بتوان این نتیجه مهم را به صورت قابل استفاده‌تری بیان کرد، همانطور که قبل نیز اشاره شد نمودار نایکوئیست  $(1 + G(j\omega)H(j\omega))G(j\omega)$  همان نمودار نایکوئیست است، که به مقدار ۱ - بر روی محور حقیقی منفی انتقال داده شده است. بنابراین تعداد دورانهای نمودار نایکوئیست  $(1 + G(j\omega)H(j\omega))$  حول مبداء برابر با تعداد دورانهای نمودار نایکوئیست  $G(j\omega)H(j\omega)$  حول نقطه ۱ - بر روی محور حقیقی منفی می‌باشد.

**معیار پایداری نایکوئیست:** یک سیستم حلقه - بسته پایدار است اگر و فقط اگر، تعداد دورانهای نمودار نایکوئیست  $G(j\omega)H(j\omega)$  در جهت خلاف عقربه ساعت حول نقطه ۱ - برابر با تعداد قطب‌های ناپایدار  $G(j\omega)H(j\omega)$  باشد.

بسیاری از سیستم‌های عملی حلقه - باز پایدار هستند، یعنی آنکه  $P_R = 0$  معیار پایداری نایکوئیست برای این دسته از سیستم‌ها به صورت زیر بیان می‌گردد:

یک سیستم حلقه - بسته با سیستم حلقه - باز پایدار، پایدار خواهد بود اگر و فقط اگر نمودار نایکوئیست سیستم حلقه - باز دورانی حول نقطه ۱ - نداشته باشد.

در حالت کلی، برای آنکه بتوان دورانهای نمودار نایکوئیست  $G(j\omega)H(j\omega)$  را حول نقطه ۱ - تعیین کرد، رسم کامل نمودار نایکوئیست الزامی است. اگر  $G(j\omega)H(j\omega)$  پایدار باشد، می‌توان نشان داد که رسم کامل نمودار نایکوئیست الزامی نبوده و نمودار نایکوئیست برای  $\omega$  از  $0$  تا  $\infty$  کافی خواهد بود.

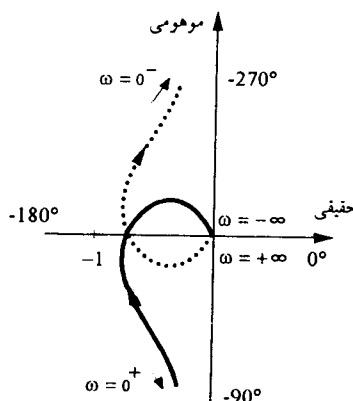
**معیار ساده شده نایکوئیست:** اگر  $G(j\omega)H(j\omega)$  پایدار باشد، سیستم حلقه - بسته پایدار است اگر و فقط اگر هنگامی که در جهت افزایش  $\omega$  بر روی نمودار نایکوئیست

$$G(j\omega)H(j\omega)$$

سیستم‌های نوع یک و بالاتر در استنتاج ارایه شده برای معیار پایداری نایکوئیست، فرض شده است که هیچکدام از قطبها حلقه - باز سیستم بر روی محور مولومی (مسیر نایکوئیست) قرار نگرفته باشد (سیستم نوع صفر). در صورتیکه  $G(s)H(s)$  قطبهایی در مبدأ داشته باشد، مسیر نایکوئیست شکل ۳۵-۵ باید به صورت مناسبی تغییر داده شود. برای مثالتابع تبدیل زیر را در نظر بگیرید

$$G(s)H(s) = \frac{K_1}{s(1+T_1s)(1+T_2s)} \quad (6-4-5)$$

نمودار نایکوئیست این تابع تبدیل برای تغییرات  $\omega$  از  $-\infty$  تا  $+\infty$  در شکل ۳۵-۵ رسم شده است. در این حالت تابع تبدیل حلقه - باز یک قطب در مبدأ دارد و لذا مسیر نایکوئیست شکل ۳۵-۵ به صورت نشان داده شده در شکل ۳۶-۵ (الف)، تغییر داده شده است تا  $\omega$  بر روی مسیر نایکوئیست از نقطه  $\omega = 0$  یک نقطه ناویژه  $G(s)H(s)$  است عبور نکند. همانطور که از شکل ۳۶-۵ (الف) مشاهده می‌شود برای بررسی پایداری،  $\omega$  از  $0^\circ$  به سمت نقطه  $45^\circ$  ( $\omega \rightarrow 0^\circ$ ) انتقال پیدا می‌کند. از نقطه  $45^\circ$  همانند قبل به سمت  $90^\circ$  می‌خواهد کرد. وقت کنید که برای  $90^\circ$  نیمداایره حول مبدأ موجب می‌شود که مسیر نایکوئیست از مبدأ عبور نکند و همزمان ناحیه محصور شده توسط مسیر نایکوئیست کلیه



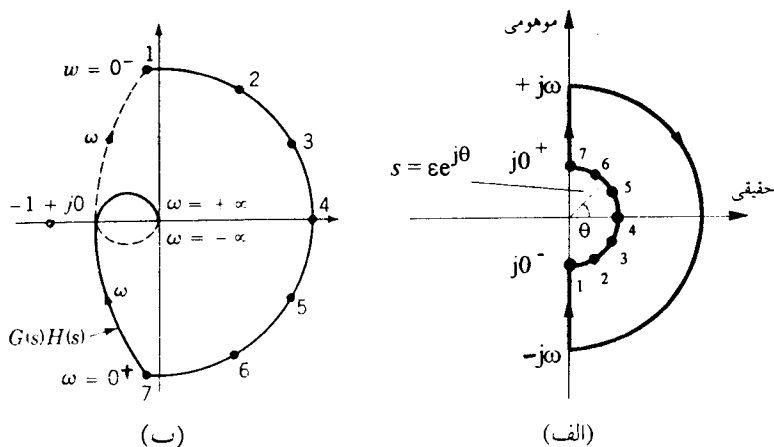
شکل ۳۵-۵ نمودار نایکوئیست تابع تبدیل داده شده با معادله (۶-۴-۵)

قطبهای و صفرهای ناپایدار را دربرگیرد. برای آنکه بتوان نمودار نایکوئیست را برای این مسیر تکمیل کرد باید اثر حرکت نقطه  $s$  بر روی این نیمدایره حول مبداء را در نظر گرفت. برای نیمدایره حول مبداء داریم  $s = \epsilon e^{j\theta}$ ، که در آن  $0 \leq \theta \leq \pi/2$ . لذا با جایگزینی برای  $s$  در معادله (۴-۵)، داریم

$$G(s)H(s) = \frac{K_1}{s} = \frac{K_1}{\epsilon e^{j\theta}} = \frac{K_1}{\epsilon} e^{-j\theta} = \frac{K_1}{\epsilon} e^{j\phi}$$

که در آن  $\infty \rightarrow \omega \rightarrow 0$  به  $\frac{\pi}{2}$  برای  $\phi$  از  $0$  و  $\omega \rightarrow 0$  به  $-\frac{\pi}{2}$  برای حرکت  $s$  در جهت خلاف عقربه ساعت از نقطه  $(\epsilon, \pi/2)$  به  $(-\epsilon, -\pi/2)$  تغییر پیدا می‌کند. بنابراین همانطور که در شکل ۳۶-۵ (ب) مشاهده می‌شود، نقاط پایانی  $\omega \rightarrow 0^+$  و  $\omega \rightarrow \infty$  توسط یک نیمدایره به شعاع بی‌نهایت از  $\pi/2$  تا  $-\pi/2$  در جهت عقربه ساعت به هم وصل می‌شوند. نقاط مشخص شده ۱ الی ۷ مراحل مختلف انتقال از  $\omega = 0^+$  به  $\omega = \infty$  را مشخص می‌کنند.

نمودار  $G(j\omega)H(j\omega)$  در شکل ۳۶-۵ (ب) نقطه ۱- را دور نمی‌زنند و لذا تعداد دورانها حول این نقطه  $N = 0$  خواهد بود. برای  $T_1, T_2 > 0$ ،تابع تبدیل داده شده با معادله (۴-۵) پایدار است و لذا  $Z_R = P_R$  از معادله (۴-۵) داریم که  $Z_R = 0$  و لذا سیستم حلقه - بسته پایدار است.



شکل ۳۶-۵ (الف) مسیر اصلاح شده نایکوئیست (ب) نمودار کامل نایکوئیست (۴-۵)

در حالت کلی، توابع تبدیلی که عبارت  $\mathcal{Z}$  را در مخرج دارند، برای  $\mathcal{Z} \rightarrow \mathcal{E}$  به صورت زیر می‌باشد

$$G(s)H(s) = \frac{K_m}{s^m} = \frac{K_m}{(\epsilon^m)e^{jm\theta}} = \frac{K_m}{\epsilon^m} e^{-jm\theta} \quad (7-4-5)$$

که در آن  $m=1, 2, 3, \dots$  است. از معادله (7-4-5)، بسادگی مشاهده می‌شود که به ازاء تغییرات  $\mathcal{Z}$  از  $-$  تا  $+$  نمودار  $G(s)H(s)$  نیمدایره‌هایی در جهت عقربه ساعت با شعاع بسیاری از  $\pi/2$  در صفحه  $\mathcal{Z}$  حول مبدأ دنبال می‌کند. اگر  $m=2$  باشد، آنگاه به ازاء تغییرات  $\theta$  از  $-\pi/2$  به  $\pi/2$  شعاع  $\mathcal{E}$ ،  $G(s)H(s)$  به اندازه  $= 360^\circ$  (۱۸۰°) خواهد چرخید.

عبور از نقطه  $0+j0$ . نقطه مهم در تحلیل پایداری با معیار نایکوئیست، نقطه  $-1$ - بر روی محور حقیقی منفی است. اگر نمودار  $G(j\omega)H(j\omega)$  از نقطه  $-1$ - عبور کند، تعداد چرخش‌های  $N$  نامعین است. این حالت متناظر با شرایطی است که در آن  $(1+G(s)H(s))$  صفرهایی بر روی محور موهومی داشته باشد و در صورتی که این صفرها ساده باشند، پاسخ در حالت -ماندگار مؤلفه‌های سینوسی غیرمیرا دارد. لیکن در حالت کلی اگر نمودار  $G(j\omega)H(j\omega)$  از نقطه  $-1$ - عبور کند، پایداری نایکوئیست را نمی‌توان اعمال نمود.

#### مثال ۱۶-۵

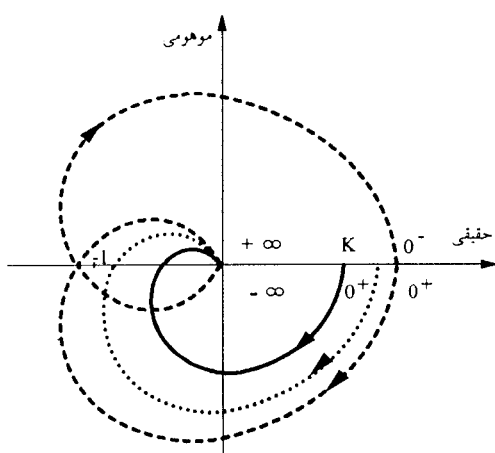
پایداری سیستم‌های (الف) تا (و) را با استفاده از معیار پایداری نایکوئیست، از نمودارهای کامل نایکوئیست نشان داده شده در شکل ۳۱-۵ بررسی کنید.

(الف): برای  $T_1, T_2$  و  $T_3$  مثبت، سیستم حلقه - باز پایدار است و لذا  $P_R = 0$ . اگر مقادیر عددی به گونه‌ای باشند که نمودار نایکوئیست به صورت نشان داده شده در شکل ۳۱-۵ (الف) باشد، نمودار نایکوئیست نقطه  $-1$ - را در برنمی‌گیرد و لذا دورانی حول آن نخواهد داشت،  $N=0$ . با توجه به معادله (4-۴-۵) تعداد قطب‌های حلقه - بسته ناپایدار  $Z_R$  صفر و لذا سیستم حلقه - بسته پایدار است. اگر بهره سیستم حلقه - باز را افزایش دهیم، زاویه فاز  $G(j\omega)$  تغییر نخواهد کرد لیکن دامنه آن متناسب با  $K$  افزایش خواهد یافت. از اینرو افزایش در بهره  $K$  موجب آن می‌گردد که هر نقطه بر روی نمودار نایکوئیست، به طور شعاعی به طرف خارج حرکت خواهد کرد. اثر

افزایش بهره  $K$  بر روی نمودار نایکوئیست در شکل ۳۷-۵ نشان داده شده است. توجه کنید که بعد از یک بهره مشخص، نقطه ۱- در داخل نمودار نایکوئیست قرار می‌گیرد و اگر به طور کامل آنرا رسم کنیم، تعداد دورانهای حول نقطه ۱- توسط نمودار نایکوئیست برای  $\omega$  از  $-\infty$  تا  $+\infty$  و از  $+^\circ$  تا  $-^\circ$  در جهت عقربه ساعت دوبار می‌باشد و سیستم با دو قطب حلقه - بسته در سمت راست محور موهومی ناپایدار است.

(ب): همانطور که از شکل ۳۱-۵ (ب) مشاهده می‌شود، با توجه به نوع یک بودن سیستم، برای تکمیل نمودار نایکوئیست نقاط پایانی  $-^\circ$  و  $+^\circ$  توسط یک دوران  $180^\circ$  در جهت عقربه ساعت با شعاع  $\rightarrow R$  به هم وصل می‌شوند. برای  $T_+$  و  $T_-$  مثبت، سیستم حلقه - باز پایدار می‌باشد و از آنجاییکه نقطه ۱- توسط نمودار نایکوئیست دربرگرفته نشده است، لذا سیستم حلقه - بسته پایدار است. در این حالت نیز با افزایش بهره  $K$  نمودار نایکوئیست نقطه ۱- را در برگرفته، تعداد دورانها حول نقطه ۱- برابر با دو می‌باشند و سیستم حلقه - بسته ناپایدار خواهد شد.

(ج): در این حالت سیستم نوع دو است و در تکمیل نمودار نایکوئیست باید  $360^\circ$  چرخش در جهت عقربه ساعت با شعاع  $\rightarrow R$  برای اتصال  $-^\circ$  و  $+^\circ$  داشته باشیم. با توجه به دوبار چرخش نمودار نایکوئیست حول نقطه ۱- سیستم به ازاء کلیه بهره  $K$  ناپایدار است.



شکل ۳۷-۵ افزایش بهره  $K$  بر روی نمودار نایکوئیست شکل ۳۱-۵ (الف)

(د): با توجه به  $\omega_0 > 0$  (ت) تابع تبدیل یک قطب ناپایدار دارد. تعداد دورانهای حول نقطه ۱- توسط نمودار نایکوئیست یک دور در جهت خلاف عقربه ساعت است. با توجه به معیار پایداری نایکوئیست، از آنجاییکه تعداد دورانهای نمودار نایکوئیست حول نقطه ۱- در جهت خلاف عقربه ساعت و برابر با تعداد قطبها ناپایدار حلقه- باز است، لذا سیستم حلقه- بسته پایدار است. دقت کنید که اگر بهره  $K$  را کاهش دهیم تقاطع نمودار نایکوئیست با محور حقیقی منفی به سمت نقطه ۱- حرکت می‌کند. اگر کاهش بهره به میزانی باشد که نقطه تقاطع نمودار نایکوئیست با محور حقیقی سمت راست نقطه ۱- باشد، سیستم حلقه- بسته ناپایدار خواهد شد و دوران حول نقطه ۱- یک بار در جهت عقربه ساعت خواهد بود  $N = -1$ .

$$\text{از اینرو } Z_R = 1 - Z_L = 1 - 1 = 0 \text{ و لذا } Z_R = 0.$$

(ه): تابع تبدیل شکل ۵-۳۱ (ه) نیز ناپایدار است. برای  $\omega_0 \rightarrow 0^+$  تابع تبدیل به سمت  $K(j\omega)$ - میل خواهد کرد. با توجه به علامت منفی و فاکتور  $j\omega$  در مخرج، لذا نقطه شروع نمودار نایکوئیست برای  $\omega \rightarrow 0^+$  از  $+j\infty$  خواهد بود. برای  $\omega \rightarrow \infty$  تابع تبدیل به سمت یک ثابت تقسیم بر  $(j\omega)^2$  میل می‌کند و لذا از سمت چپ به مبدأ صفحه موهومی وارد خواهد شد. از آنجاییکه سیستم نوع یک است، برای اتصال  $-$  به  $0^+$  چرخشی معادل  $180^\circ$  در جهت عقربه ساعت با شعاع  $R \rightarrow \infty$  خواهیم داشت. همانطورکه از شکل ۵-۳۱ (ه) مشاهده می‌شود، تعداد دورانها حول نقطه ۱- یک بار در جهت عقربه ساعت می‌باشد و از اینرو سیستم حلقه- بسته به ازاء کلیه بهره  $K$  ناپایدار خواهد بود. دقت کنید که در این حالت کاهش و یا افزایش بهره هیچ تأثیری در پایداری سیستم و تعداد دورانها حول نقطه ۱- ندارد.

(و): برای آنکه تعداد دورانهای حول نقطه ۱- سیستم پایدار نوع دو شکل ۵-۳۱ (و) را بشماریم، نخی را در نظر بگیرید که یک سر آن بر روی نقطه ۱- ثابت شده باشد و سر دیگر آن را بر روی نمودار نایکوئیست از  $\omega = -\infty$  تا  $0^-$  و از  $0^+$  تا  $\infty$  باز  $0^+$  تا  $0^-$  حرکت دهیم. برخلاف آنچه که ممکن است در اولین برخورد به نظر آید، در این حالت تعداد دروانها حول نقطه ۱- صفر خواهد بود. دقت کنید که کلیه دورانها با یک دوران در جهت عکس و به همان اندازه صفر خواهند شد. بنابراین سیستم حلقه- بسته پایدار

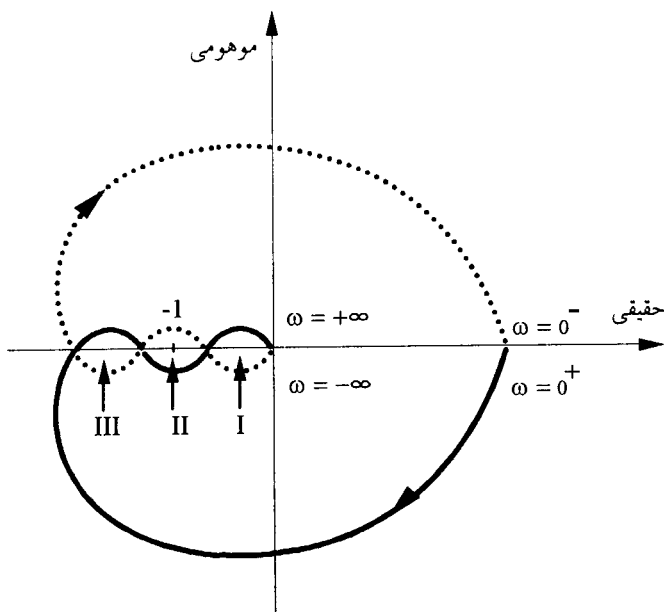
خواهد بود. سیستم شکل ۳۱-۵ (و) در واقع همان سیستم همواره ناپایدار شکل ۳۱-۵ (ج) است که به آن یک صفر و قطب مناسب اضافه شده است. این مثال اثر پایدار کننده اضافه کردن صفر و قطب بهتابع تبدیل ناپایدار را بخوبی نشان می دهد.

### مثال ۱۷-۵

تابع تبدیل سیستمی عبارتست از

$$G(s) = \frac{K_o(1+T_1 s)^{-1}}{(1+T_2 s)(1+T_3 s)(1+T_4 s)(1+T_5 s)}$$

که در آن  $T_1 < T_2 < T_3 < T_4 < T_5$ . نمودار کامل نایکوئیست این تابع تبدیل در شکل ۳۸-۵ برای یک بهره خاص نشان داده شده است. همانند قسمت (و) مثال ۱۶-۵ اگر یک سر نخ را نیز در این مثال بر روی نقطه ۱- ثابت کنید و انتهای دیگر آنرا به روی نمودار از  $\omega = -\infty$  تا  $\omega = +\infty$  به حرکت درآورید، تعداد دورانهای حول نقطه ۱- صفر خواهد بود. در این مثال اگر



شکل ۳۸-۵ نمودار کامل نایکوئیست تابع تبدیل مثال ۱۷-۵

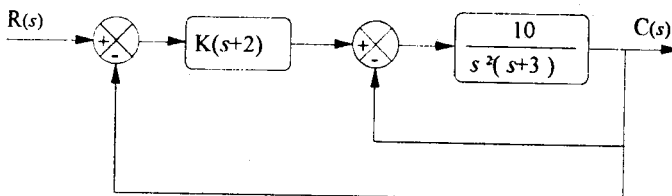
بهره را به اندازه کافی افزایش و یا کاهش دهیم در هر دو صورت، سیستم حلقه - بسته ناپایدار خواهد شد. در واقع اگر بهره را به اندازه کافی افزایش دهیم نقطه ۱- در محدوده I قرار خواهد گرفت و تعداد دورانها حول نقطه ۱- برابر با دو دور جهت عقربه ساعت خواهد بود. بنابراین  $Z_R = 2$  و سیستم ناپایدار است. از طرف دیگر، اگر بهره را به اندازه کافی کاهش دهیم نقطه ۱- در محدوده III قرار خواهد گرفت و تعداد دورانها حول نقطه ۱- برابر با دو چرخش در جهت عقربه ساعت می‌باشد و سیستم ناپایدار است. اگر بهره را باز هم کاهش دهیم، نقطه ۱- در سمت چپ نمودار نایکوئیست قرار می‌گیرد و تعداد دورانها حول نقطه ۱- صفر می‌شوند و سیستم باز هم پایدار است. این چنین سیستمی را پایدار شرطی<sup>۱</sup> گویند. سیستم پایدار شرطی، سیستمی است که برای یک گستره از بهره‌ها پایدار است و افزایش یا کاهش به مقدار مناسب، موجب ناپایدار شدن آن می‌گردد. در کار با سیستم‌های عملی با پایداری شرطی باید دقت کافی را در رابطه با پایداری آنها مبذول داشت.

#### ۱۸-۵

با بکارگیری معیار نایکوئیست، گستره بهره  $K$  را برای پایداری سیستم نشان داده شده در شکل ۳۹-۵ تعیین کنید.

نخست دیاگرام بلوكی شکل ۳۹-۵ را به صورت یک سیستم فیدبک واحد تبدیل می‌کنیم تابع تبدیل معادل حلقه - باز در یک سیستم حلقه - بسته با فیدبک واحد عبارتست از

$$G(s) = \frac{10K(s+2)}{s^3 + 3s^2 + 10}$$



شکل ۳۹-۵ دیاگرام بلوكی سیستم مثال ۱۸-۵

برای رسم نمودار کامل نایکوئیست ( $G(j\omega)$  ، داریم

$$G(j\omega) = \frac{10K(2+j\omega)}{(j\omega)^3 + 3(j\omega)^2 + 10}$$

سیستم، نوع صفر، مرتبه سوم و یک صفر محدود پایدار دارد. محل قطب‌های این سیستم معلوم نمی‌باشند، از این‌رو از معیار روث برای تعیین پایداری سیستم حلقه - باز استفاده می‌کنیم. آرایه روث عبارتست از:

$$\begin{array}{c|cc} s^3 & 1 & 0 \\ s^2 & 3 & 10 \\ s^1 & -10 & 0 \\ s^0 & 1 & \end{array}$$

توجه کنید که در اولین ستون دو تغییر علامت وجود دارد و لذا سیستم حلقه - باز با دو قطب سمت راست ناپایدار است،  $P_R = 2$ . داریم

$$\begin{aligned} G(j\omega) &= \frac{10K(j\omega+2)}{10-3\omega^2-j\omega^3} \\ &= \frac{10K[2(10-3\omega^2)-\omega^4+j\omega(10-2\omega^2)+j2\omega^3]}{(10-3\omega^2)^2+\omega^6} \end{aligned}$$

از  $\text{Im}[G(j\omega)] = 0$  بدست می‌آوریم  $\omega = \sqrt{10}$  و  $\omega = 0$ ، که فرکانس‌های نقاط قطع محور حقیقی با نمودار نایکوئیست  $G(j\omega)$  هستند. برای تعیین نقاط قطع محور موهومی، قرار می‌دهیم  $\text{Re}[G(j\omega)] = 0$  و لذا

$$\omega^4 + 6\omega^2 - 20 = 0$$

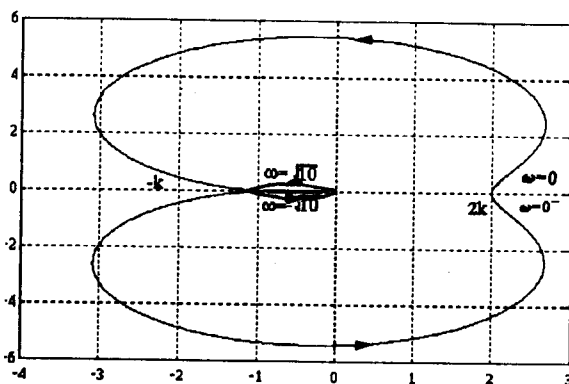
که می‌دهد  $\omega \approx 1/544$ . بنابراین نقاط قطع با محور حقیقی عبارتند از

$$G(j0) = 2K, \quad G(j\sqrt{10}) = -K$$

و نقاط قطع با محور موهومی عبارتند از

$$G(j1/544) = j5/482K$$

با داده‌های بدست آمده، نمودار نایکوئیست این تابع تبدیل در شکل ۴۰-۵ رسم شده است. از آنجاییکه سیستم حلقه - باز دو قطب ناپایدار دارد، از معیار پایداری نایکوئیست داریم که



شکل ۴۰-۵ نمودار کامل نایکوئیست تابع تبدیل مثال ۱۸-۵

سیستم حلقه - بسته پایدار است اگر تعداد دورانهای در جهت خلاف عقربه ساعت حول نقطه ۱ - توسط نمودار کامل نایکوئیست برابر دو باشد. بنابراین برای پایداری، باید نقطه ۱ در داخل نمودار نایکوئیست قرار گیرد. از این‌رو شرط پایداری سیستم حلقه - بسته عبارتست از

$$K > 1$$

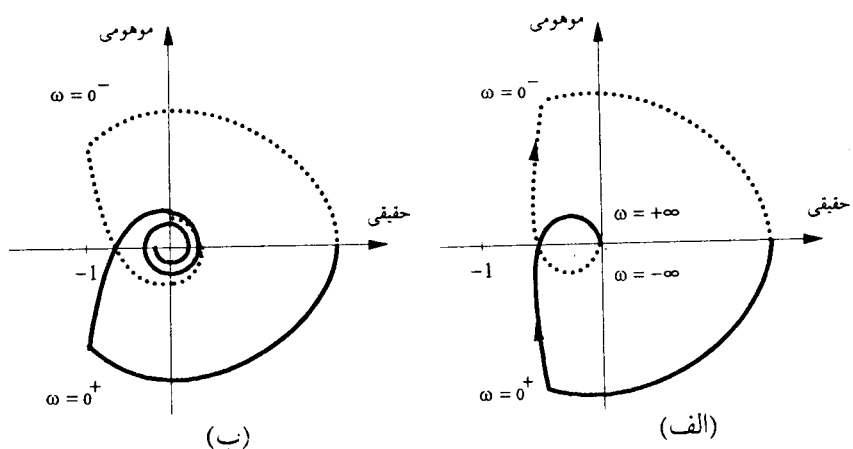
#### مثال ۱۹-۵

پایداری سیستم داده شده با تابع تبدیل

$$G(s) = \frac{K_1 e^{-\tau s}}{s(1+T_1 s)(1+T_2 s)}$$

را که در آن  $\tau$  زمان تأخیر است، برای  $\omega = 0$  و  $\omega \neq 0$  با بکارگیری معیار پایداری نایکوئیست بررسی کنید.

نمودارهای نایکوئیست تابع تبدیل بالا برای  $\omega = 0$  و  $\omega \neq 0$  به ترتیب در شکل‌های ۴۱-۵ (الف) و (ب) رسم شده‌اند. همانطور که از شکل‌های ۴۱-۵ (الف) و (ب) مشاهده می‌شود، نمودار نایکوئیست  $G(j\omega)$  به طرف ۱- در جهت عقربه ساعت انتقال داده شده است. بنابراین اگر زمان تأخیر بزرگتر گردد، می‌تواند با عبور دادن نمودار نایکوئیست از نقطه بحرانی ۱-، سیستم حلقه - بسته را ناپایدار کند. بنابراین زمان تأخیر باعث کاهش پایداری سیستم حلقه - بسته می‌شود.



شکل ۴-۵ (الف) نمودار نایکوئیست بدون تأخیر (ب) نمودار نایکوئیست با تأخیر

### ۵-۵ نمودارهای نایکوئیست معکوس

در بسیاری از موارد رسم نمودارهای نایکوئیست (مستقیم) برای سیستم‌هایی که عناصری در مسیر فیدبک دارند، مشکل می‌شود. در این موارد رسم نمودارهای معکوس نایکوئیست<sup>۱</sup> ساده‌تر خواهد بود. نمودار نایکوئیست معکوس تابع تبدیل  $G(j\omega)$  با رسم نمودار

$$G^{-1}(j\omega) = \frac{1}{G(j\omega)} = \frac{R(j\omega)}{C(j\omega)} \quad (1-5-5)$$

برحسب فرکانس  $\omega$  بدست می‌آید. برای نشان دادن رسم نمودارهای نایکوئیست معکوس، نمودارهای نایکوئیست معکوس سه سیستم سه نوع صفر، نوع یک و نوع دو را رسم می‌کنیم.

سیستم نوع صفر، سیستم نوع صفر داده شده با معادله (۲-۳-۵) را در نظر بگیرید. تابع تبدیل معکوس آن عبارتست از

$$G^{-1}(j\omega) = \frac{(1+j\omega T_1)(1+j\omega T_2)}{K} \quad (2-5-5)$$

از معادله (۲-۵-۵) داریم

$$G^{-1}(j\omega) \rightarrow \frac{1}{K} \angle 0^\circ \quad \omega \rightarrow 0^+$$

$$G^{-1}(j\omega) \rightarrow \infty \angle 180^\circ \quad \omega \rightarrow \infty$$

1- Inverse Nyquist plots

توجه کنید که زوایای هر کدام از عبارات صورت  $G^{-1}(j\omega)$  به ازاء تغییرات  $\omega$  از  $+\infty$  تا  $0^\circ$  تا  $-\infty$  تغییر پیدا می‌کند. از آنجاییکه هیچ عبارت وابسته به فرکانسی در مخرج عبارت معادله (۲-۵-۵) نمی‌باشد، زاویه فاز  $G^{-1}(j\omega)$  به طور پیوسته‌ای برای تغییرات  $\omega$  از  $+\infty$  تا  $0^\circ$  تا  $180^\circ$  تغییر پیدا می‌کند. نمودار نایکوئیست معکوس سیستم نوع صفر داده شده با معادله (۲-۵-۵)، در شکل ۴۲-۵ نشان داده شده است. دقت کنید که اگر در صورت  $G^{-1}(j\omega)$ ، تنها یک عبارت  $1+j\omega T_1$  وجود داشت، زاویه  $G^{-1}(j\omega)$  از  $0^\circ$  تا  $90^\circ$  دوران پیدا می‌کرد. با اضافه کردن عبارت  $1+j\omega T_2$  در صورت  $G^{-1}(j\omega)$ ، این عبارت باعث می‌شود که  $90^\circ$  دوران در جهت خلاف عقریه ساعت در زاویه  $G^{-1}(j\omega)$ ، برای قسمت فرکانس بالای نمودار ایجاد شود. سیستم نوع یک. تابع تبدیل سیستم نوع یک داده شده با معادله (۶-۳-۵) را در نظر بگیرید. معکوس تابع تبدیل عبارتست از

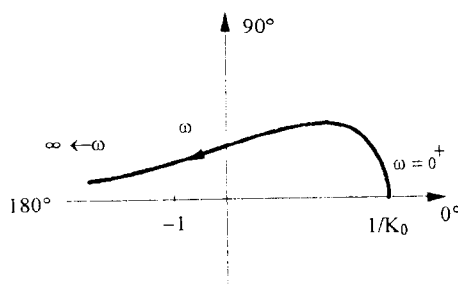
$$G^{-1}(j\omega) = \frac{j\omega(1+j\omega T_1)(1+j\omega T_2)(1+j\omega T_3)}{K_1} \quad (۳-۵-۵)$$

در این حالت داریم

$$G^{-1}(j\omega) \rightarrow 0 \angle 90^\circ \quad \omega \rightarrow +\infty$$

$$G^{-1}(j\omega) \rightarrow \infty \angle 36^\circ \quad \omega \rightarrow +\infty$$

در اینجا هر عبارت صورت باعث دوران  $90^\circ$  در جهت خلاف عقریه ساعت به ازاء تغییرات  $\omega$  از  $0$  تا  $+\infty$ ، در زاویه  $G^{-1}(j\omega)$  خواهد شد. نمودار نایکوئیست تابع تبدیل معکوس (۳-۵-۵) در شکل ۴۳-۵ نشان داده شده است. نقاط قطع با محور حقیقی و موهومی،



شکل ۴۲-۵ نمودار معکوس نایکوئیست تابع تبدیل داده شده با معادله (۲-۵-۵)

همانند قبل از روابط  $\text{Re}[G^{-1}(j\omega)] = 0$  و  $\text{Im}[G^{-1}(j\omega)] = 0$  تعیین می‌گردند.  
سیستم نوع دو. معکوس تابع تبدیل یک سیستم نوع دو داده شده با معادله (۴-۵-۳) از عبارتست از

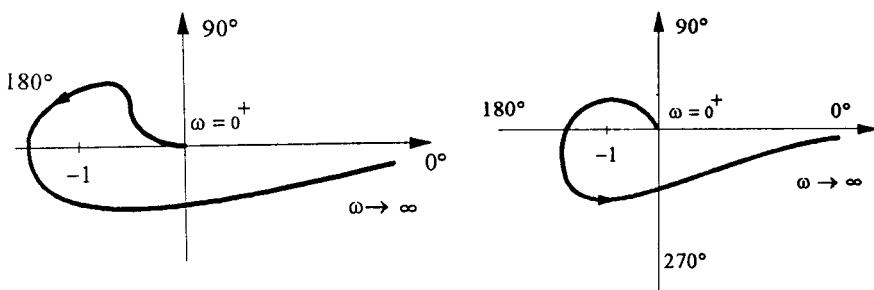
$$G^{-1}(j\omega) = \frac{(j\omega)^r (1+j\omega T_1)(1+j\omega T_2)(1+j\omega T_3)}{K_f(1+j\omega T_s)} \quad (4-5-5)$$

برای این تابع تبدیل معکوس داریم

$$G^{-1}(j\omega) \rightarrow 0 \angle 90^\circ \quad \omega \rightarrow 0^+$$

$$G^{-1}(j\omega) \rightarrow \infty \angle 360^\circ \quad \omega \rightarrow +\infty$$

توجه کنید که برای فرکانس‌های بالا در تابع تبدیل معکوس داده شده با معادله (۴-۵-۵)، زاویه فاز  $+90^\circ$  ایجاد شده توسط یکی از عبارات در صورت، با زاویه فاز  $-90^\circ$  ایجاد شده توسط عبارت مخرج، هم‌دیگر را حذف خواهند کرد. نمودار نایکوئیست معکوس تابع تبدیل داده شده با معادله (۴-۵-۵)، در شکل ۴۴-۵ ۴۴-۵ رسم شده است. دقت کنید که با توجه به مقادیر عددی ضرایب ثابت  $T_i$  ها و  $K_f$ ، یک ناپیوستگی در روند افزایش زاویه  $G^{-1}(j\omega)$  بوجود خواهد آمد که در شکل ۴۴-۵ نشان داده شده است. در اینجا قواعدی برای رسم نقاط کلیدی نمودارهای نایکوئیست معکوس ارایه می‌گردند، که رسم این نمودارها را ساده‌تر و سریعتر می‌سازد:



شکل ۴۴-۵ نمودار معکوس نایکوئیست تابع تبدیل داده شده با معادله (۴-۵-۵) -

قاعده ۱: با تعیین نوع سیستم تابع تبدیل حلقه - باز، قسمت فرکانس پایین ( $\omega \rightarrow 0^+$ ) نمودار نایکوئیست معکوس تعیین می‌گردد.

قاعده ۲: تابع تبدیل کلی معکوس یک سیستم عبارتست از

$$G^{-1}(s) = \frac{s^m p(s)}{K_m q(s)} \quad (45-5-5)$$

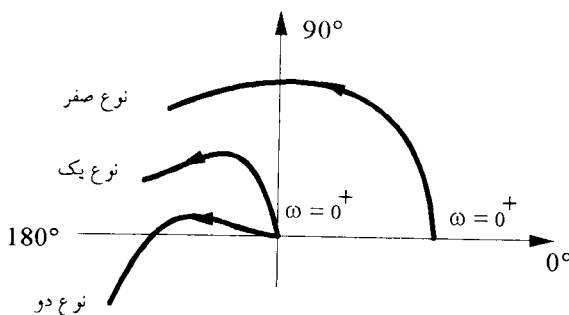
که در آن، درجه‌های  $p(s)$  و  $q(s)$  به ترتیب  $m$  و  $n$  می‌باشند. قسمت فرکانس بالای نمودار نایکوئیست معکوس بدین صورت تعیین می‌گردد:

$$G^{-1}(j\omega) \rightarrow \infty \angle (m+n-w)90^\circ \quad \omega \rightarrow \infty$$

قاعده ۳: فرکانس‌هایی که در آنها نمودار نایکوئیست معکوس محور حقیقی و محور موهومی را قطع می‌کنند، به ترتیب از روابط زیر بدست می‌آیند:  
 $[G^{-1}(j\omega)]_+ = \text{قسمت موهومی } [G^{-1}(j\omega)]$  و  $[G^{-1}(j\omega)]_0 = \text{قسمت حقیقی } [G^{-1}(j\omega)]$

قاعده ۴: شکل دقیق نمودار نایکوئیست معکوس در نزدیکی محور حقیقی منفی بسیار مهم است و رسم  $G^{-1}(j\omega)$  در این ناحیه باید با استفاده از قاعده ۳ یا با بکارگیری نرم‌افزارهای کامپیوتری بدقت انجام پذیرد.

خلاصه‌ای از نمودارهای نایکوئیست معکوس انواع مختلف سیستم‌ها در شکل ۴۵-۵ نشان داده شده‌اند. همانند نمودارهای نایکوئیست مستقیم، مشخصه فرکانس پایین نمودارها نوع سیستم را مشخص می‌کنند.



شکل ۴۵-۵ خلاصه‌ای از نمودارهای نایکوئیست معکوس برای انواع مختلف سیستم‌ها.

## ۵-۶ اعمال معیار پایداری نایکوئیست به نمودارهای نایکوئیست معکوس

معیار نایکوئیست اعمال شده به نمودارهای معکوس، همانند معیاری است که به نمودارهای مستقیم اعمال می‌گردد. فقط یک تفاوت جزئی وجود دارد، که در اینجا به توضیح آن خواهیم پرداخت. معادله مشخصه سیستم حلقه - بسته عبارتست از  $\frac{1}{G(s)H(s)} + 1 = 0$  و برای پایداری سیستم حلقه - بسته، کلیه ریشه‌های این معادله باید در محدوده پایداری (نیمه چپ صفحه ۵) قرار گیرند. اگر طرفین این معادله را بر  $G(s)H(s)$  تقسیم کنیم، داریم

$$\frac{1}{G(s)H(s)} + 1 = 0 \quad (1-6-5)$$

با جایگزینی  $H(s) = \frac{N_2(s)}{D_2(s)}$  و  $G(s) = \frac{N_1(s)}{D_1(s)}$  در معادله (۱-۶-۵) داریم

$$\frac{1}{\frac{N_1(s)}{D_1(s)} \frac{N_2(s)}{D_2(s)}} + 1 = \frac{N_1(s)N_2(s) + D_1(s)D_2(s)}{N_1(s)N_2(s)} = 0 \quad (2-6-5)$$

بنابراین ریشه‌های معادله مشخصه، ریشه‌های معادله زیر می‌باشند

$$N_1(s)N_2(s) + D_1(s)D_2(s) = 0 \quad (3-6-5)$$

از مقایسه معادله‌های (۳-۶-۵) و (۳-۶-۵) در می‌باییم که صفرهای دو معادله یکسان می‌باشند. لیکن از مقایسه معادله‌های (۳-۶-۵) و (۲-۶-۵) در می‌باییم که قطبها دو معادله  $\frac{1}{G(s)H(s)} + 1 = 0$  به ترتیب قطبها  $G(s)H(s)$  و صفرهای  $G(s)H(s)$  می‌باشند.

اگر دقیقاً همان مراحل بررسی پایداری را همانند بخش ۴-۵ به سیستم‌های معکوس اعمال کنیم، هنگامیکه  $\frac{1}{G(s)H(s)} + 1$  مقادیر  $s$  بر روی مسیر نایکوئیست را اختیار کند، معادله حاصله عبارتست از

$$Z_R = P'_R - N' \quad (4-6-5)$$

که در آن

$$N' = \text{تعداد دورانهای} \frac{1}{G(s)H(s)} + 1 \text{ حول مبدأ}$$

$$P'_R = \text{تعداد صفرهای ناپایدار} G(s)H(s)$$

$Z_R = \text{تعداد ریشه‌های ناپایدار معادله مشخصه حلقه - بسته}$

در عمل بجای رسم نمودار  $\frac{1}{G(s)H(s)}$  را رسم می‌کنیم و مبدأ را به نقطه ۱- بر روی محور حقیقی منفی انتقال می‌دهیم،  $N$  در این حالت تعداد دورانهای  $\frac{1}{G(s)H(s)}$  حول نقطه ۱- خواهد بود.

با جایگزینی  $s$  توسط  $j\omega$  در  $[G(s)H(s)]^1$  و تغییر  $\omega$  از  $-\infty$  تا  $+\infty$ ، محدوده محور موهومی را بر روی مسیر نایکوئیست  $D$  در شکل ۳۳-۵ خواهیم داشت. مقدار  $[G(j\omega)H(j\omega)]^1$  برای  $\omega = 0$ ، ثابت است. بنابراین با حرکت نقطه  $s$  بر روی مسیر پسته نایکوئیست از مبدأ یا حوالی آن، قسمت متناظر در  $\frac{1}{1+G(s)H(s)}$  از محور حقیقی عبور خواهد کرد. [دقت کنید که تابع  $\frac{1}{1+G(s)H(s)}$  یا  $\frac{1}{G(s)H(s)}$ ، یک نگاشت از صفحه  $s$  به صفحه‌ای دیگر است که در آن مسیر نایکوئیست به نمودار نایکوئیست متناظر نگاشت می‌شود].

همانند حالت نمودار نایکوئیست مستقیم، برای تکمیل نمودار  $[G(s)H(s)]^1$  اثر حرکت نقطه  $s$  را بر روی نیمدایره با شعاع بی‌نهایت بر روی مسیر نایکوئیست، بررسی می‌کنیم. این مسیر تمامی قطبهای و صفرهای احتمالی نایابدار را دربرخواهد گرفت. برای نیمدایره مسیر نایکوئیست داریم

$$s=re^{j\theta} \quad (5-6-5)$$

که در آن  $\infty \rightarrow r$  و  $\frac{\pi}{2} \geq \theta \geq -\frac{\pi}{2}$ . تابع تبدیل کلی حلقه - باز عبارتست از

$$G(s)H(s) = \frac{K_m(s-z_1)(s-z_w)}{s^m(s-p_1)(s-p_2)\dots(s-p_u)} \quad (6-6-5)$$

برای نیمدایره مسیر نایکوئیست، تابع  $[G(s)H(s)]^1$  بین صورت داده می‌شود

$$[G(s)H(s)]^{-1} \rightarrow \frac{s^m s^u}{K_m s^w} = \frac{r^{(m+u-w)}}{K_m} e^{j(m+u-w)\theta} \quad (7-6-5)$$

به ازاء  $r \rightarrow \infty$  و  $\frac{\pi}{2} \geq \theta \geq -\frac{\pi}{2}$  در  $s=re^{j\theta}$ . بنابراین از معادله (7-6-5) مشاهده می‌شود که با حرکت  $s$  بر روی مسیر نایکوئیست از  $\infty$  زد در  $\pi/2$  تا  $\infty$  زد در  $-\pi/2$  (در جهت عقربه ساعت) نمودار  $[G(s)H(s)]^1$ ،  $m+u-w$  بار در جهت عقربه ساعت نیمدایره‌هایی را با شعاع بی‌نهایت حول مبدأ دنبال خواهد کرد.

## مثال ۴۰-۵

نمودار نایکوئیست معکوس متناظر را رسم کرده و پایداری سیستم حلقه - بسته را با استفاده از معیار پایداری نایکوئیست معکوس بررسی کنید.

$$[G(s)H(s)]^{-1} = \frac{(1+T_1s)(1+T_2s)}{K}$$

در این حالت داریم

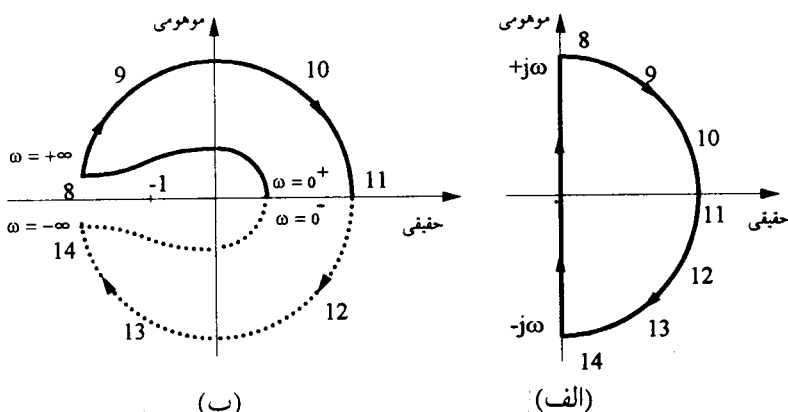
$$[G(s)H(s)]^{-1} \rightarrow \frac{1}{K} e^{j\theta} \quad \omega \rightarrow 0^+$$

$$[G(s)H(s)]^{-1} \rightarrow \infty e^{j180^\circ} \quad \omega \rightarrow +\infty$$

بر روی نیمداایره مسیر نایکوئیست، نشان داده شده در شکل ۴۶-۵ (الف)، داریم

$$[G(s)H(s)]^{-1} \rightarrow \frac{T_1 T_2}{K} e^{j2\theta} \quad |\omega| \rightarrow \infty$$

نقاط ۸ تا ۱۴ برای مرحله به مرحله نشان دادن نحوه نگاشت مسیر نایکوئیست در صفحه  $s$  توسط  $[G(s)H(s)]^{-1}$  در هر دو شکل ۴۶-۵ (الف) و (ب) مشخص شده‌اند. نقطه ۸ از  $\omega = 0$  شروع شده است، که متناظر با  $\theta = 90^\circ$  و اندازه بی‌نهایت است. در نقاط ۹، ۱۰، ۱۱، ۱۲، زاویه از  $90^\circ$  به  $0^\circ$  درجه (در جهت عقربه ساعت) می‌رسد و نقطه متناظر  $11, 12$  با اندازه بی‌نهایت است. از نقطه ۱۱ تا  $90^\circ$  تا  $0^\circ$  تغییر پیدا می‌کند که نقاط متناظر در شکل ۴۶-۵ (ب) نشان داده شده‌اند. برای اعمال معیار پایداری نایکوئیست معکوس باید



- شکل ۴۶-۵ (الف) مسیر نایکوئیست (ب) نمودار نایکوئیست معکوس مثال ۴۰-۵ -

تعداد دورانهای نمودار  $[G(s)H(s)]^{-1}$  حول نقطه ۱ را بشماریم. همانطور که از نمودار نایکوئیست معکوس مشخص است  $N' = 0$  می‌باشد. با توجه به اینکه صفرهای تابع تبدیل حلقه - باز پایدار می‌باشند، لذا  $P'_R = 0$  خواهد بود. از این‌رو  $Z_R = 0$  و سیستم به ازاء کلیه بهره‌ها پایدار است.

### مثال ۲۱-۵

معکوس تابع تبدیل سیستمی عبارتست از

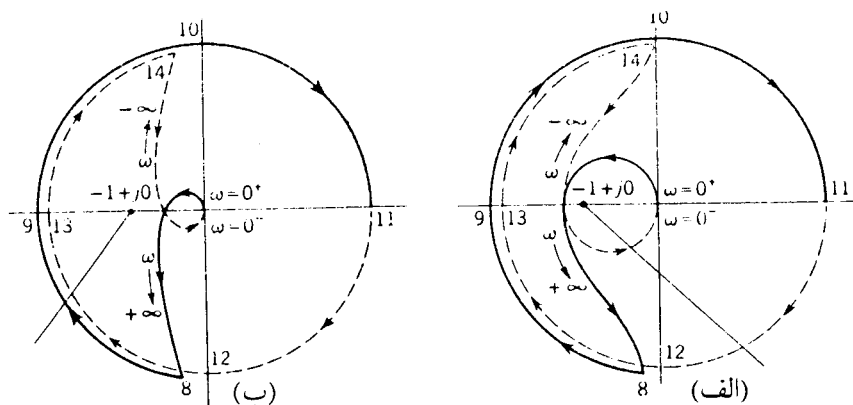
$$[G(s)H(s)]^{-1} = \frac{s(1+T_{1s})(1+T_{2s})}{K_1}$$

در گستره فرکانس‌های پایین و بالا به ترتیب داریم

$$[G(s)H(s)]^{-1} \rightarrow 0^+ \quad \omega \rightarrow 0^+$$

$$[G(s)H(s)]^{-1} \rightarrow \infty \angle 270^\circ \quad \omega \rightarrow +\infty$$

همانند حالت قبل نقاط متناظر با نقاط ۸ تا ۱۴ نشان داده شده بر روی مسیر نایکوئیست شکل ۴۶-۵ (الف) در شکل ۴۷-۵ (الف)، نمودار نایکوئیست معکوس این تابع تبدیل نیز نشان داده شده‌اند. با جایگزینی  $s = re^{j\theta}$  در تابع تبدیل معکوس بالا و برای  $\theta \rightarrow 0^\circ$ ، تناظر این نقاط را بسادگی می‌توان نشان داد (این کار را برای تمرین انجام دهید). برای شمردن تعداد دورانهای حول نقطه ۱- توسط نمودار نایکوئیست معکوس، همانند قبل انتهای تکه نخی را بر روی نقطه ۱- ثابت فرض کرده و سر آن را با شروع از نقطه ۱۴ (نقطه متناظر با  $0^\circ$ ) به طرف حرکت دهید. از نقطه  $0^\circ$  به نقطه  $+90^\circ$  و از آنجا به طرف پایان نمودار از طریق نقطه ۸ و ۹ تا ۱۴ حرکت کنید و در ضمن حرکت تکه نخ تعداد دورانهای حول نقطه ۱- را بشمارید. توجه کنید که از نقطه شروع ۱۴ تا پایان آن در نقطه ۱۴، یک بار در جهت عقربه ساعت و یک بار در خلاف آن دور نقطه ۱- خواهیم چرخید. لذا مجموع دورانها برابر صفر خواهد بود،  $N' = 0$ . با توجه به پایدار بودن قطب‌های  $[G(s)H(s)]^{-1}$ ،  $P'_R = 0$  و داریم  $Z_R = 0$ . از این‌رو سیستم با نمودار نایکوئیست نشان داده شده در شکل ۴۷-۵ (الف) پایدار است. با افزایش بهره  $K_1$ ، نمودار نایکوئیست معکوس تابع تبدیل، به صورت نشان داده شده در شکل ۴۷-۵ (ب)

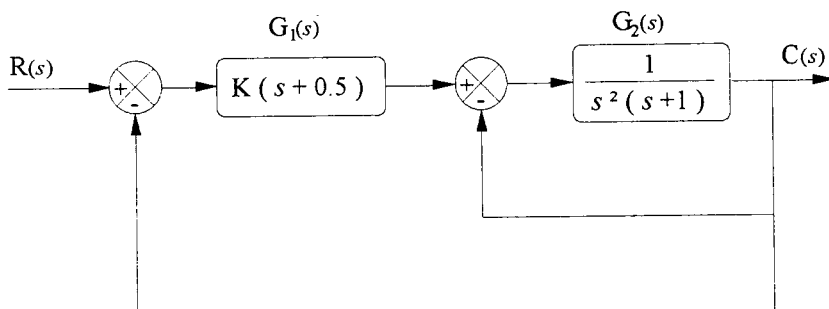


شکل ۴۷-۵ نمودارهای نایکوئیست معکوس مثال ۵-۲۱

خواهد شد. اگر همانند قبل تعداد دورانهای نمودار معکوس نایکوئیست را حول نقطه ۱- بشماریم، در این حالت دوبار حول نقطه ۱- در جهت عقربه ساعت چرخش خواهیم داشت و لذا  $N' = 2$ . بنابراین، با توجه به پایدار بودن صفرهای تابع تبدیل معکوس  $Z_R = 2$ ، سیستم حلقه - بسته با افزایش بهره  $K$  دو قطب ناپایدار پیدا می کند.

## مثال ۵-۲۲

سیستم حلقه - بسته نشان داده شده در شکل ۴۸-۵ را در نظر بگیرید. با اعمال معیار پایداری نایکوئیست به نمودار نایکوئیست معکوس تابع تبدیل مناسب حلقه - باز، پایداری سیستم حلقه - بسته را بررسی کنید.



شکل ۴۸-۵ سیستم حلقه - بسته مثال ۵-۲۲

با حذف حلقه فیدبک داخلی و ضرب دوتابع تبدیل سری  $G_1(s)$  و  $G_2(s)$ ، تابع تبدیل حلقه - باز سیستم کنترل حلقه - بسته با فیدبک واحد بدست خواهد آمد. داریم

$$G_2(s) = \frac{1}{s^3 + s^2 + 1}$$

ولذا

$$G(s) = G_1(s)G_2(s) = \frac{K(s+0/0)}{s^3 + s^2 + 1}$$

از اینرو

$$\frac{1}{G(s)} = \frac{s^3 + s^2 + 1}{K(s+0/0)}$$

با توجه به اینکه قطب  $[G(s)]^1$  یا صفر تابع تبدیل حلقه - باز پایدار است، لذا  $P_R = 0$  و تعداد دورانهای نمودار نایکوئیست حول نقطه ۱، برابر با تعداد قطبهای ناپایدار حلقه - بسته خواهد بود. داریم

$$\begin{aligned} \frac{1}{G(j\omega)} &= \frac{1}{K} \left[ \frac{(j\omega)^3 + (j\omega)^2 + 1}{j\omega + 0/0} \right] \left[ \frac{-j\omega + 0/0}{-j\omega + 0/0} \right] \\ &= \frac{0/0 - 0/0\omega^2 - \omega^4 + j\omega(-1 + 0/0\omega^2)}{K(0/25 + \omega^2)} \end{aligned}$$

با صفر قرار دادن قسمت موهومی  $[G(j\omega)]^1$  بدست می آوریم که نمودار نایکوئیست، محور حقیقی را در فرکانس  $\omega = 0$  رادیان بر ثانیه قطع می کند و نقطه قطع بر روی محور حقیقی منفی در  $\frac{2}{K}$  است. همچنین از مساوی صفر قرار دادن قسمت حقیقی می توان فرکانس و نقطه

قطع با محور موهومی را تعیین کرد. برای این تابع تبدیل داریم

$$\begin{aligned} \frac{1}{G(j\omega)} &\rightarrow \frac{1}{K} \frac{0/0}{\omega^2} \quad \omega \rightarrow 0^+ \\ \frac{1}{G(j\omega)} &\rightarrow \infty \angle 180^\circ \quad \omega \rightarrow 0^+ \end{aligned}$$

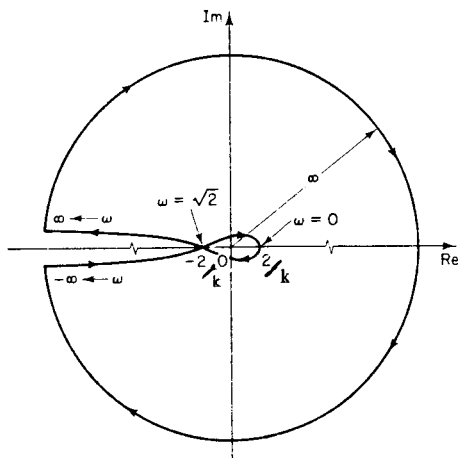
نمودار نایکوئیست معکوس  $(j\omega/G)^1$  در شکل ۴۹-۵ رسم شده است. همانطور که مشاهده می شود اگر نقطه ۱- بین نقاط  $0/2$  و  $-\infty$ - قرار گیرد، نقطه ۱- دور زده نخواهد شد و در آن

صورت  $N=0$ ، بنابراین برای پایداری باید شرط زیر برآورده گردد

$$-1 < \frac{-2}{K}$$

ولذا

$$K > 2$$



شکل ۴۹-۵ نمودار نایکوئیست معکوس مثال ۲۲-۵

## ۷-۵ مفاهیم حاشیه‌های بهره و فاز

پایداری و میزان آن را در یک سیستم، می‌توان از نمودارهای بود و نایکوئیست آن به سادگی تعیین کرد. تبیین پایداری سیستم در حوزه فرکانس، با معرفی مفاهیم حاشیه بهره<sup>۱</sup> و حاشیه فاز<sup>۲</sup>، صورت می‌پذیرد. همانطور که در بخش ۶-۵ مشاهده گردید، دور زدن یا نزدن نقطه ۱- توسط نمودار نایکوئیست، تعیین کننده پایداری یا ناپایداری یک سیستم است. این حاشیه‌ها میزان نزدیکی نمودار نایکوئیست به نقطه ۱- و در نتیجه میزان پایداری سیستم را اندازه‌گیری می‌کنند. در اینجا این مفاهیم را برای نمودارهای نایکوئیست ارایه می‌کنیم.

**حاشیه بهره:** حاشیه بهره مقدار ثابتی است مانند  $a$  که بهره باید افزایش یابد تا سیستم ناپایدار گردد. اگر فرکانسی را که در آن زاویه فاز تابع تبدیل سیستم  $180^\circ$  است با  $\omega$  نشان دهیم، آنگاه حاشیه بهره سیستم از رابطه زیر تعیین می‌گردد

$$|G(j\omega_1)| = a \quad (1-7-5)$$

و بر روی نمودار نایکوئیست دامنه  $G(j\omega)$  در  $\omega_1$  عبارتست از

$$|G(j\omega_1)| = \frac{1}{a} \quad (2-7-5)$$

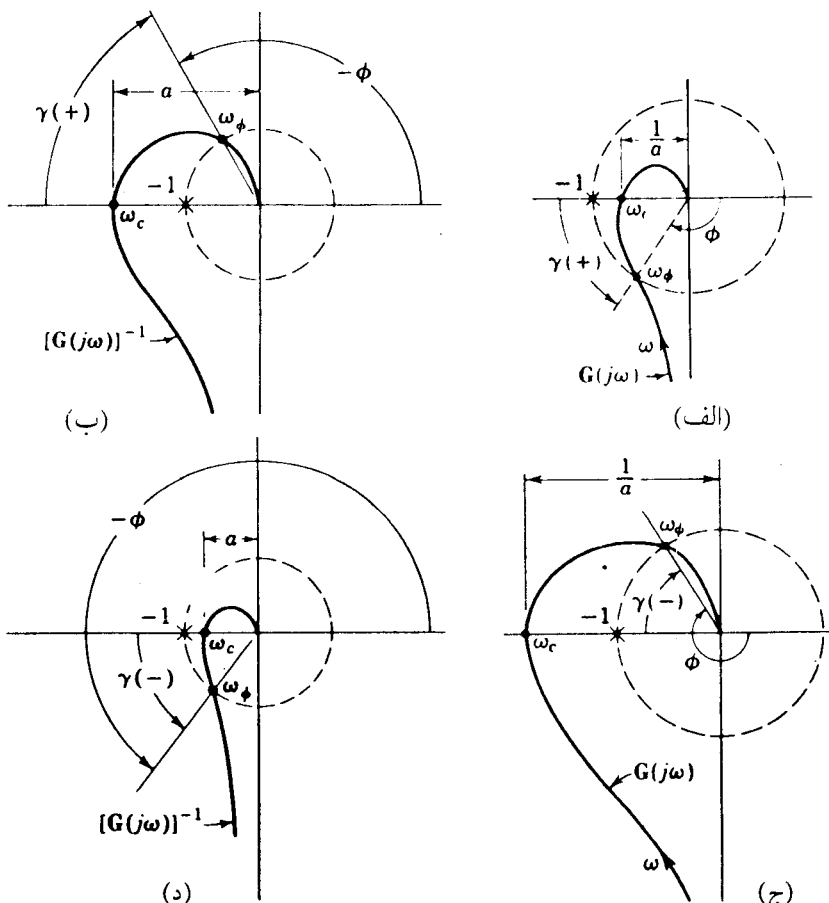
فرکانس  $\omega_1$  را فرکانس تقاطع فاز<sup>۳</sup> می‌نامند.

1- Gain margin

2- Phase margin

3- Phase crossover frequency

حاشیه فاز: اگر فرکانسی را که در آن دامنه  $G(j\omega)$  واحد است، با  $\omega_c$  نشان دهیم (یعنی آنکه  $|G(j\omega_c)| = 1$ )، آنگاه حاشیه فاز مقدار انتقال فازی است که در فرکانس  $\omega_c$  باعث ناپایداری سیستم می‌شود. هم‌چنین می‌توان گفت که حاشیه فاز برابر است با  $180^\circ$  بعلاوه زاویه فاز  $G(j\omega_c)$ ، که در آن زاویه فاز  $G(j\omega_c)$  منفی است. فرکانس  $\omega_c$  را فرکانس تفاطع بهره می‌نامند. مفاهیم حاشیه بهره و فاز، به طور ترسیمی در شکل‌های ۵-۵ (الف) تا (د) نشان داده شده‌اند.



نمودارهای نایکوئیست نشان دهنده حاشیه بهره و حاشیه فاز: (الف) و (ب) پایدار (ج) و (د) ناپایدار

## مثال ۵-۲

تابع تبدیل حلقه باز سیستمی عبارتست از

$$G(j\omega) = \frac{K}{(j\omega+1)(j\omega+2)(j\omega+3)}$$

حاشیه‌های بهره و فاز را برای  $K=20$  و  $\omega=80^\circ$  محاسبه کرده و پایداری آن را تعیین کنید.

داریم

$$|G(j\omega)| = \frac{K}{(\omega^2+1)^{1/2}(\omega^2+4)^{1/2}(\omega^2+9)^{1/2}}$$

$$\angle G(j\omega) = -\tan^{-1}\left[\frac{\omega}{1}\right] - \tan^{-1}\left[\frac{\omega}{2}\right] - \tan^{-1}\left[\frac{\omega}{3}\right]$$

برای تعیین حاشیه بهره نخست باید فرکانسی را پیدا کنیم که در آن  $\angle G(j\omega) = \pm 180^\circ$ . به عبارت دیگر فرکانسی که در آن نمودار نایکوئیست  $G(j\omega)$  محور حقیقی منفی را قطع می‌کند. برای تعیین این فرکانس از رابطه زیر استفاده می‌کنیم

$$[G(j\omega)]_{\text{قسمت موهومی}} = \frac{K\omega(\omega^2-1)}{(\omega^2+1)(\omega^2+4)(\omega^2+9)} = 0$$

و لذا  $\omega_1 = \sqrt{11}$ . با قراردادن  $\omega = \sqrt{11}$  در  $|G(j\omega)| = K/60^\circ$  داریم. برای  $K=20$ ،  $|G(j\omega_1)| = 1/3$ . بنابراین بهره را می‌توان توسط فاکتور ۳ افزایش داد، به عبارت دیگر بهره را می‌توان توسط  $|G(j\omega_1)|/1$  افزایش داده تا به نقطه ۱-رسید. حاشیه بهره بدین

ترتیب عبارتست از

$$20 \log_{10}(3) = 20 \log_{10}(1/\left|G(j\omega_1)\right|) = 9.544 \text{ dB}$$

هم چنین برای تعیین حاشیه فاز نخست  $\omega_2$  را تعیین می‌کنیم، که در آن  $|G(j\omega_2)| = 1$ . برای  $K=20$  داریم

$$\frac{20}{(\omega^2+1)^{1/2}(\omega^2+4)^{1/2}(\omega^2+9)^{1/2}} = 1$$

بنابراین  $\omega = 1/838$  در این فرکانس  $G(j\omega) = -135/54^\circ \angle$  و حاشیه فاز عبارتست از

$44/46^\circ$  با توجه به مقادیر حاشیه بهره و حاشیه فاز سیستم پایدار است.

به طور مشابهی حاشیه های بهره و فاز را برای  $K=80$  تعیین می کنیم. برای  $G(j\omega) = \pm 180^\circ$  می توان نشان داد که  $|G(j\omega)| = 4/3$  و لذا برای رسیدن به نقطه ۱ باید بهره را به اندازه  $3/4$  افزایش داد. حاشیه بهره در این حالت برابر است با  $-2/5 \text{dB}$ .  $log_{10}(3/4) = 2.0$ . توجه کنید که برای سیستم ناپایدار حاشیه بهره منفی است. این بدان معنی است که برای پایدار کردن سیستم باید بهره را کاهش داد. حاشیه فاز را نخست با حل  $|G(j\omega)|$  بدست می آوریم. می توان نشان داد که برای

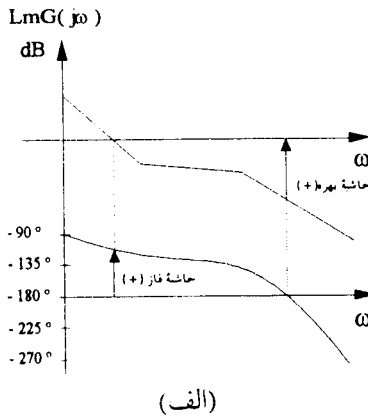
$$\frac{80}{(\omega^2 + 1)(\omega^2 + 4)(\omega^2 + 9)} = 1$$

$\omega$  برابر با  $3/766$  است. در این فرکانس  $-188/62^\circ \angle G(j\omega)$  و لذا حاشیه فاز  $-8/62^\circ$  می باشد. بدینهی است که با توجه به مقادیر منفی حاشیه بهره و حاشیه فاز، سیستم با این بهره ناپایدار است.

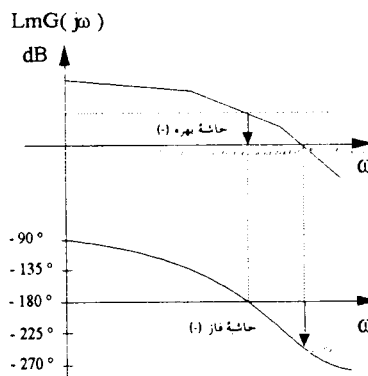
HASHIYE HAI BEHREH VAZ RA MI TOWAN BE CHORUT MASHABEH TOOSSET NMODAR HAI BOD TARIFF NMODAR HAI. SHAKHLA 51-5, AIN HASHIYE HA RA BIR ROY NMODAR BOD TOWAN MI DED. HMANTEVAR KAH AZ AIN SHAKHLA MASHAHDHE MI SHOD, SISTEM DR CHORTI PA YIDAR AST KAH HASHIYE BEHREH AN BIR HARB DSI BAL MEBIT, VA HASHIYE VAZ AN NIYER IK ZAOYEH MEBIT BASHD. HEM CHENIN SISTEM MI RANA PA YIDAR GOYINDE KAH HASHIYE BEHREH AN BIR HARB DSI BAL MNF, VA HASHIYE VAZ AN NIYER IK ZAOYEH MNF BASHD. SISTEM MI NIYER PA YIDAR BHRANI AST KAH HASHIYE HAI VAZ O BEHREH AN HER DO SCFR BASHND.

## ۸-۵ چارت نیکولز

تحلیل پاسخ فرکانسی یک سیستم، بکارگیری و بررسی اطلاعات بهره و فاز آن بر روی گستره وسیع از فرکانس ها است. نمودارهای بود و نایکوئیست، دو روش اصلی تحلیل پاسخ فرکانسی، با یک نوع از داده ها سر و کار دارند، لیکن آنها را به دو نوع کاملاً متفاوت نمایش می دهند. روش دیگر تحلیل پاسخ فرکانسی، چارت نیکولز<sup>۱</sup> است که از همان داده ها استفاده



(الف)



(ب)

شکل ۵-۵ (الف) دیاگرام بود یک سیستم پایدار (ب) دیاگرام بود یک سیستم ناپایدار

می‌کند ولی آنها را به گونه دیگری نمایشن می‌دهد. بسیاری از روش‌های بکار گرفته شده در چارت نیکولز مشابه روش‌های بود و نایکوئیست هستند. هم‌چنین بکارگیری و استفاده از نمودارهای بود و نایکوئیست ساده‌تر از چارت نیکولز است و لذا در این کتاب چارت نیکولز را به اندازه دو روش دیگر توضیح نمی‌دهیم و صرفاً به بررسی اجمالی آن خواهیم پرداخت. یک مزیت مشترک این سه روش آن است که با رسme پاسخ فرکانسی حلقه - باز، نتایج مهمی از رفتار سیستم حلقه - بسته (مانند پایداری نسبی آن)، استنتاج می‌شود. در هر سه روش برای سیستم حلقه - بسته فیدبک واحد با تابع تبدیل حلقه -

باز  $G(j\omega)$  نمودارهای متناظر  $G(j\omega)$  را رسم می‌کنیم. اگر سیستم حلقه - بسته غیر واحد با تابع تبدیل  $H(j\omega)$  در مسیر فیدبک باشد، می‌توان نخست با استفاده از جبر بلوک دیاگرامی آن را به یک سیستم حلقه - بسته با فیدبک واحد معادل تبدیل کرد، نمودارهای متناظر تابع تبدیل حلقه - باز معادل را رسم کرد و یا اینکه نمودارهای متناظر  $G(j\omega)H(j\omega)$  را رسم نمود. نخست، تابع تبدیل حلقه - باز یک سیستم  $\dot{G}(j\omega)$  را در نظر بگیرید. بهره این سیستم بر حسب dB را بر حسب مقادیر زوایایی فاز متناظر بر حسب درجه، بر روی گستره از فرکانس‌ها،  $\omega_n = \omega_{\infty}$  تا  $\omega = \omega_0$  رسم کنید. این روند در مثال زیر نشان داده شده است.

#### مثال ۲۴-۵

تابع تبدیل حلقه - باز سیستمی عبارتست از

$$G(j\omega) = \frac{20}{j\omega(j\omega + 1)}$$

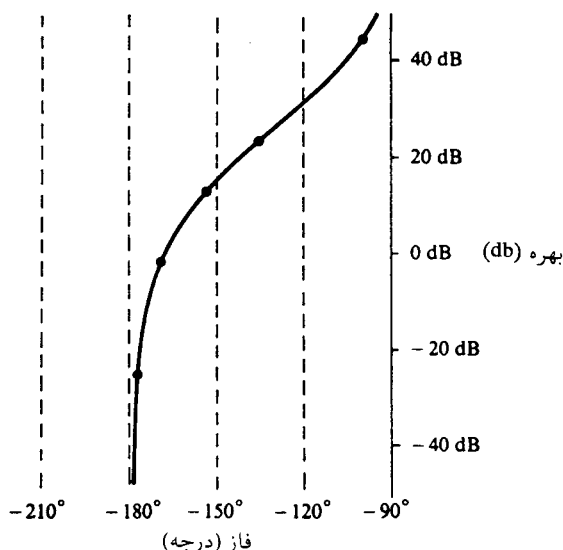
بهره و زاویه فاز این سیستم به صورت زیر داده می‌شود:

$$\begin{aligned} \text{Lm}G(j\omega) &= 20 \log_{10} \frac{20}{\omega(\omega^2 + 1)^{1/2}} \\ &= 20 \log_{10}(20) - 20 \log_{10}(\omega) - 10 \log_{10}(\omega^2 + 1) \\ \angle G(j\omega) &= -90^\circ - \tan^{-1}(\omega) \end{aligned}$$

دو مقدار بهره و زاویه فاز تابع تبدیل را برای یک گستره فرکانسی تعیین می‌کنیم. جدول ۱۳-۵ مقادیر بهره و زاویه فاز تابع تبدیل را برای  $\omega$  از  $0^\circ$  تا  $20^\circ$  رادیان بر ثانیه نشان می‌دهد. این مقادیر در شکل ۲۴-۵ به صورت نمودار بهره بر حسب زاویه فاز رسم شده‌اند.

جدول ۱۳-۵ جدول مقادیر بهره و زاویه فاز مثال ۲۴-۵

$\angle G(j\omega)$ (درجه)	$\text{Lm}G(j\omega), \text{dB}$	فرکانس $\omega$
-95/71	40/98	0/1
-135°	22/01	1
-153/43°	13/01	2
-168/69°	-2/11	5
-177/13°	-26/03	20



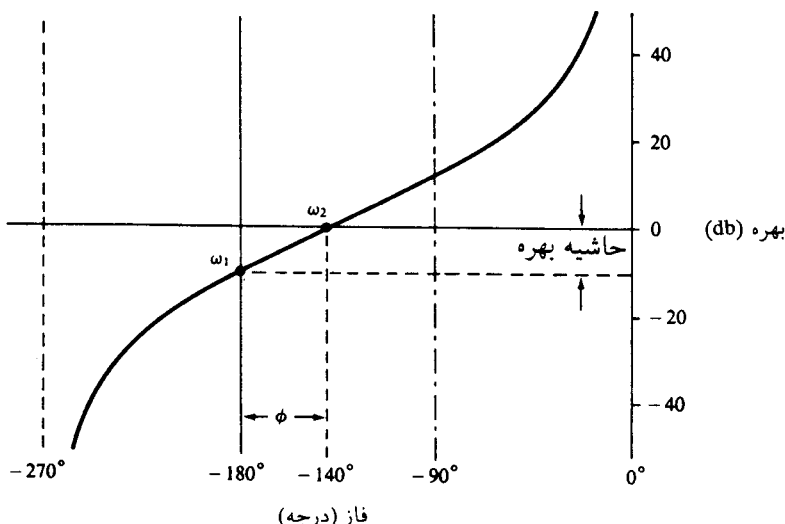
شکل ۵۲-۵ نمودار بهره بر حسب فاز مثال ۲۴-۵

در بخش ۷-۵ مفاهیم حاشیه بهره و فاز را برای نمودارهای بود و نایکوئیست جهت تعیین پایداری و پایداری نسبی سیستم‌های حلقه - بسته بررسی کردیم. در اینجا بدون ورود به جزئیات بیشتر با یک مثال، نحوه تعیین حاشیه‌های بهره و فاز و کاربرد آنها در تعیین پایداری را برای نمودارهای بهره بر حسب فاز ارایه می‌کنیم.

#### مثال ۲۵-۵

نمودار بهره بر حسب فاز سیستمی در شکل ۵۳-۵ نشان داده شده است. برای تعیین حاشیه بهره نخست باید فرکانسی را که در آن زاویه فاز تابع تبدیل  $180^\circ$  است، بدست آورد و سپس حاشیه بهره را از رابطه زیر تعیین کرد:

$$\begin{aligned} \text{Hashiye Behre} &= 20 \log_{10} \left| \frac{1}{G(j\omega_1)} \right| \text{dB} \\ &= -20 \log_{10} |G(j\omega_1)| \text{dB} \end{aligned}$$



شکل ۵۳-۵ نمودار بهره بر حسب فاز مثال ۵-۲۵

که در آن برای  $\omega_1$  داریم  $G(j\omega_1) = -180^\circ$  و  $|G(j\omega_1)|$  را می‌توان مستقیماً و یا از نمودار بهره بر حسب فاز تعیین کرد. همانطور که در شکل ۵۳-۵ نشان داده شده است، حاشیه بهره  $10 \text{ dB}$  می‌باشد.

HASHIEE FAZ RA BIRAYI FARKANSSI MANTEND  $\omega_2$  KE DR AN BEHRE  $40^\circ$  AST, PEDA MI KENIM. BINAER TEHRIF DARIYIM

$$\text{HASHIEE FAZ} = 180^\circ + \angle G(j\omega_2)$$

که در آن  $\angle G(j\omega_2)$  را می‌توان مستقیماً و یا از نمودار بهره بر حسب فاز تعیین کرد. همانطور که در شکل ۵۳-۵ نشان داده شده است، حاشیه فاز سیستم  $40^\circ + 40^\circ = 80^\circ$  می‌باشد زیرا زاویه فاز تابع تبدیل در  $\omega_2$  برابر با  $-140^\circ$  است.

### ۱-۸-۵ پاسخ فرکانسی حلقه - بسته

اساس کلیه روش‌های پاسخ فرکانسی ارایه شده، استفاده از پاسخ فرکانسی سیستم حلقه - باز  $G(j\omega)$  برای تحلیل سیستم حلقه - بسته است. تابع تبدیل سیستم حلقه - بسته با فیدبک

واحد عبارتست از

$$\frac{C(j\omega)}{R(j\omega)} = \frac{G(j\omega)}{1+G(j\omega)} \quad (1-8-5)$$

بدیهی است که در هر فرکانس  $\omega = \omega'$ ، برای  $G(j\omega') = G(\omega')$  یک و تنها یک مقدار دامنه و زاویه فاز متناظر حلقه - بسته داده شده با  $|C(j\omega')/R(j\omega')|$  و  $\angle[C(j\omega')/R(j\omega')]$  وجود دارد. لیکن اگر یک مقدار معین دامنه  $|C(j\omega)/R(j\omega)|$  بدون محدودیتی بر روی زاویه فاز آن  $\angle[C(j\omega)/R(j\omega)]$  در نظر گرفته شود. مقادیر فراوانی از  $G(j\omega)$  را می‌توان بر حسب دامنه و فاز پیدا کرد که این مشخصه را بدست دهنده. برای نشان دادن این مطلب، تابع تبدیل که یک کمیت مختلط است را به صورت زیر نشان دهید

$$G(j\omega) = x + iy \quad (2-8-5)$$

پاسخ فرکانسی سیستم حلقه - بسته عبارتست از

$$\frac{C(j\omega)}{R(j\omega)} = \frac{x + iy}{1 + x + iy} \quad (3-8-5)$$

دامنه تابع تبدیل حلقه - بسته داده شده با معادله (۳-۸-۵) عبارتست از

$$M = \left| \frac{C(j\omega)}{R(j\omega)} \right| = \left( \frac{x^2 + y^2}{1 + 2x + x^2 + y^2} \right)^{1/2} \quad (4-8-5)$$

با به توان دو رساندن طرفین معادله (۴-۸-۵) و پس از چند عمل مقدماتی جبری، خواهیم داشت

$$x^2(M^2 - 1) + 2xM^2 + y^2(M^2 - 1) = -M^2 \quad (5-8-5)$$

با تقسیم طرفین معادله (۵-۸-۵) بر  $M^2 - 1$  و کمال کردن معادله با اضافه کردن عبارت  $M^4/(M^2 - 1)^2$  به طرفین آن، بدست می‌آوریم

$$x^2 + \frac{2xM^2}{(M^2 - 1)} + \frac{M^4}{(M^2 - 1)^2} + y^2 = \frac{M^4}{(M^2 - 1)^2} - \frac{M^2}{(M^2 - 1)} \quad (6-8-5)$$

و لذا از معادله (۶-۸-۵)، داریم

$$\left( x + \frac{M^2}{M^2 - 1} \right)^2 + y^2 = \frac{M^4}{(M^2 - 1)^2} \quad (7-8-5)$$

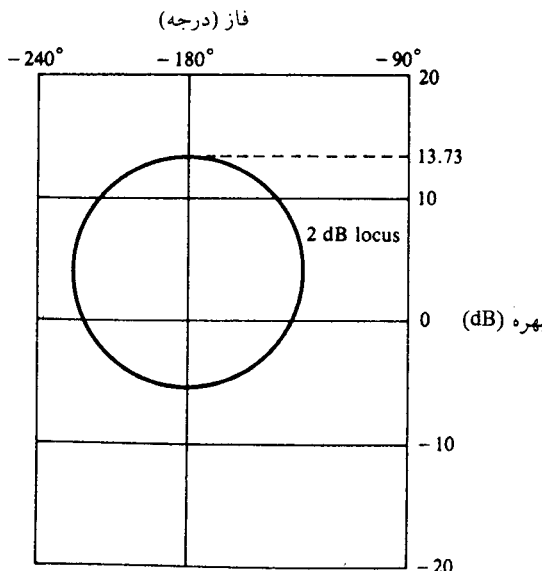
معادله (۷-۸-۵)، معادله دایره‌ای است با مرکز  $(\frac{M}{M^2 - 1}, \frac{M^2}{M^2 - 1})$  و شعاع  $| \frac{M}{M^2 - 1} |$ . بنابراین کلیه توابع تبدیل حلقه - باز که مقادیر قسمتهای حقیقی و موهومی آنها (x و y) در معادله (۷-۸-۵)) به گونه‌ای باشند که بر روی دایره داده شده با معادله (۷-۸-۵) قرار گیرند، دارای تابع تبدیل حلقه - بسته‌ای با دامنه یکسان M خواهند بود.

#### مثال ۲۶-۵

اگر دامنه تابع تبدیل حلقه - بسته را  $2\text{dB}$  در نظر بگیریم،  $M = 20 \log_{10} |C(j\omega)/R(j\omega)| = 2\text{dB}$ ، نمودار نشان داده شده در شکل ۵۴-۵، ترکیبیهای بهره و فاز تابع تبدیل حلقه - بازی را نشان می‌دهد که سیستم حلقه - بسته‌ای با بهره  $2\text{dB}$  را می‌دهند. این ترکیبها یک مکان هندسی  $2\text{dB}$  ایجاد می‌کنند. توجه کنید که محورهای عمودی بهره و افقی فاز تنها به سیستم حلقه - باز اعمال می‌شوند و هیچ مقادیر بهره و فاز حلقه - بسته‌ای را نشان نمی‌دهند. یک نقطه مانند  $0^\circ$  را روی مکان هندسی در نظر بگیرید.

$$\frac{G(j\omega)}{1+G(j\omega)} = 1/259$$

بنابراین



شکل ۵۴-۵ نمودار بهره بر حسب فاز نشان دهنده مکان هندسی بهره حلقه - بسته  $2\text{dB}$  (M ثابت).

و لذا

$$|G(j\omega)| = 4/861 = 13/734 \text{dB}$$

$$\angle G(j\omega) = -180^\circ$$

بنابراین، اگر نقطه  $-180^\circ$  متناظر با بهره و فاز سیستم حلقه - باز  $G(j\omega)$  برای یک فرکانس  $\omega'$  باشد، آنگاه بهره و فاز سیستم حلقه - بسته با فیدبک واحد،  $20\text{dB} \angle 0^\circ$  در فرکانس  $\omega'$  خواهد بود.

تحلیل مشابهی را می‌توان با انتخاب یک زاویه فاز  $[C(j\omega)/R(j\omega)]$  بدون محدودیتی بر روی بهره  $|C(j\omega)/R(j\omega)|$  انجام داد. زاویه فاز داده شده را می‌توان با ترکیبهای بسیاری از بهره‌ها و زاویه‌های فاز حلقه - باز تابع تبدیل  $G(j\omega)$  بدست آورد. هر کدام از این ترکیبها، همان زاویه فاز را با بهره‌های مختلف بدست خواهد داد. برای نشان دادن این مطلب می‌توان تابع تبدیل حلقه - بسته را به صورت قطبی زیر نمایش داد

$$\frac{C(j\omega)}{R(j\omega)} = M e^{j\alpha} \quad (8-8-5)$$

که در آن  $M = |C(j\omega)/R(j\omega)|$  و  $\alpha = \arg[C(j\omega)/R(j\omega)]$ . از معادله (۳-۸-۵)، داریم

$$\begin{aligned} \alpha &= \arg \frac{x+jy}{1+x+jy} \\ &= \arg \frac{x^2 + x + y^2 + jy}{(1+x)^2 + y^2} \end{aligned} \quad (9-8-5)$$

با تعریف  $N = \tan \alpha$  از معادله (۹-۸-۵)، بدست می‌آوریم

$$N = \tan \alpha = \frac{y}{x^2 + x + y^2} \quad (10-8-5)$$

بنابراین

$$x^2 + x + y^2 - \frac{y}{N} = 0 \quad (11-8-5)$$

با یکسری از عملیات جبری بر روی معادله (۱۱-۸-۵)، می‌توان نشان داد که

$$\left(x + \frac{1}{2}\right)^2 + \left(y - \frac{1}{2N}\right)^2 = \frac{N^2 + 1}{4N^2} \quad (12-8-5)$$

معادله (۱۲-۸-۵) معادله دایره‌ایی با مرکز  $(\frac{1}{2}, \frac{1}{2N})$  و شعاع  $r = \frac{1}{2N}\sqrt{N^2 + 1}$  می‌باشد.

بنابراین کلیه توابع تبدیل حلقه - باز که قسمتهای حقیقی و موهومی آنها ( $\alpha$  و  $\beta$ ) لادر معادله (۱۲-۸-۵)، به گونه‌ای باشند که بر روی دایره داده شده با معادله (۱۲-۸-۵) قرار گیرند، دارای تابع تبدیل حلقه - بسته‌ای با زاویه فاز یکسان  $\alpha$  ولی دامنه‌های متفاوت خواهد بود.

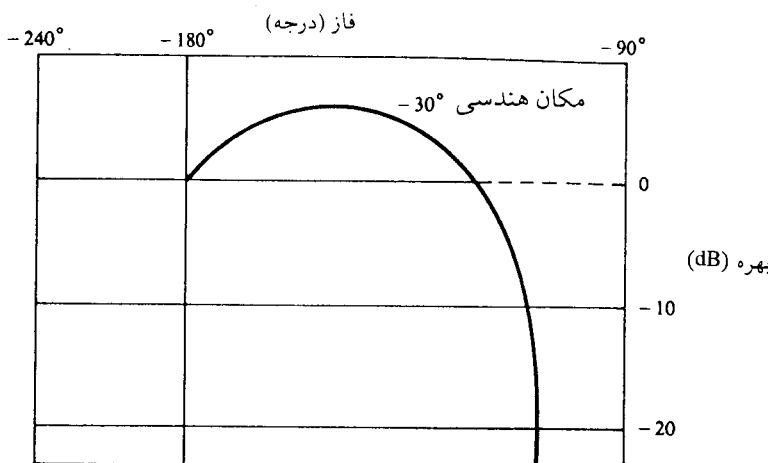
### ۲۷-۵ مثال

اگر تابع تبدیل حلقه - بسته با زاویه فاز  $-30^\circ$  را در نظر بگیریم، داریم

$$\angle [C(j\omega)/R(j\omega)] = \alpha = -30^\circ$$

نمودار شکل ۵۵-۵ ترکیب‌های بهره و فاز حلقه - بازی را نشان می‌دهد که سیستم حلقه - بسته‌ای با فاز  $-30^\circ$  را می‌دهند. وقت کنید که این ترکیبها یک مکان هندسی را تشکیل داده‌اند. همانند شکل ۵۴-۵، محورهای عمودی بهره و افقی فاز تنها به سیستم حلقه - باز اعمال می‌گردند و هیچ مقدار حلقه - بسته‌ای را نشان نمی‌دهند. یک نقطه مانند  $-6^\circ$  dB  $\angle -60^\circ$  را بر روی مکان هندسی در نظر بگیرید. آنگاه

$$\frac{C(j\omega)}{R(j\omega)} = \frac{1 \angle -60^\circ}{1 + 1 \angle -60^\circ} = \frac{1}{\sqrt{3}} \angle -30^\circ = -4/771 \text{dB} \angle -30^\circ$$



شکل ۵۵-۵ نمودار بهره بر حسب فاز، نشان دهنده زاویه فاز حلقه - بسته  $-30^\circ$

بنابراین اگر نقطه  $60^\circ - 7dB \angle 70^\circ$  متناظر با بهره و فاز یک سیستم حلقه - باز ( $G(j\omega)$ ) برای فرکانسی مانند  $\omega$  است، آنگاه سیستم حلقه - بسته با فیدبک واحد، بهره و فازی برابر با  $-30^\circ - 77dB \angle 4^\circ$  در فرکانس  $\omega$  خواهد داشت.

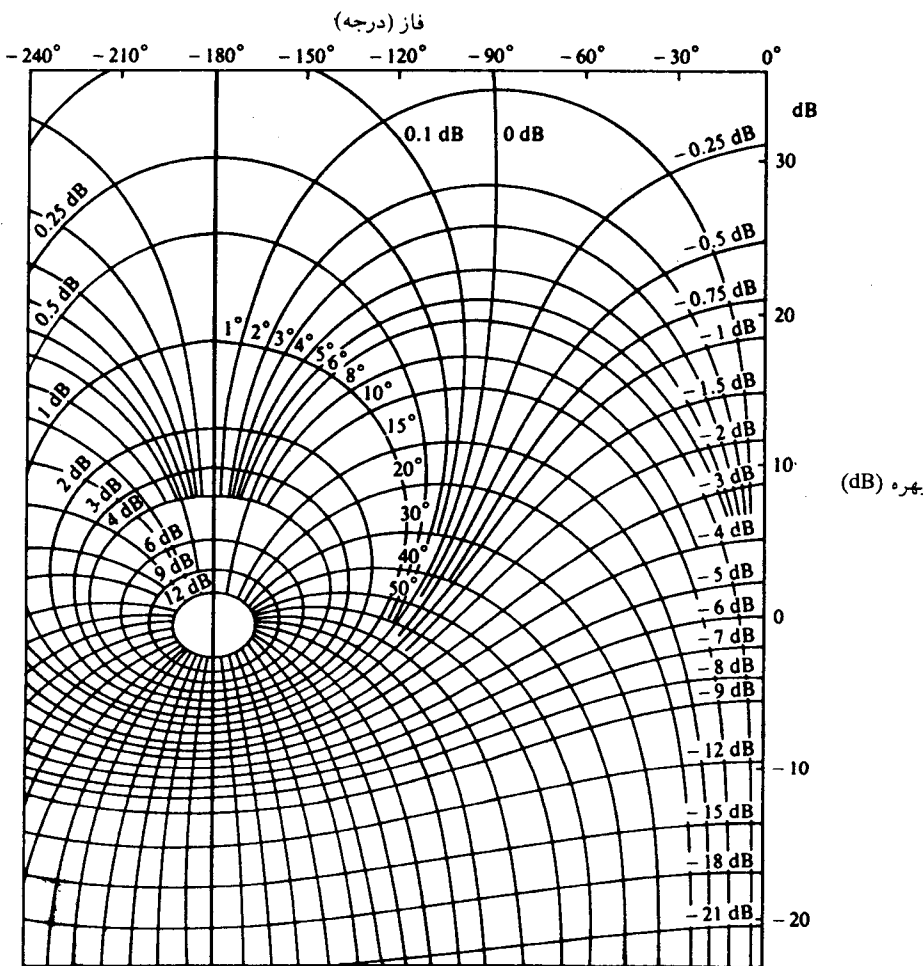
در تحلیل پاسخ فرکانس سیستم حلقه - بسته با استفاده از تابع تبدیل حلقه - باز آن ( $G(j\omega)$ )، به دو مکان هندسی در مثالهای ۵-۲۶ و ۵-۲۷ اشاره شد. مشاهده شد که اگر دامنه سیستم حلقه - بسته را یک مقدار ثابت فرض کنیم، توابع تبدیل حلقه - باز بسیاری را می‌توان پیدا کرد که همان مقدار دامنه (با زوایای فاز متفاوت) را در فیدبک حلقه واحد بدست دهنند. در مثال ۵-۲۶ این کار برای  $2dB$  دامنه سیستم حلقه - بسته انجام گرفت و یک مکان هندسی دامنه ثابت بدست آمد (شکل ۵). به طور مشابهی می‌توان، همانند مثال ۵-۲۷، زاویه فاز حلقه - بسته را تعیین کرد و توابع تبدیل حلقه - باز بسیاری را پیدا نمود که همان مقدار زاویه فاز (با دامنه‌های متفاوت) را بدست دهنند (شکل ۵). اکنون فرض کنید که مثال ۵-۲۶ را برای مقادیر مختلف دامنه (برحسب  $dB$ ) تکرار کنیم، و هم چنین مثال ۵-۲۷ را برای زاویه فاز بین  $0^\circ$  تا  $240^\circ$  (برحسب درجه) تکرار کنیم. اگر مکان هندسیهای بدست آمده از دامنه‌های ثابت و زوایای فاز ثابت را در یک شکل رسم کنیم، شکل بدست آمده را چارت نیکولز می‌نامند. چارت نیکولز در شکل ۵-۵۶ نشان داده شده است. در چارت نیکولز محورهای بهره عمودی و افقی فاز متناظر با مقادیر سیستم حلقه - باز هستند، در حالیکه مسیرهای منحنی الخط<sup>۱</sup> متناظر با سیستم حلقه - بسته هستند. به نکات زیر در رابطه با چارت نیکولز دقت کنید:

نکته ۱: نقطه بحرانی  $j+1$ - در صفحه مختلط به نقطه  $0^\circ$  و  $180^\circ$  بر روی چارت نیکولز نگاشت می‌شود.

نکته ۲: چارت نیکولز حول محور  $180^\circ$ - متقارن است.

نکته ۳: کلیه مسیرهای فاز حلقه - بسته نشان داده شده مقادیر زوایای فاز منفی می‌باشند، به عبارت دیگر یک مسیر منحنی الخط  $40^\circ$ ، نشان دهنده یک زاویه فاز حلقه - بسته  $-40^\circ$  است.

نکته ۴: اگر منحنی پاسخ فرکانسی حلقه - باز سیستم را (با بکارگیری داده‌های دامنه و زاویه فاز به ترتیب برحسب  $dB$  و درجه) بر روی نمودار نیکولز رسم کنیم، نقاط قطع



شکل ۵-۵ چارت نیکولز

منحنی پاسخ فرکانسی حلقه - باز ( $G(j\omega)$ ) و مسیرهای منحنی الخط مقادیر دامنه  $M$  و زاویه فاز  $\alpha$  پاسخ فرکانسی حلقه - بسته را در هر نقطه فرکانس بدست می دهند.  
 نکته ۵: با رسم منحنی پاسخ فرکانسی ( $G(j\omega)$ ) در جهت افزایش فرکانس «» سیستم حلقه - بسته پایدار است اگر نقطه بحرانی  $dB = -180^\circ$  در سمت راست منحنی باشد. در صورتیکه منحنی بیش از یک بار محور  $-180^\circ$  را قطع کند، سیستم پایدار شرطی است.

## مثال ۲۸-۵

تابع تبدیل حلقه - باز زیر را در نظر بگیرید

$$G(j\omega) = \frac{20}{(j\omega+1)(j\omega+2)(j\omega+3)}$$

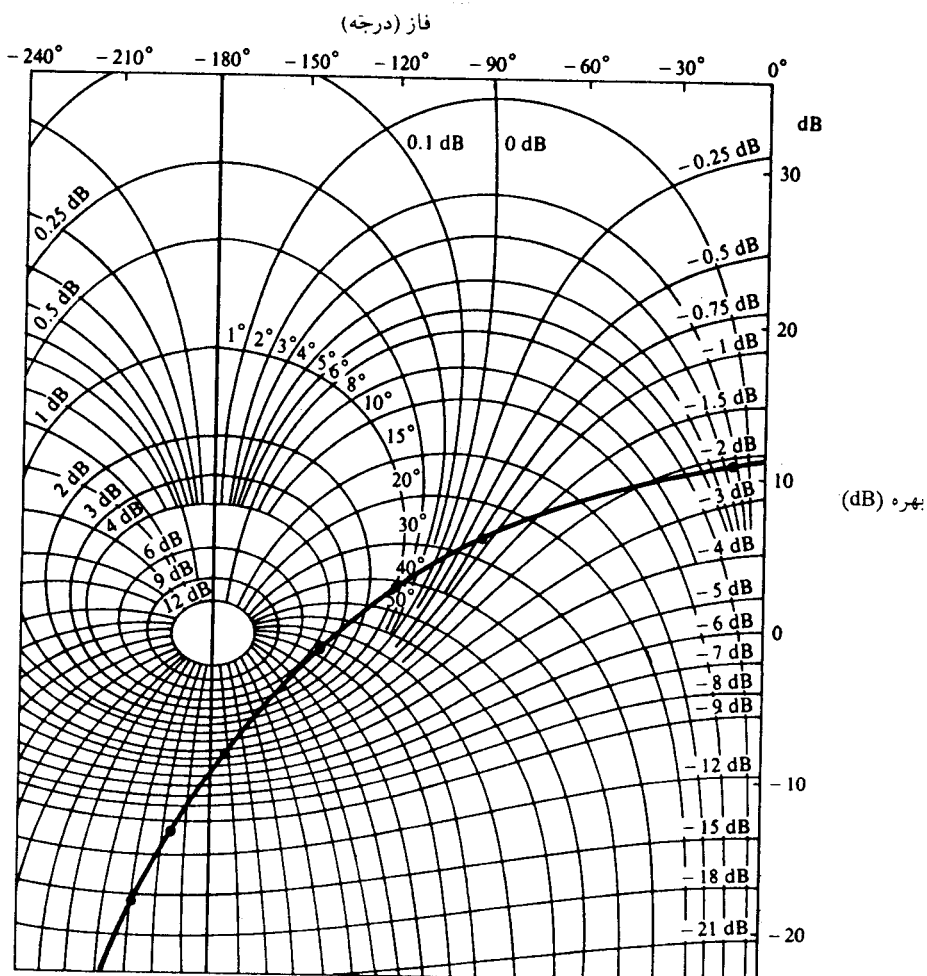
بهره (برحسب dB) و زاویه فاز (برحسب درجه) تابع تبدیل بالا برای یک گستره فرکانسی در جدول ۱۶-۵ آورده شده است. این مقادیر بر روی چارت نیکولز در شکل ۵۷-۵ به صورت منحنی پاسخ فرکانسی حلقه - باز سیستم نشان داده شده‌اند. بهره و فاز حلقه - بسته را می‌توان مستقیماً برای هر فرکانس و مقدار دلخواه بهره و فاز حلقه - باز از چارت نیکولز تعیین کرد. دقیق‌تر که نمودار حلقه - باز با مکان هندسی زاویه فاز حلقه - بسته  $180^\circ$  - هنگامیکه مکان هندسی بهره حلقه - بسته  $-6\text{dB}$  - است، برخورد می‌کند.

جدول ۱۶-۵ مقادیر فاز و بهره برای سیستم مثال ۲۸-۵

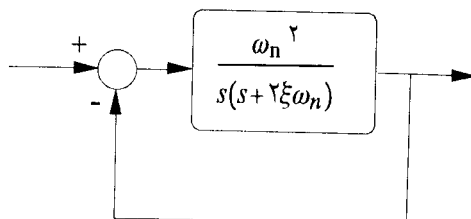
$\angle G(j\omega)$	$LmG(j\omega)\text{dB}$	فرکانس $\omega$
$-10/48^\circ$	$10/4$	$0/1$
$-90^\circ$	$6/02$	$1$
$-114/74^\circ$	$2/43$	$1/5$
$-142/13^\circ$	$-1/14$	$2$
$-172/87^\circ$	$-7/87$	$3$
$-192/53^\circ$	$-13/27$	$4$
$-205/92^\circ$	$-18/07$	$5$

- ۹-۵ مشخصه‌های عملکرد سیستم براساس پاسخ فرکانسی  
سیستم درجه دوم نشان داده شده در شکل ۵۸-۵ را در نظر بگیرید. تابع تبدیل حلقه -  
بسته عبارتست از

$$\frac{C(s)}{R(s)} = \frac{\omega_n^2}{s^2 + 2\xi\omega_n s + \omega_n^2} \quad (1-9-5)$$



شکل ۵۷-۵ چارت نیکولز مثال ۲۸-۵



شکل ۵۸-۵ سیستم درجه دوم

که در آن  $\xi$  و  $\omega_n$  به ترتیب نسبت میرایی و فرکانس طبیعی غیرمیرایی باشند.تابع تبدیل حلقه -  
- بسته پاسخ فرکانسی بدین صورت داده می شود

$$\frac{C(j\omega)}{R(j\omega)} = \frac{1}{\left(1 - \frac{\omega^2}{\omega_n^2}\right) + j2\xi\frac{\omega}{\omega_n}} = M e^{j\alpha} \quad (2-9-5)$$

که در آن

$$M = \frac{1}{\sqrt{\left(1 - \frac{\omega^2}{\omega_n^2}\right)^2 + \left(2\xi\frac{\omega}{\omega_n}\right)^2}}, \quad \alpha = -\tan^{-1}\left(\frac{2\xi\frac{\omega}{\omega_n}}{1 - \frac{\omega^2}{\omega_n^2}}\right)$$

همانطور که از شکل ۱۲-۵ بخش ۲-۵ مشاهده می شود، برای مقادیری از نسبت میرایی-  
 $|G(j\omega)| = M$  یک مقدار سطیع در یک فرکانس خاص دارد. فرکانسی که در آن مقدار سطیع رخ  
می دهد را فرکانس تشیدید<sup>۱</sup> می نامند. از آنجاییکه صورت  $M$  یک ثابت است، لذا مقدار سطیع  
 $|G(j\omega)|$  هنگامی رخ میدهد که عبارت زیر می نیمم باشد

$$g(\omega) = \left(1 - \frac{\omega^2}{\omega_n^2}\right)^2 + \left(2\xi\frac{\omega}{\omega_n}\right)^2 \quad (3-9-5)$$

با بازنویسی معادله (۳-۹-۵) به صورت زیر

$$g(\omega) = \left[ \frac{\omega^2 - \omega_n^2(1 - 2\xi^2)}{\omega_n^2} \right]^2 + 4\xi^2(1 - \xi^2) \quad (4-9-5)$$

داریم که می نیمم مقدار  $g(\omega)$  در  $1 - 2\xi^2$  رخ خواهد داد. بنابراین فرکانس تشیدید  $\omega_r$   
عبارتست از

$$\omega_r = \omega_n \sqrt{1 - 2\xi^2} \quad (5-9-5)$$

بدیهی است که معادله (۵-۹-۵) برای مقادیر  $0 \leq \xi \leq 1$  که در آنها سطیعی رخ می دهد

مفهوم دارد. به ازاء مقادیر  $\omega = \omega_r$ ، فرکانس  $\omega_r$  به سمت  $\omega_n$  میل می‌کند. برای  $\omega > \omega_n$  فرکانس ستیغ  $\omega$  کمتر از فرکانس طبیعی میرا  $\omega_d = \sqrt{1 - \xi^2}$  است (فصل دوم). از معادله (۵-۹-۵) مشاهده می‌شود که برای  $\omega > \omega_d$  ستیغ تشدید وجود نخواهد داشت.

اندازه ستیغ تشدید  $M_r$  را می‌توان با جایگزینی معادله (۵-۹-۵) در  $M$  بدست آورد.

داریم

$$M_r = \max |G(j\omega)| = |G(j\omega_r)| = \frac{1}{\sqrt{1 - \xi^2}} \quad (6-9-5)$$

برای  $\omega > \omega_d$ ,

$$M_r = 1 \quad (7-9-5)$$

به ازاء مقادیر  $\omega > \omega_d$ ،  $M_r$  نیز به سمت بی‌نهایت میل خواهد کرد. به عبارت دیگر اگر سیستم کم میرا در فرکانس طبیعی خودش تحریک شود، دامنه  $G(j\omega)$  بی‌نهایت خواهد شد.

زاویه فاز  $\alpha$  در فرکانس تشدید را می‌توان با جایگزینی معادله (۵-۹-۵) در  $\alpha$  بدست آورد. داریم

$$\alpha = \angle G(j\omega_r) = -\tan^{-1} \frac{\sqrt{1 - \xi^2}}{\xi} = -90^\circ + \sin^{-1} \frac{\xi}{\sqrt{1 - \xi^2}} \quad (8-9-5)$$

به  $M_r$ ، دامنه ستیغ تشدید<sup>۱</sup> نیز گفته می‌شود. دامنه ستیغ تشدید به مقدار نسبت میرایی  $\xi$  بستگی دارد و اندازه آن نشان دهنده پایداری نسبی سیستم می‌باشد. یک  $M_r$  بزرگ نشان دهنده حضور یک جفت قطب‌های حلقه - بسته غالب با نسبت میرایی کوچک است و در این صورت پاسخ حالت گذراي سیستم حلقه - بسته مطلوب نخواهد بود. در صورتیکه  $M_r$  مقدار کوچکتری داشته باشد، سیستم بخوبی میرا شده است.

ارتباط بین پاسخ گذراي پله و پاسخ فرکانسي سیستم‌های درجه دوم. حداقل فرا رفت پاسخ پله واحد سیستم درجه دوم نشان داده شده در شکل ۵-۵۸ را می‌توان دقیقاً به دامنه ستیغ تشدید در پاسخ فرکانسی مرتبط کرد. از این‌رو همان اطلاعاتی را که از دینامیک سیستم

در پاسخ گذرای پله واحد می‌توان کسب نمود از پاسخ فرکانسی نیز می‌توان بدست آورد و بالعکس.

برای ورودی پله واحد، خروجی سیستم نشان داده شده در شکل ۵۸-۵ عبارتست از

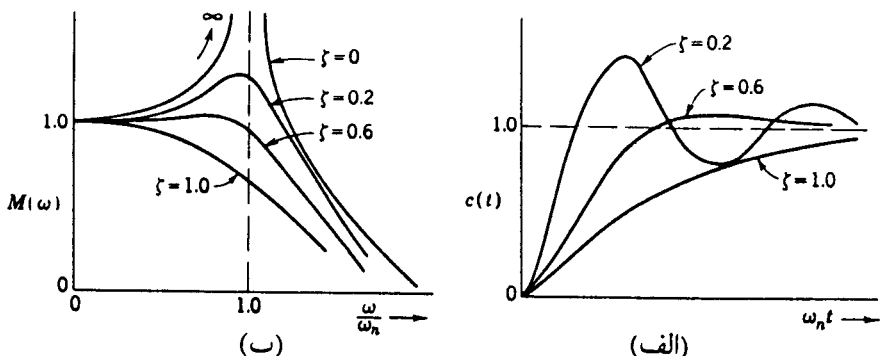
$$c(t) = 1 - e^{-\zeta \omega_n t} \left( \cos \omega_d t + \frac{\zeta}{\sqrt{1-\zeta^2}} \sin \omega_d t \right) \quad (t \geq 0) \quad (9-9-5)$$

معادله (۹-۹-۵) در بخش ۳-۴-۳ استنتاج گردید و شکل ۵۹-۵ (الف) پاسخ پله واحد سیستم درجه دوم را به ازاء مقادیر مختلف نسبت میرایی نشان می‌دهد. حداکثر فرازفت  $M_p$  برای پاسخ پله واحد با معادله (۲۷-۴-۳) داده شده است و عبارتست از

$$M_p = e^{-\zeta \pi / \sqrt{1-\zeta^2}} \quad (10-9-5)$$

حداکثر فرازفت برای مقادیر نسبت میرایی کوچکتر از  $\frac{1}{4}$  در عمل غیرقابل قبول خواهد بود. شکل ۵۹-۵ (ب) نیز دامنه تابع تبدیل فرکانسی  $|M| = |G(j\omega)|$  داده شده با معادله (۲-۹-۵) را برای مقادیر مختلف نسبت میرایی نشان می‌دهد. بنابراین برای یک سیستم درجه دوم نتایج زیر را می‌توان در مرتبط کردن پاسخهای فرکانسی و زمانی بدست آورد:

- ۱- معادله (۹-۹-۵)، نشان می‌دهد که  $M(\omega)$  تابعی از  $\omega$  و  $\zeta$  است. برای یک  $\zeta$  داده شده مقدار  $M(\omega)$  بزرگتر، مقدار  $\omega$  بزرگتر می‌دهد و پاسخ حالت گذرا سریعتر خواهد بود.
- ۲- معادله‌های (۶-۹-۵) و (۱۰-۹-۵)، نشان می‌دهند که  $M_p$  و  $M(\omega)$  توابعی  $\zeta$  هستند. با



شکل ۵۹-۵ (الف) نمودارهای زمانی برای پله واحد (ب) نمودارهای متناظر  $M$  بر حسب  $\omega/\omega_n$ .

کوچکتر شدن  $\xi$ ، مقادیر  $M_r$  و  $M_p$  بزرگتر خواهند شد. بنابراین می‌توان نتیجه گرفت که با بزرگ شدن مقدار  $M_m$ ، مقدار  $M_p$  بزرگتر خواهد شد. برای مقادیر  $\xi = 0.4$ ، تناظر بین  $M_r$  و  $M_p$  تنها کیفی است. به عبارت دیگر برای  $\omega = \xi$  در حوزه زمان داریم  $M_p = M_r = \infty$  ولی در حوزه فرکانس  $\omega = 0.4/\xi$ ، تناظر نزدیکی بین  $M_p$  و  $M_r$  وجود دارد. برای مثال در  $\omega = 0.4/\xi$  خواهیم داشت  $M_r = 1/\omega^4$  و  $M_p = 1/\omega^9$ .

تابع تبدیل حلقه - باز سیستم نشان داده شده در شکل ۵-۸ عبارتست از

$$G(s) = \frac{\omega_n}{s(s + 2\xi\omega_n)} \quad (11-9-5)$$

با جایگزینی  $s = j\omega$  در معادله (۱۱-۹-۵) و حل معادله  $|G(j\omega)| = 1$  برای  $\omega$  بسادگی می‌توان نشان داد که دامنه  $G(j\omega)$  در فرکانس زیر برابر یک خواهد بود

$$\omega = \omega_n \left[ (1 + 4\xi^2)^{1/2} - 2\xi^2 \right]^{1/2} \quad (12-9-5)$$

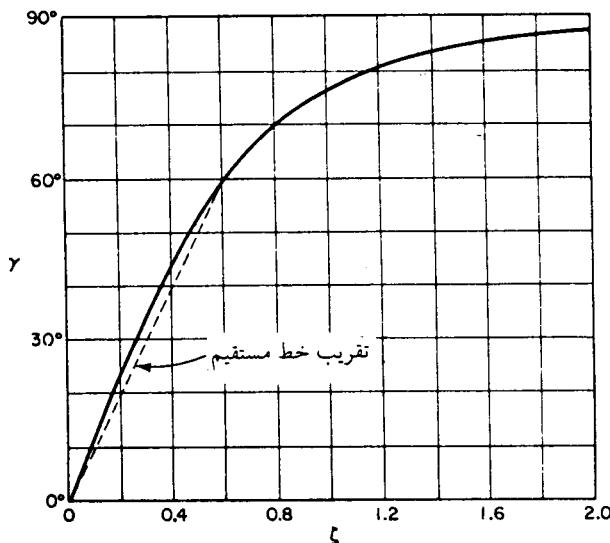
زاویه فاز تابع تبدیل در فرکانس داده شده با معادله (۱۲-۹-۵)، عبارتست از

$$\angle G(j\omega) = -\angle j\omega - \angle(j\omega + 2\xi\omega_n) = -90^\circ - \tan^{-1} \frac{\left[ (1 + 4\xi^2)^{1/2} - 2\xi^2 \right]^{1/2}}{2\xi} \quad (12-9-5)$$

بنابراین حاشیه فاز سیستم  $\gamma$  عبارتست از

$$\begin{aligned} \gamma &= 180^\circ + \angle G(j\omega) \\ &= 90^\circ - \tan^{-1} \frac{\left[ (1 + 4\xi^2)^{1/2} - 2\xi^2 \right]^{1/2}}{2\xi} \\ &= \tan^{-1} \frac{2\xi}{\left[ (1 + 4\xi^2)^{1/2} - 2\xi^2 \right]^{1/2}} \end{aligned} \quad (14-9-5)$$

معادله (۱۴-۹-۵) ارتباط بین نسبت میرایی  $\xi$  و حاشیه فاز  $\gamma$  را می‌دهد. توجه کنید که حاشیه فاز تنها تابعی از نسبت میرایی است. شکل ۵-۶ نمودار حاشیه فاز بر حسب نسبت میرایی



شکل ۶۰-۵ منحنی حاشیه فاز بر حسب نسبت میرایی برای سیستم نشان داده شده در شکل ۴۸-۵

نشان داده شده است. دقیق کنید که برای  $\xi \leq 0.6$  رابطه بین حاشیه بهره و نسبت میرایی تقریباً خطی است، در واقع داریم

$$\Phi = \gamma / 100$$

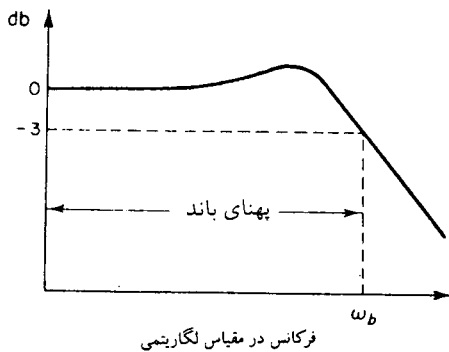
بنابراین یک حاشیه فاز  $60^\circ$  متناظر با نسبت میرایی  $6/0$  است. برای سیستم‌های درجه بالاتر که یک جفت قطب غالب وجود دارد، این ارتباط را می‌توان به عنوان یک قاعده سرانگشتی در تخمین پایداری نسبی پاسخ گذرا از پاسخ فرکانسی استفاده کرد.

فرکانس قطع و پهنهای باند. علاوه بر حاشیه‌های بهره و فاز، ستیغ تشدید  $M_p$  و فرکانس ستیغ تشدید  $\omega_p$ ، کمیتهای حوزه فرکانسی دیگری نیز وجود دارند که در سنجش عملکرد سیستم بکار گرفته می‌شوند. این مشخصه‌ها فرکانس قطع<sup>۱</sup>، پهنهای باند<sup>۲</sup> و نرخ قطع<sup>۳</sup> است. با مراجعه به شکل ۶۱-۵ فرکانس  $\omega_c$  که در آن دامنه تابع تبدیل فرکانسی حلقه - بسته

۱- Cutoff frequency

2- Bandwidth

3- Cutoff rate



شکل ۶۱-۵ نمودار لگاریتمی نشان دهنده فرکانس قطع  $\omega_b$  و پهنهای باند

کمتر از ۳dB زیر مقدار فرکانس - صفر آن است را فرکانس قطع می‌نامند. بنابراین

$$\left| \frac{C(j\omega)}{R(j\omega)} \right| < \left| \frac{C(j0)}{R(j0)} \right| - 3dB \quad \text{برای } \omega > \omega_b$$

برای سیستم‌هایی که در آنها  $|C(j\omega)/R(j\omega)| = 0dB$  ، داریم

$$\left| \frac{C(j\omega)}{R(j\omega)} \right| < -3dB \quad \text{برای } \omega > \omega_b$$

سیستم حلقه - بسته با این مشخصه مؤلفه‌های سیگنالی که فرکانس‌هایی بزرگتر از فرکانس قطع دارند را فیلتر می‌کند و مؤلفه‌هایی که فرکانس‌های پایین‌تر از فرکانس قطع دارند را انتقال می‌دهد.

گستره فرکانسی  $\omega_b \leq \omega \leq \omega_0$  که در آن اندازه تابع تبدیل حلقه - بسته از ۳dB-کمتر نمی‌شود را پهنهای باند سیستم می‌نامند. در بسیاری از سیستم‌های کنترل، سیگنال ورودی ممکن است که مقدار قابل توجهی سیگنال نویز همراه با سیگنال اصلی ورودی داشته باشد و یا حتی ممکن است که منبع تولید نویز در داخل سیستم حلقه - بسته وجود داشته باشد. سیگنال‌های نویز عموماً در باند فرکانس‌هایی بالای باند فرکانسی غالب سیگنال اصلی هستند. بنابراین برای تضعیف نویز و تولید کردن مجدد سیگنال اصلی ورودی، سیستم‌های کنترل را به گونه‌ای طراحی می‌کنند که یک پهنهای باند معین به همین منظور داشته باشند.

از طرف دیگر، می‌دانیم که برای یک  $\omega$  داده شده، زمان صعود با افزایش نسبت میرایی  $\beta$  افزایش پیدا می‌کند، و همچنین پهنهای باند با افزایش  $\beta$  کاهش پیدا می‌کند. بنابراین زمان خیز و

پهنانی باند نسبت عکس به هم دارند، به عبارت دیگر افزایش (کاهش) پهنانی باند باعث کاهش (افزایش) نسبت میرایی می‌شود. ازینتو افزایش (کاهش) پهنانی باند باعث افزایش (کاهش) سرعت پاسخ می‌شود.

آخرین نکته اینکه می‌توان نشان داد که پهنانی باند یک سیستم نشان دهنده کیفیت دنبال روندگی سیگنال‌های ورودی مرجع توسط آن است. برای آنکه سیستم ورودی‌های دلخواه را به طور دقیق دنبال کند، باید دارای پهنانی باندی بزرگ باشد. توجه کنید که طراحی سیستم با پهنانی باند بزرگ دارای دو مسئله عمده است، اول اینکه پهنانی باند بزرگ از نظر نویز در سیستم موجب بروز اشکالاتی خواهد گردید و دوم آنکه عناصری که در ساخت سیستم با پهنانی باند بزرگ بکار گرفته می‌شوند دارای عملکرد بالا هستند و لذاگران می‌باشند.

نرخ قطع، شب منفی لگاریتم دامنه در نزدیکی فرکانس قطع است. نرخ قطع توانایی یک سیستم را در تشخیص سیگنال از نویز نشان می‌دهد.

یک سیستم حلقه - بسته با مشخصه تیز قطع در منحنی تابع تبدیل پاسخ فرکانسی، ممکن است که دارای یک اندازه ستیغ تشدید بزرگ باشد که بر حاشیه پایداری نسبتاً کم دلالت خواهد کرد.

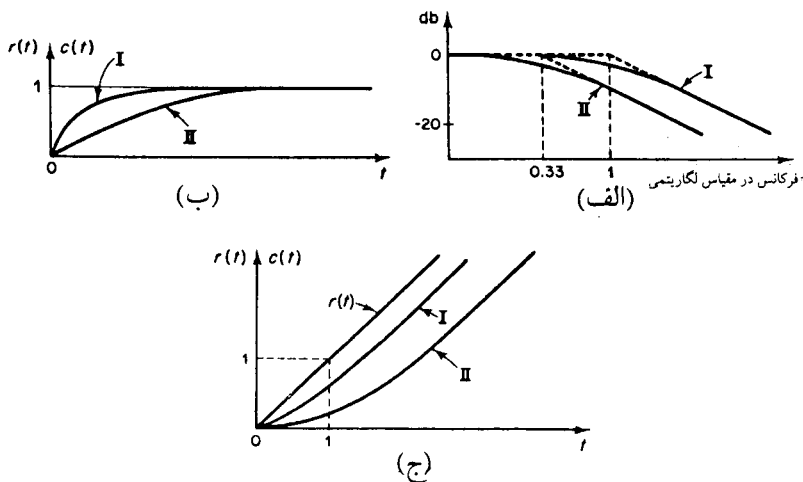
#### مثال ۲۹-۵

دو سیستم زیر را در نظر بگیرید:

$$\text{سیستم (الف): } \frac{C(s)}{R(s)} = \frac{1}{s+1}$$

$$\text{سیستم (ب): } \frac{C(s)}{R(s)} = \frac{1}{3s+1}$$

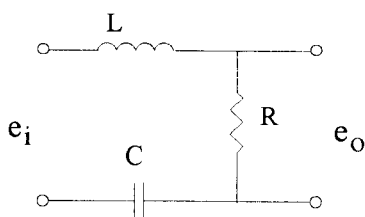
شکل ۶۲-۵ (الف) منحنی‌های پاسخ فرکانسی حلقه - بسته دو سیستم را نشان می‌دهد. همانطور که مشخص است پهنانی باند سیستم (الف)  $1 \leq \omega \leq 0$  رادیان بر ثانیه و پهنانی باند سیستم دوم  $0 \leq \omega \leq 30$  رادیان بر ثانیه است. شکل‌های ۶۲-۵ (ب) تا (ج) نشان می‌دهند که سیستم (الف) با پهنانی باند بزرگتر، هر دو ورودی پله واحد و شب واحد را به ترتیب در شکل‌های (ب) و (ج) بهتر دنبال می‌کند.



شکل ۶۲-۵ مقایسه مشخصه‌های دینامیکی دو سیستم در نظر گرفته شده در مثال ۲۹-۵، (الف) منحنی‌های پاسخ فرکانسی (ب) پاسخ پله واحد (ج) پاسخ شیب

### مسایل

- ۱-۵ مدار نشان داده شده در شکل ۶۳-۵ را در نظر بگیرید. ولتاژ ورودی به مدار و ولتاژ خروجی آنرا به ترتیب با  $e_i$  و  $e_o$  نشان دهید. اگر ولتاژ ورودی  $e_i(t) = E_i \sin \omega t$  باشد، مقدار حالت - ماندگار جریان مدار ( $i$ ) که از مقاومت عبور می‌کند را تعیین کنید.



شکل ۶۳-۵ مدار الکتریکی مسئله ۱-۵

- ۲-۵ نمودار بود توابع تبدیل زیر را رسم کنید:

$$G(s) = \frac{20(s+2)}{s(s^2 + 6s + 20)} \quad (\text{الف})$$

$$G(s) = \frac{4(1+0/\Delta s)}{s(1+s)(1+0/1s)} \quad (ب)$$

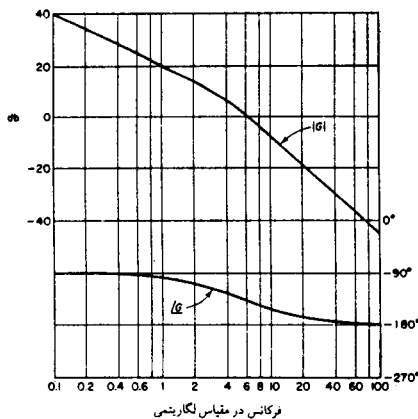
$$G(s) = \frac{2}{(1+0/2s)(1+0/4s)(1+s)} \quad (ج)$$

$$G(s) = \frac{2}{s^2(1+0/1s)(1+0/4s)} \quad (د)$$

$$G(s) = \frac{2(1+0/\Delta s)}{s(1+0/1s)(1+0/4s)} \quad (ه)$$

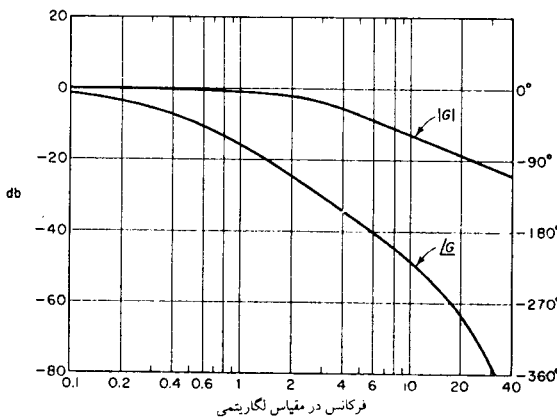
$$G(s) = \frac{2(1+0/4s)}{s^2(1+0/1s)(1+0/0.5s)} \quad (و)$$

۳-۵ شکل ۶۴-۵ دیاگرام بود یک تابع تبدیل  $G(s)$  را نشان می‌دهد. این تابع تبدیل را تعیین کنید.



شکل ۶۴-۵ دیاگرام بود مسئله ۳-۵

۴-۵ دیاگرام بود یک تابع تبدیل  $G(s)$  در شکل ۶۵-۵ رسم شده است. این تابع تبدیل را تعیین کنید.



شکل ۴-۵ دیاگرام بود مسئله ۴-۵

۵-۵ تابع تبدیل حلقه - باز یک سیستم کنترل با فیدبک واحد عبارتست از

$$G(s) = \frac{as+1}{s^2}$$

به ازاء چه مقداری از  $a$  حاشیه فاز سیستم  $45^\circ$  است.

۵-۶ توابع تبدیل زیر را در نظر بگیرید. مقادیر بهره  $K$  را چنان پیدا کنید که (الف) حاشیه فاز سیستم  $45^\circ$  باشد (ب) حاشیه فاز سیستم  $6^\circ$  باشد. از نمودارهای بود بالاترین مقدار مجاز بهره برای پایداری را تعیین کنید.

$$(الف) G(s) = \frac{K(s+0/2s)}{(1+0/1s)(2+3s+s^2)}$$

$$(ب) G(s) = \frac{K(1+0/2s)}{(1+s)(1+0/36s+0/4s^2)}$$

$$(ج) G(s) = \frac{K(s+1)}{s(s+2)(s^2+4s+5)}$$

۷-۵ تابع تبدیل حلقه - باز سیستمی با فیدبک واحد عبارتست از

$$G(s) = \frac{2K}{(s+2)(s+0/4)(s+0/2)}$$

با رسم نمودار بود برای  $K=1$ ، حاشیه‌های بهره و فاز تابع تبدیل را تعیین کنید.  
همچنین گستره‌ای از مقادیر  $K$  که برای آنها سیستم حلقه - بسته ناپایدار است را بدست آورید.

۸-۵ تابع تبدیل زیر را در نظر بگیرید

$$G(s) = \frac{3(s+1)}{s(s+\alpha)}$$

با رسم نمودار بود این تابع تبدیل، مقدار ثابت  $\alpha$  که فرکانس عبور بهره حلقه - بسته را (رادیان بر ثانیه)  $100\omega = 100$  می‌کند، پیدا کنید. حاشیه‌های بهره و فاز سیستم تابع تبدیل را تعیین کنید.

۹-۵ نمودارهای نایکوئیست توابع تبدیل داده شده در زیر را رسم کنید.

$$G(s) = \frac{K}{s^2(-1+5s)(1+s)} \quad (\text{ب}) \quad G(s) = \frac{K(1+s)}{s^3} \quad (\text{الف})$$

$$G(s) = \frac{K}{s^2(s+15)(s^2+6s+10)} \quad (\text{د}) \quad G(s) = \frac{K}{s^2(1-0.5s)} \quad (\text{ج})$$

گستره مقادیر  $K$  را برای پایداری سیستم حلقه - بسته تابع تبدیل بالا با استفاده از نمودارهای رسم شده تعیین کنید.

۱۰-۵ نمودارهای نایکوئیست تابع تبدیل زیر را

$$G(s) = \frac{K(T_a s + 1)(T_b s + 1)}{s^2(T s + 1)}$$

برای حالتهای داده شده رسم کنید:

$$T_b > T > 0, \quad T_a > T > 0$$

$$T > T_b > 0, \quad T > T_a > 0$$

۱۱-۵ تابع تبدیل حلقه - باز یک سیستم حلقه - بسته عبارتست از

$$G(s) = \frac{Ke^{-Ts}}{s}$$

حداکثر مقدار  $K$  را برای پایداری سیستم تعیین کنید.

۱۲-۵ تابع تبدیل حلقه - باز یک سیستم حلقه - بسته عبارتست از

$$G(s) = \frac{Ke^{-Ts}}{s(s+1)}$$

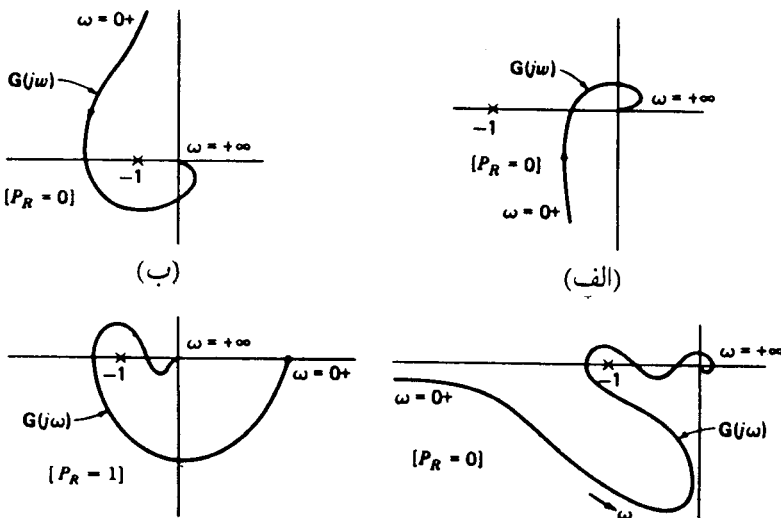
حداکثر مقدار  $K$  را برای پایداری سیستم بر حسب تابعی از زمان تأخیر  $T$  پیدا کنید.

۱۳-۵ نمودار نایکوئیست تابع تبدیل زیر را رسم کنید

$$G(s) = \frac{(Ts)^2 - 6(Ts) + 12}{(Ts)^2 + 6(Ts) + 12}$$

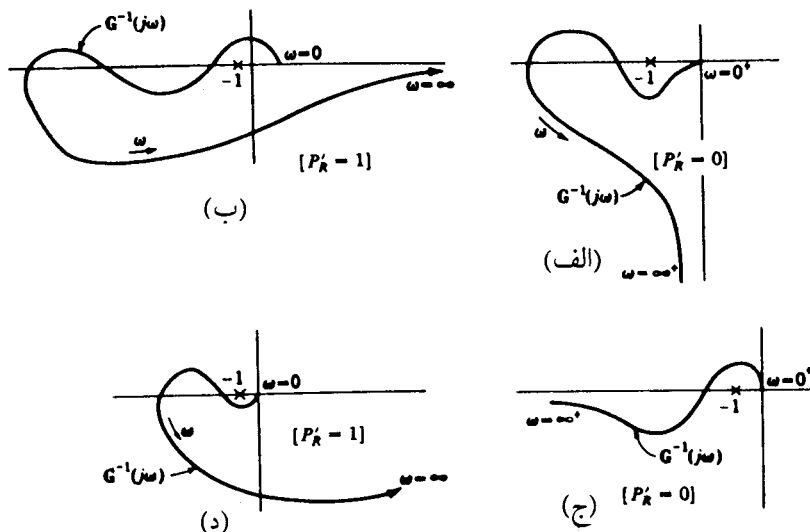
نشان دهید که برای گستره فرکانسی  $\omega T < 2\sqrt{3}$ ، این معادله تقریب مناسبی برای تابع تبدیل تأخیر  $e^{-Ts}$  است.

۱۴-۵ با کامل کردن نمودارهای نایکوئیست داده شده در شکل ۶۶-۵ پایداری هر سیستم را بررسی کنید.



شکل ۶۶-۵ نمودارهای نایکوئیست مسئله ۱۴-۵

۱۵-۵ نمودارهای نایکوئیست معکوس توابع تبدیل پایداری  $G(s)$  در شکل ۶۷-۵ رسم شده‌اند. پایداری حلقه - بسته سیستم‌های کنترل متناظر با این توابع تبدیل را تعیین کنید.



شکل ۶۷-۵ نمودارهای نایکوئیست معکوس مسئله ۱۵-۵

۱۶-۵ تابع تبدیل حلقه - باز یک سیستم کنترل حلقه - بسته عبارتست از

$$G(s) = \frac{K}{s(s^2 + s + 0.05)}$$

مقدار بهره K را چنان تعیین کنید که اندازه ستیغ تشدید در پاسخ فرکانسی برابر ۲dB باشد.

۱۷-۵ سیستم درجه دوم زیر را در نظر بگیرید

$$\frac{C(s)}{R(s)} = \frac{\omega_n^2}{s^2 + 2\xi\omega_n s + \omega_n^2}$$

نشان دهید که پهنهای باند سیستم به صورت زیر بدست می آید

$$\omega_b = \omega_n \left( 1 - 2\xi^2 + \sqrt{4\xi^4 - 4\xi^2 + 2} \right)$$

توجه کنید که  $\omega_b/\omega_n$  تنها تابعی از  $\xi$  است. نمودار  $\omega_b/\omega_n$  را بر حسب  $\xi$  رسم کنید.

## مراجع فصل پنجم

- [5-1] Nyquist H., *Regeneration theory*, Bell System. Tech. J., Vol. 11, pp. 126-147, Jan. 1932.
- [5-2] Bode H. W., *Relations between attenuation and phase in feedback amplifier design*, Bell System Tech. J., pp. 421-454, 1940.
- [5-3] Brockett R. W. and J.L.Willems, *Frequency domain stability criteria-Part I*, IEEE Trans. Automatic Control, Vol. AC-10, pp 255-261, July 1965.
- [5-4] Brockett R. W. and J.L.Willems, *Frequency domain stability criteria-Part II*, IEEE Trans. Automatic control, Vol. Ac-10, pp 407-413, oct. 1965.
- [5-5] Natesan T. R., *A supplement to the note on the generalized Nyquist criterion*, IEEE Trans. Automatic control, Vol. AC-12, pp. 215-216, April 1985.
- [5-6] Yeung K. S., *A reformulation of Nyquist's criterion*, IEEE Trans. Educ., Vol. E-28, pp 58-60, Feb. 1985.
- [5-7] Hind H. C., *Closed-loop transient response from the open-loop frequency response*, Trans. Measurement and control, pp 302-8, 1979.
- [5-8] MacFarlane A. G. J. , *Frequency response method in control systems*, IEEE press, 1979.
- [5-9] Westcott J. H., *The Frequency response method: Its relationship to transient behaviour in control system design*, Trans. of soc. of Instr. Tech., Vol 4, No. 3, pp 113-124, 1952
- [5-10] Sanathanan C. K. and H. Tsukui, *Synthesis of transfer function from frequency response data*, International J. systems scinece, Vol, 5, no. 1, pp 4-54, January 1974.

- [5-11] MacColl L. A., *Fundamental theory of servomechanisms*, Van Nostrand, Princeton, N.J., 1945
- [5-12] Brown G. S. and D.P.Campbell, *Principles of servomechanisms*, Wiley, New York, 1948
- [5-13] Stockdale L. A., *Servomechanism*, Pitama, 1962.

## کتاب شناسی

در ابتدای این فصل از روشی تحلیلی برای بدست آوردن پاسخ فرکانسی یک سیستم خطی استفاده کردیم، پاسخ فرکانسی سیستم‌های خطی از نمودارهای قطب - صفر در [2] آمده است. رسم دیاگرام‌های بود همراه با مثالهای بسیار متنوع تقریباً در تمامی کتابهای مربوط به کنترل کلاسیک آورده شده است. مراجع [2]، [3] و [25] به عنوان نمونه رسم نمودارهای بود با رسم مجانبهای مناسب را به خوبی توضیح داده‌اند. محاسبه ثابت‌های مختلف خطأ و ارتباط نوع سیستم با منحنی لگاریتم دامنه مفصل‌اً در [1] و [2] توضیح داده شده است، اندازه‌گیریهای پاسخ فرکانسی نیز در [4] مختصرًا توضیح داده شده‌اند. دو مرجع کلاسیک در تحلیل پاسخ فرکانسی با نمودارهای لگاریتم دامنه و فاز [5-1] و [5-2] هستند. یکی از کاربردهای نمودارهای بود در شناسایی تابع تبدیل سیستم‌های نامعلوم خطی است. روش شناسایی پاسخ فرکانسی در [1] و [2] به خوبی توضیح داده شده است، برای این منظور به مرجع [5-10] نیز مراجعه نمایید.

دومین دسته از نمودارهای مهم پاسخ فرکانسی، نمودارهای نایکوئیست هستند. رسم نمودارهای نایکوئیست در مراجع [1] و [2] به طور کامل آمده است. کاربرد نمودارهای پاسخ فرکانسی برای تحلیل پایداری سیستم به طور اختصاصی در [5-3]، [5-4] و [5-5] آمده است. بسیاری از کتب درسی نیز به تحلیل پایداری سیستم با استفاده از نمودارهای بود و معیار پایداری نایکوئیست پرداخته‌اند. کاربرد نمودار بود برای تحلیل پایداری یک سیستم به خوبی در [3] بیان گردیده است. مرجع [15] بیان نسبتاً متفاوتی برای تعریف حاشیه‌های بهره و فاز دارد. برای بررسی معیار پایداری نایکوئیست و اثبات آن (که در این کتاب آورده نشده است) اطلاعات مقدماتی از نگاشتهای همدیس الزامی است. مراجع [1]، [2] و [5] فضای نگاشت، نگاشتهای همدیس و اثبات ریاضی معیار پایداری نایکوئیست را به طور نسبتاً ساده‌ای بیان کرده‌اند. سیستم‌های چند حلقه‌ای نیز در [1] و [3] بررسی شده‌اند. کاربرد معیار پایداری نایکوئیست برای سیستم‌های غیر علی<sup>۱</sup> و تأخیردار نیز در [3] بحث

شده است. چندین مثال بسیار جالب نیز در همان مرجع آورده شده است. مرجع [4] نیز در دو فصل جداگانه، پایداری سیستم‌های خطی و روش‌های مختلف بررسی آن را مفصل‌آ بحث نموده است. رسم نمودارهای نایکوئیست معکوس و تحلیل پایداری توسط آنها نیز در مراجع [1] تا [11] آورده شده است.

ارتباط بین رفتار حالت - گذرای سیستم حلقه - بسته و پاسخ فرکانسی حلقه - باز آن در مقاله [5-7] و کتاب [5-8] و مقاله [5-9] مفصل‌آ بحث شده است. در مراجع [1] ، [3] ، [4] ، [5] و [25] نیز این ارتباطات را به طور ساده‌ای بیان گردیده‌اند. اثرات اضافه کردن قطب و صفر به تابع تبدیل بر پارامترهای پاسخ فرکانسی نیز در [3] آورده شده است.